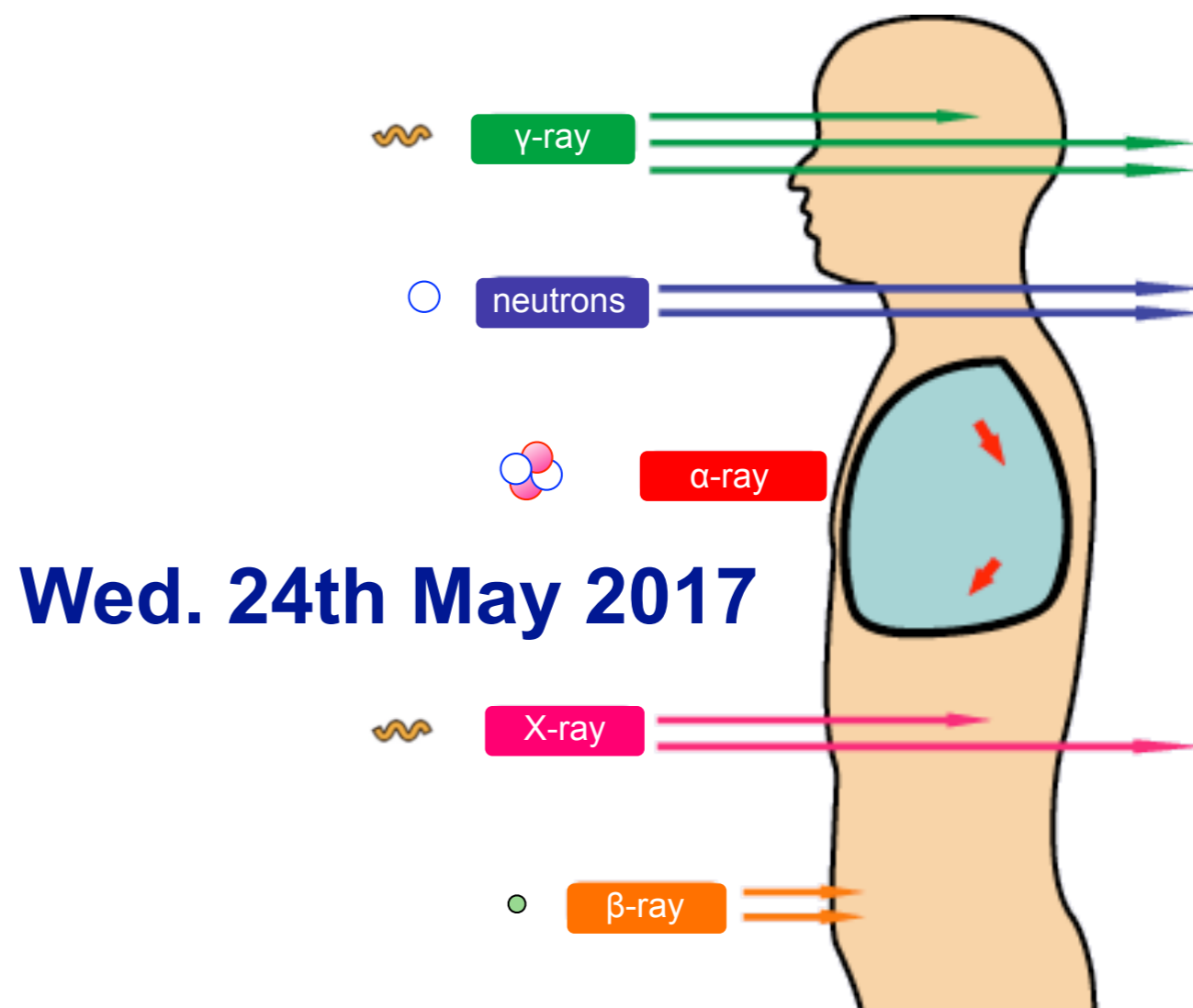


Lecture for 3rd-year students, Chemistry dept.



Wed. 24th May 2017

鳥居 寛之 (Hiroyuki A. **TORII**)

Associate Professor

Radioisotope Laboratory, Dept. of Chemistry
School of Science, Univ. of Tokyo



放射線

鳥居 寛之
小豆川勝見
渡辺雄一郎
著
中川 恵一
執筆協力

科学的に
理解する

基礎からわかる東大教養の講義

丸善出版

「放射線を科学的に理解する

— 基礎からわかる東大教養の講義 —

鳥居寛之・小豆川勝見・渡辺雄一郎 著

中川恵一 執筆協力

丸善出版

本体 2500円＋税

- 1章 放射線とは？《放射線入門》
 - 2章 放射線の性質《放射線物理学 I》
 - 3章 原子力発電で生み出される放射性物質
《原子核物理学・原子力工学》
 - 4章 放射線量の評価《放射線物理学 II》
 - 5章 放射線の測り方《放射線計測学》
 - 6章 環境中での放射性物質《環境放射化学》
 - 7章 放射線の細胞への影響《放射線生物学》
 - 8章 放射線の人体への影響《放射線医学》
 - 9章 放射性物質と農業《植物栄養学・土壤肥料学》
 - 10章 放射線の防護と安全《放射線防護学》
 - 11章 役に立つ放射線《放射線の利用・加速器科学》
- Q&A

放射線を理解するには、物理学・化学・生物学・医学・工学など多くの分野の知識が必要です。しかしこれらすべてを網羅することは難しく、系統立てて学べる機会は非常に少ないのが実情です。

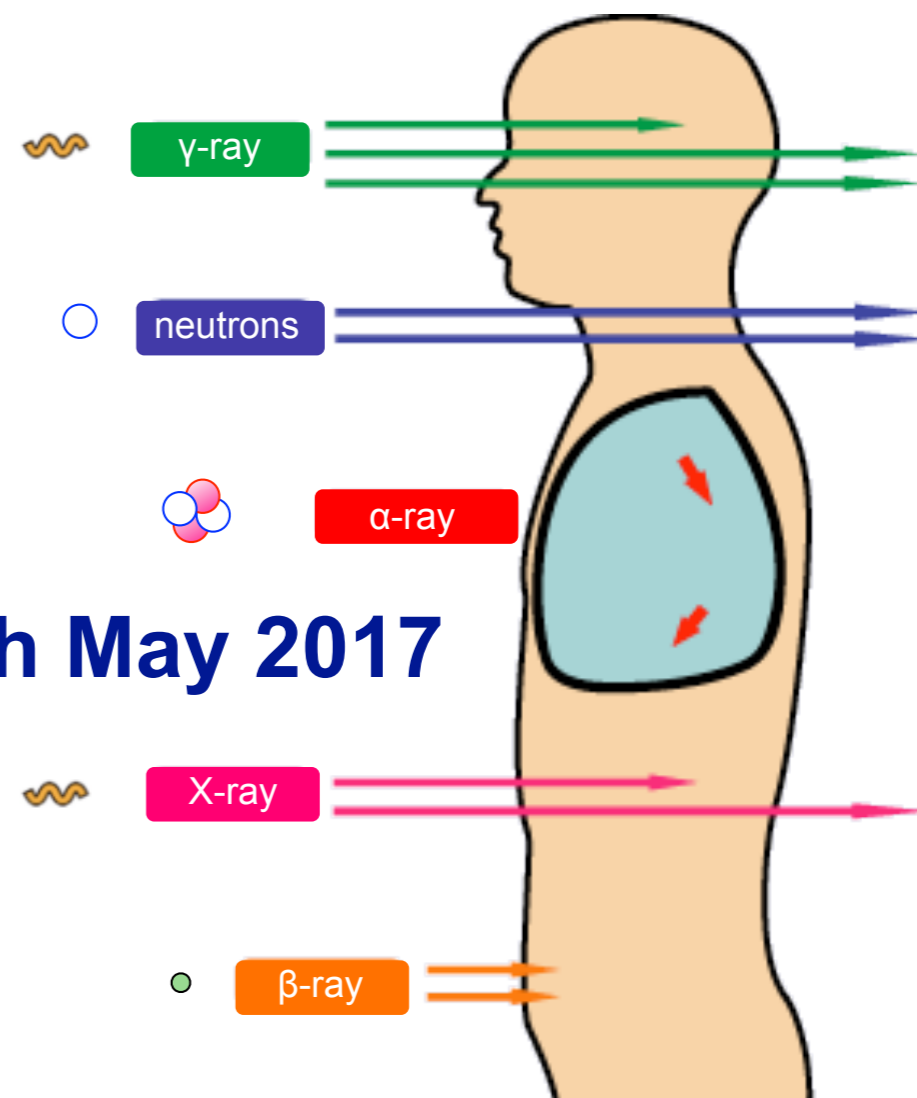
本書は東京大学教養学部で行われた講義をもとに、放射線について多角的に学べるよう配慮しています。日常生活や原発事故にかかわる具体的な例を引きながらやさしくていねいに解説しましたので高校生や一般の方にも広く読んでいただきたいと願っています。

<http://radphys4.c.u-tokyo.ac.jp/~torii/lecture/radiolect-kn.html>

Lecture for 3rd-year students, Chemistry dept.



Wed. 24th May 2017



5th
lecture

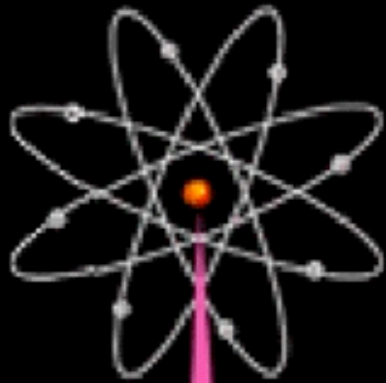
Interaction between radiation & matter (I)

鳥居 寛之 (Hiroyuki A. **TORII**)

RI Lab., Dept. of Chemistry, School of Science, Univ. of Tokyo



分子
molecule



原子
atom



原子核
nucleus



陽子
proton



クォーク
quark

nm (10^{-9} m)

nanometer

Chemistry

eV

electronvolt

atom < atomus < ατομος < a- + témnein + -os
(cannot be cut)

Atomic Physics

Å (10^{-10} m)

Ångström

eV – keV

several electronvolts –
kiloelectronvolt

Why did alchemy fail?

Nuclear Physics

fm (10^{-15} m)

femtometer

MeV

megaelectronvolt

Particle Physics

am (10^{-18} m)

attometer

GeV

gigaelectronvolt



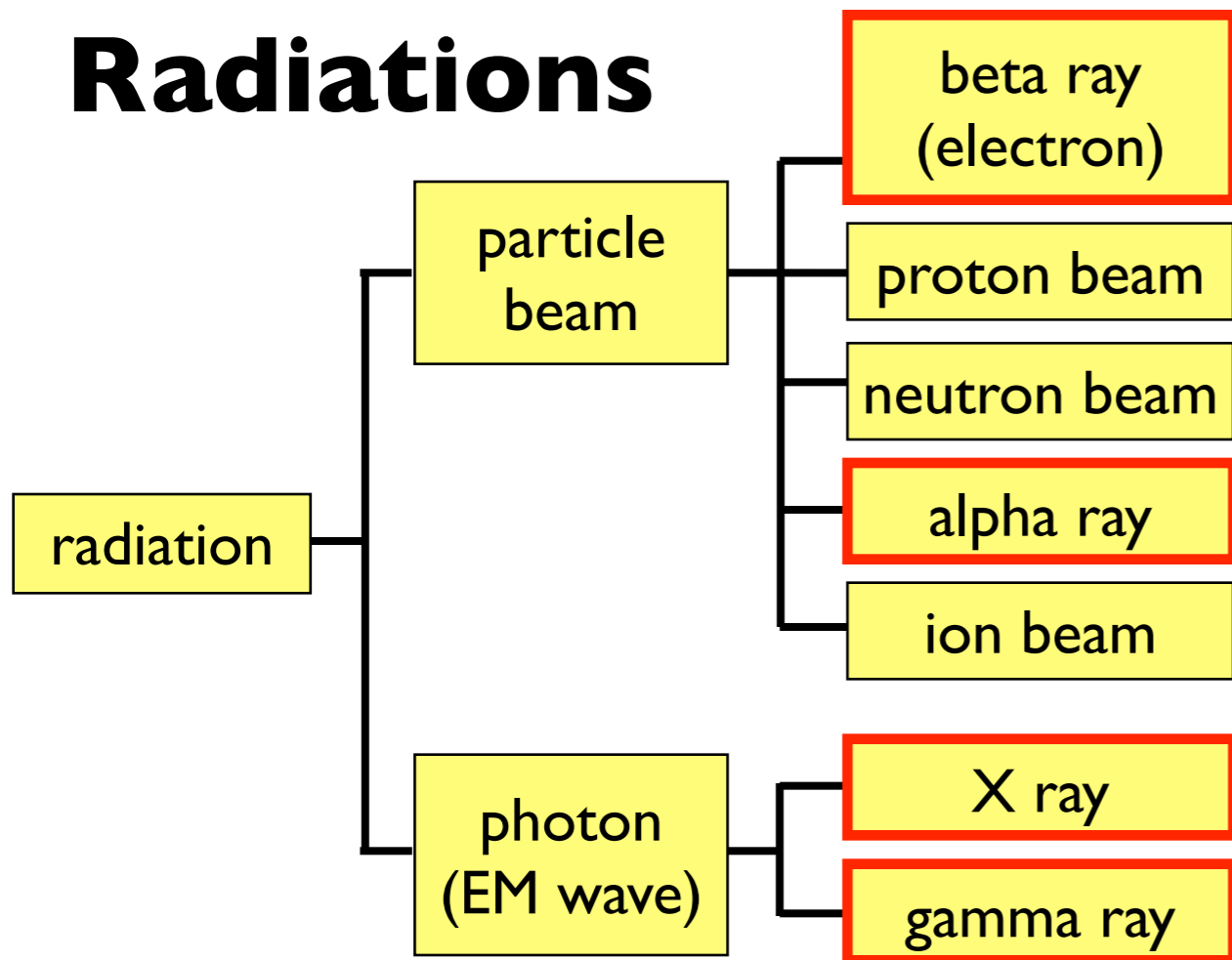
Billet de 500 Francs Français en circulation: 1993–1999



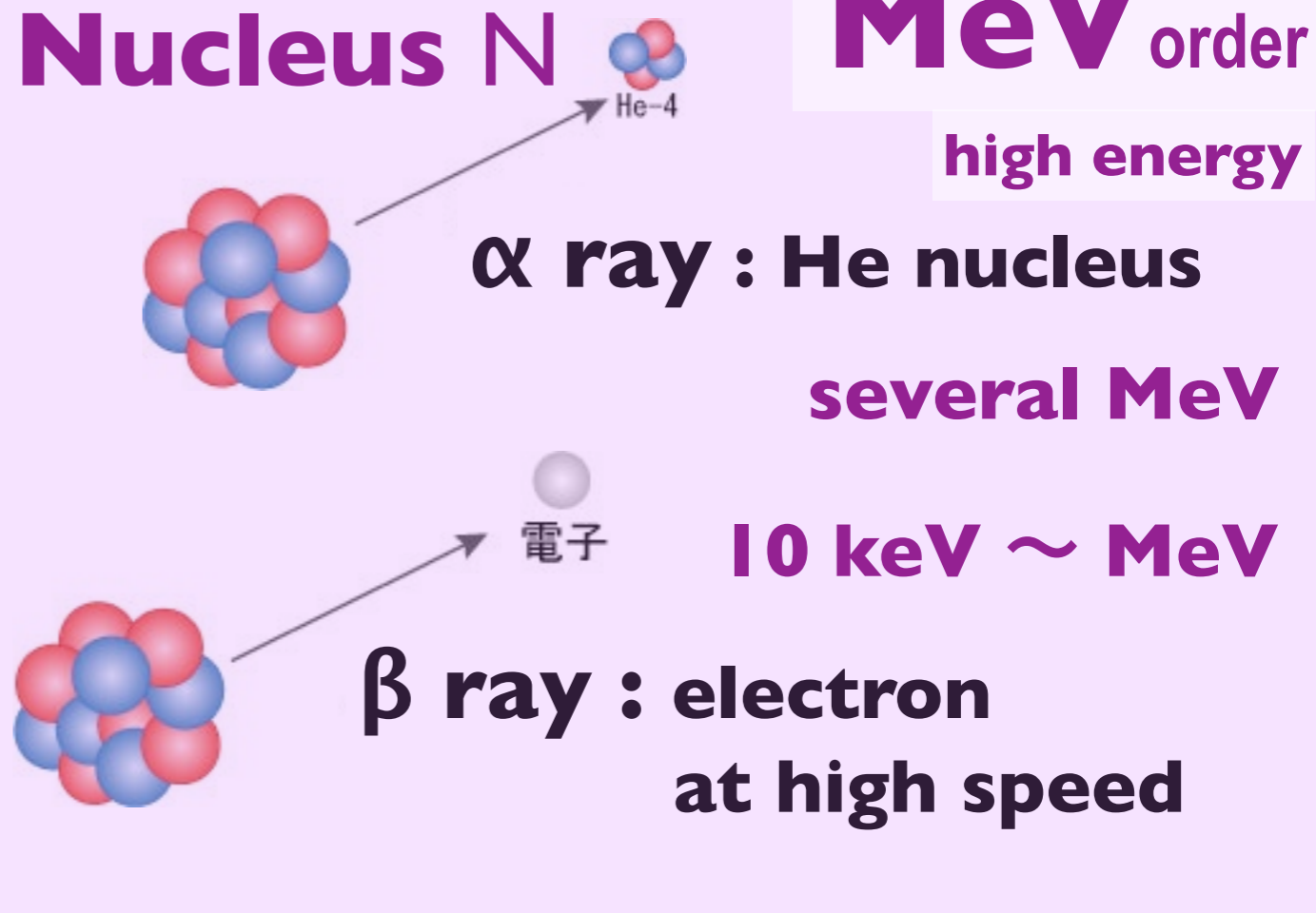
- α-ray** helium nucleus
- β-ray** electron
- γ-ray** photon (EM wave)
- X-ray** photon (EM wave)

Le Secrétaire G^{ral}
 Le Contrôleur G^{ral}
 Le Caissier G^{ral}

Radiations



Nucleus N



Typical energies of radiation

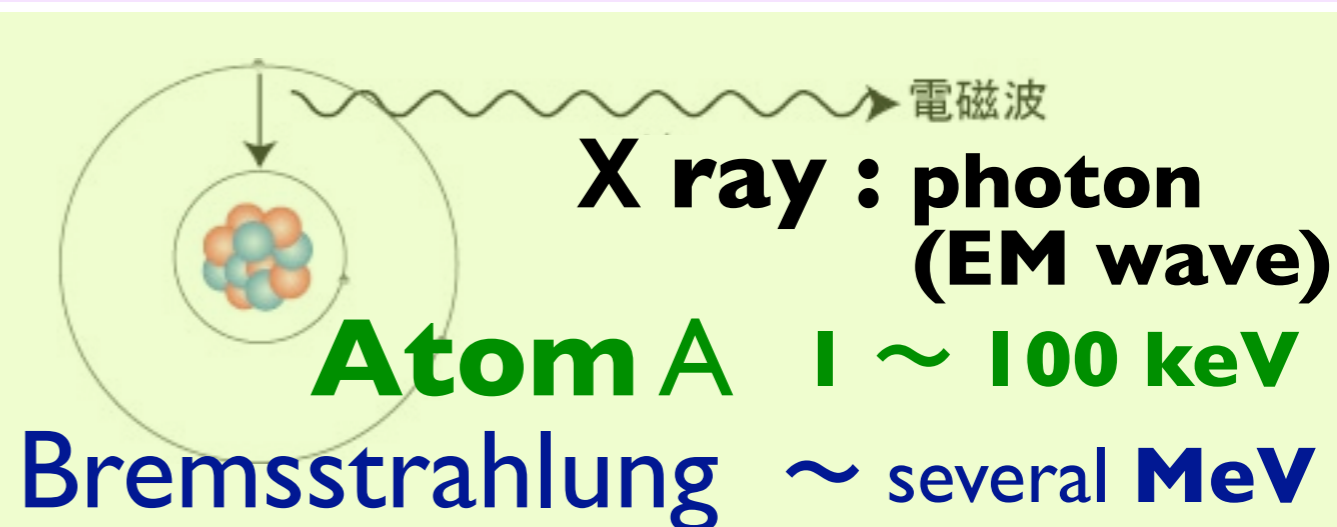
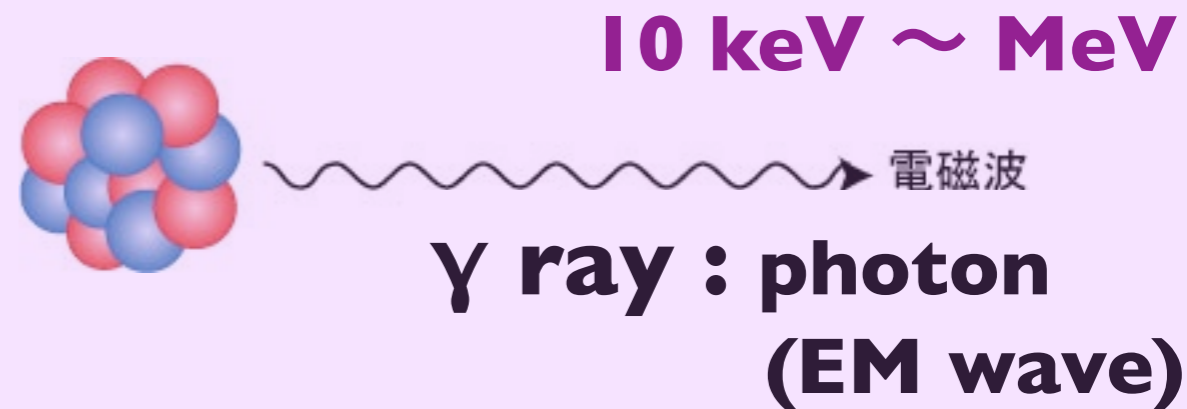
☞ 10 keV ~ several MeV
(α, β, γ)

Cf. Atomic binding energies

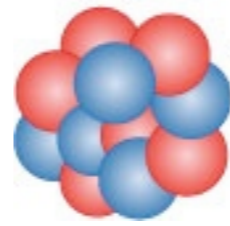
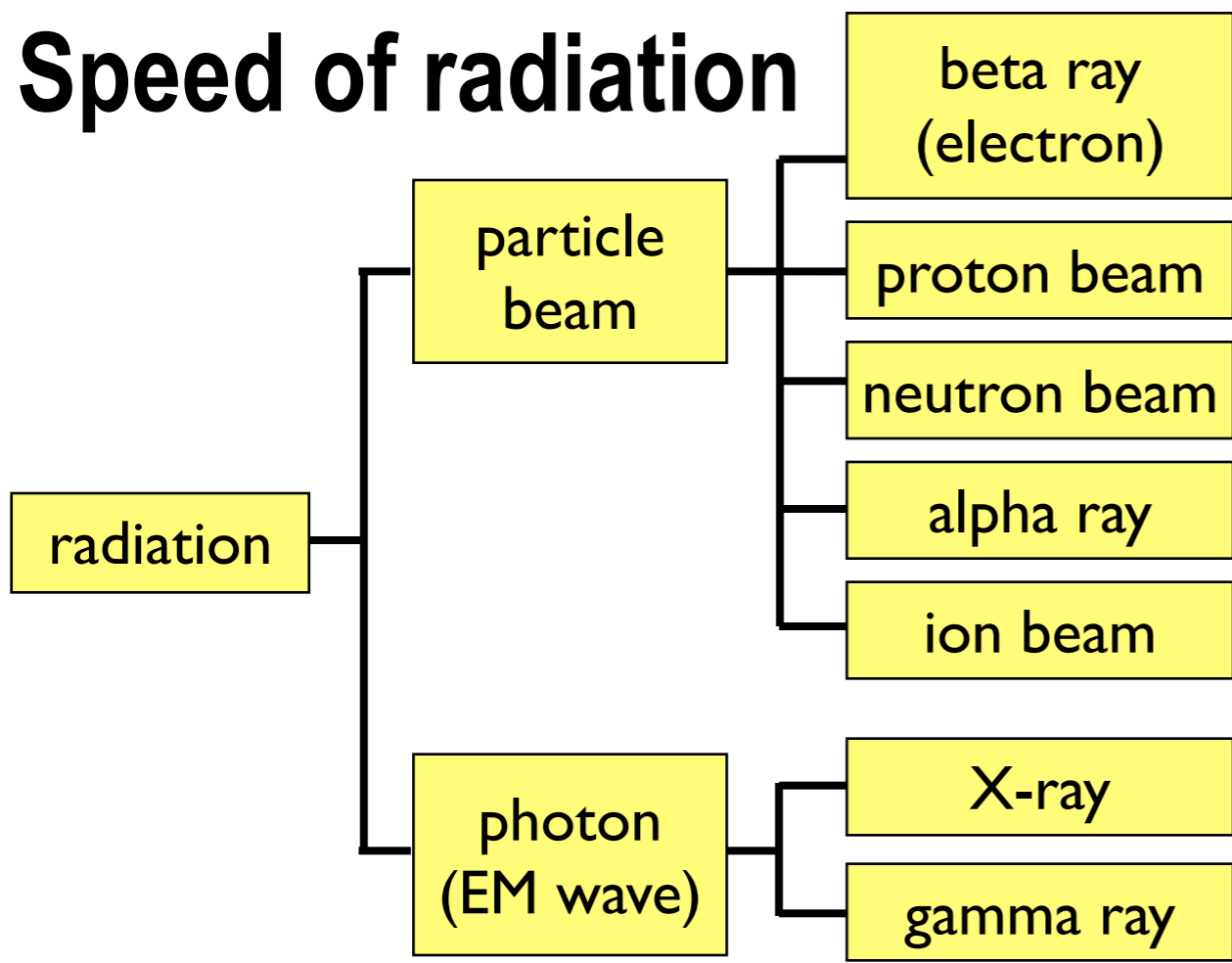
☞ around 10 eV for
outermost-shell electrons
(1 eV = 96 kJ/mol)

Speed of radiation

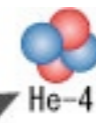
☞ few ~ 100% of light speed



Speed of radiation



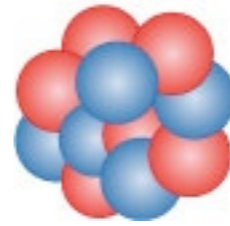
α



$$M_\alpha \approx 4 \text{ GeV}/c^2$$
~~$$1.67 \times 10^{-27} \text{ kg} \times 4$$~~

$$M_p = 938 \text{ MeV}/c^2$$

$$M_n = 940 \text{ MeV}/c^2$$



β



~~$$9.11 \times 10^{-31} \text{ kg}$$~~

$$m_e = 511 \text{ keV}/c^2$$

$$\approx 0.5 \text{ MeV}/c^2$$

Mass of charged particles ?

in the unit of **MeV/c²**

Speed of charged particles ?

relative to the **speed of light**

$$E = mc^2 \gamma = mc^2 \frac{1}{\sqrt{1-\beta^2}}$$

$$T = E - mc^2 \quad \beta = v/c$$

$$(v \ll c) \quad \frac{1}{2} mv^2 = \frac{1}{2} mc^2 \beta^2$$

Calculate the speed of a 5-MeV α ray.

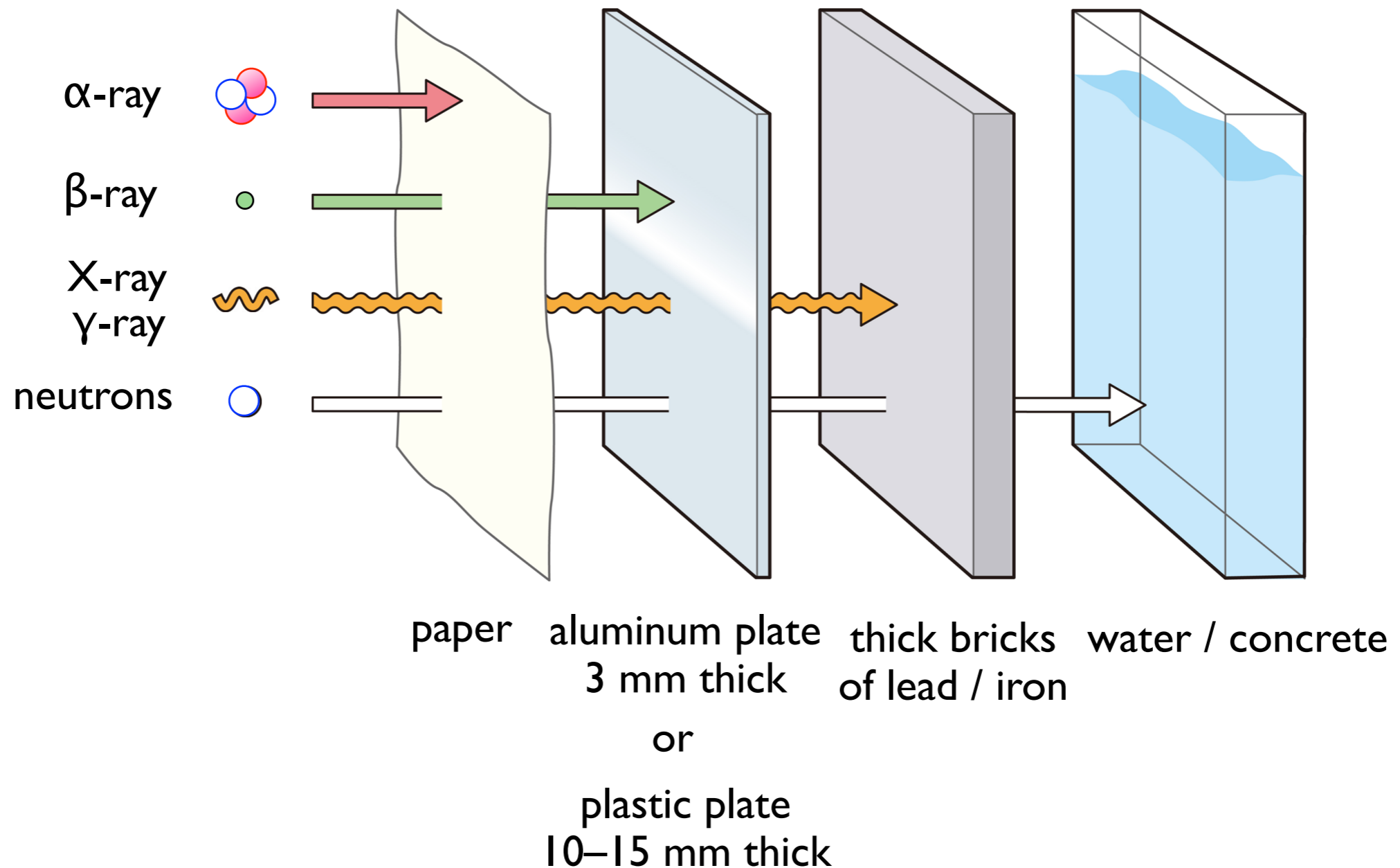
Calculate the speed of a 1-MeV β ray.

Interaction between radiation and matter

Slowing-down of charged particles

放射線と物質との相互作用
荷電粒子の減速

Penetration of radiation



Slowing-down and **energy loss** of charged particles (α -ray, β -ray etc.)

荷電粒子の減速
(エネルギー損失)

Step-by-step energy loss due to ionization and excitation of atoms / molecules.

Fixed range of the same heavy particles for a given energy.

(with a slight deviation)

Stopping power = energy loss per unit length = $-\left\langle \frac{dE}{dx} \right\rangle$

Attenuation of photons (X-ray, γ -ray)

光子の減衰 (減弱)

Photons are lost by stochastic processes of absorption or scattering, but the rest remain intact through.



Exponential decrease of photon number

reaction cross section σ is proportional to the reaction probability per unit length.

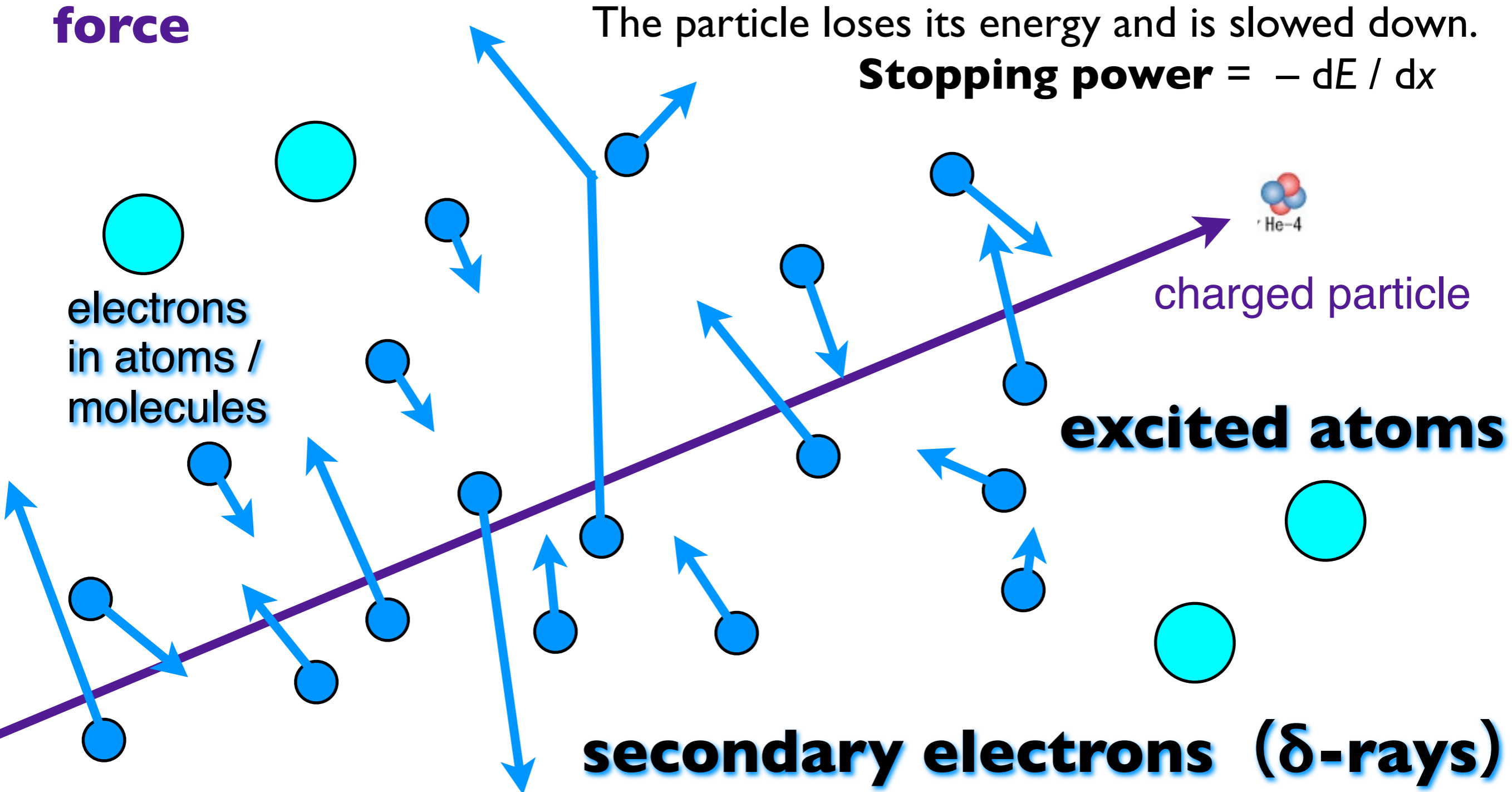
Energy loss of charged particles

electric charge:
Coulomb force

Kinetic energy of the particle is transferred to electrons through **ionization** or **excitation** of atoms and molecules in the matter.

The particle loses its energy and is slowed down.

$$\text{Stopping power} = -dE / dx$$



electrons
in atoms /
molecules

charged particle

excited atoms

secondary electrons (δ -rays)

Along the track after passage of charged particles

Ions and **excited atoms** are produced, while energetic **secondary electrons** can ionize other atoms. **Molecules** are **dissociated** to form free **radicals**. **X-rays** are emitted after atomic **recombination** or **deexcitation**.

excited atoms

X-ray
recombination

deexcitation

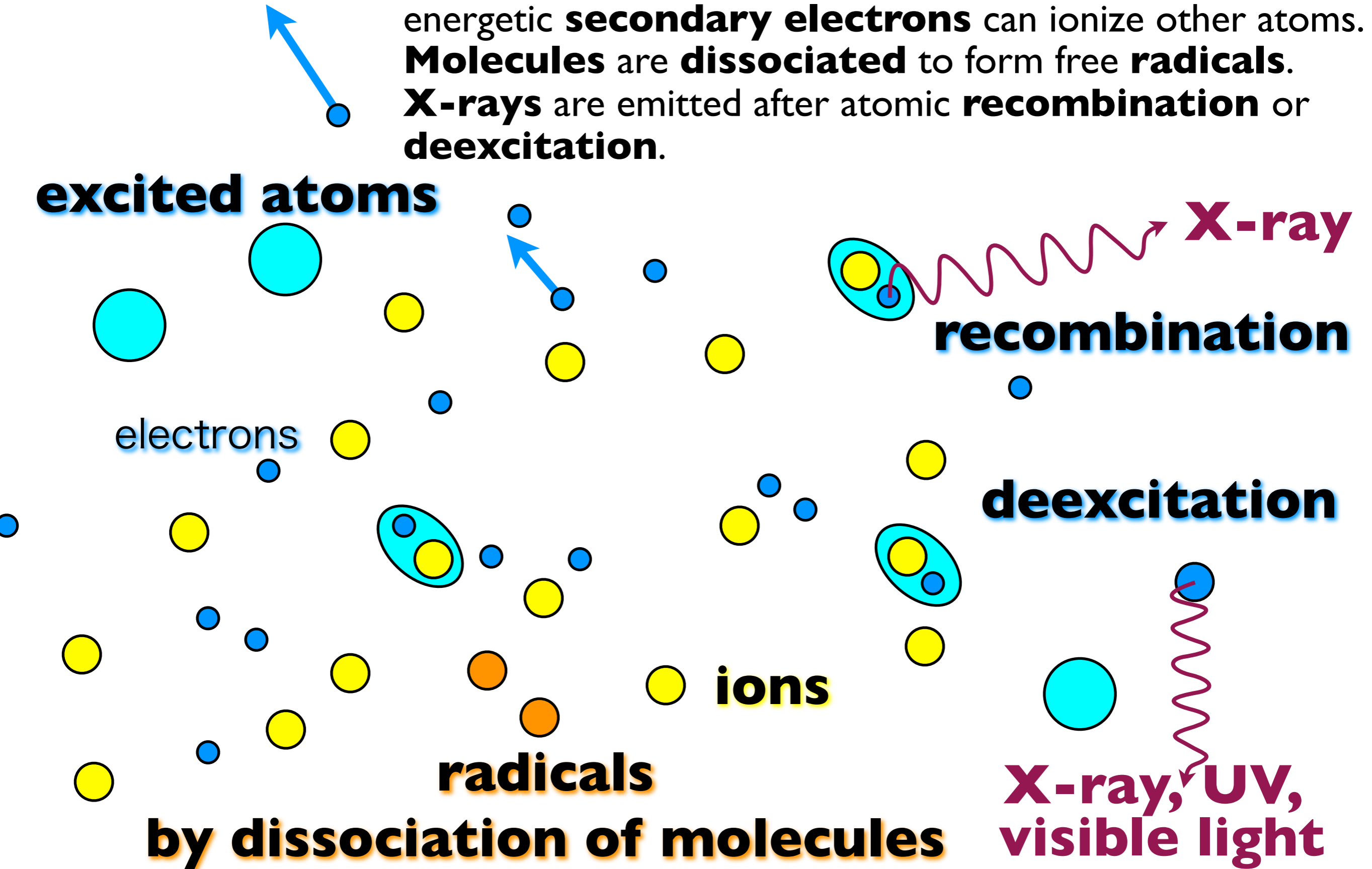
**X-ray, UV,
visible light**

electrons

ions

radicals

by dissociation of molecules



Along the track after passage of charged particles

Ions and **excited atoms** are produced, while energetic **secondary electrons** can ionize other atoms. **X-rays** are emitted after atomic **recombination** or **deexcitation**.

Atomic ionization & excitation

Deexcitation of excited atoms

X ray, UV & visible lights

Recombination of ions & electrons

Breakage of chemical bonds

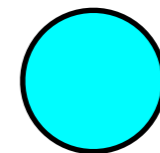
Recombination of chemical bonds

Generation of free radicals & activated molecules

Damages to DNAs

Scintillation light

fluorescence of atoms & molecules excited by radiation



Stopping power (Energy loss, Linear Energy Transfer : LET)

阻止能 (エネルギー損失、線エネルギー付与)

$$-\left\langle \frac{dE}{dx} \right\rangle$$

Charged particle : Coulomb force

Kinetic energy of the particle is transferred to a number of electrons (**secondary electrons**) scattered via **ionization** or **excitation** of atoms and molecules in the matter.

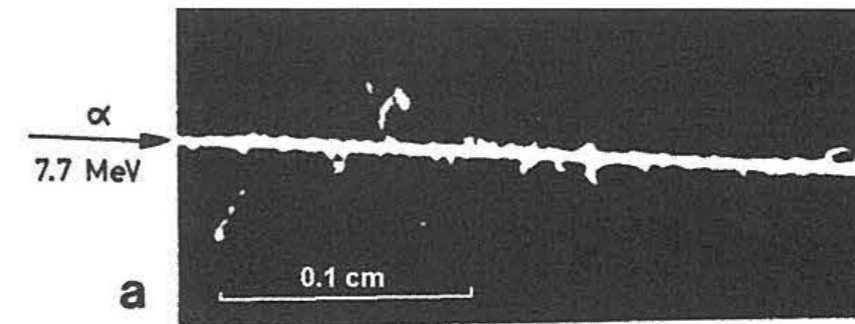
The particle loses its energy and is slowed down (**electron collision stopping power**).

- **heavy particles** : proton beams, α -rays, heavy ions, pions, muons
Small energy transfer to each single electron.
Slowed down via **scattering of many electrons**.
Small momentum transfer results in almost **linear trajectory**.
- **light particles** : **electrons (e^-)**, positrons (e^+)
Large energy transfer per single collision.
Sometimes **zig-zag trajectories**.
Can generate secondary electrons with large kinetic energy (δ -rays).

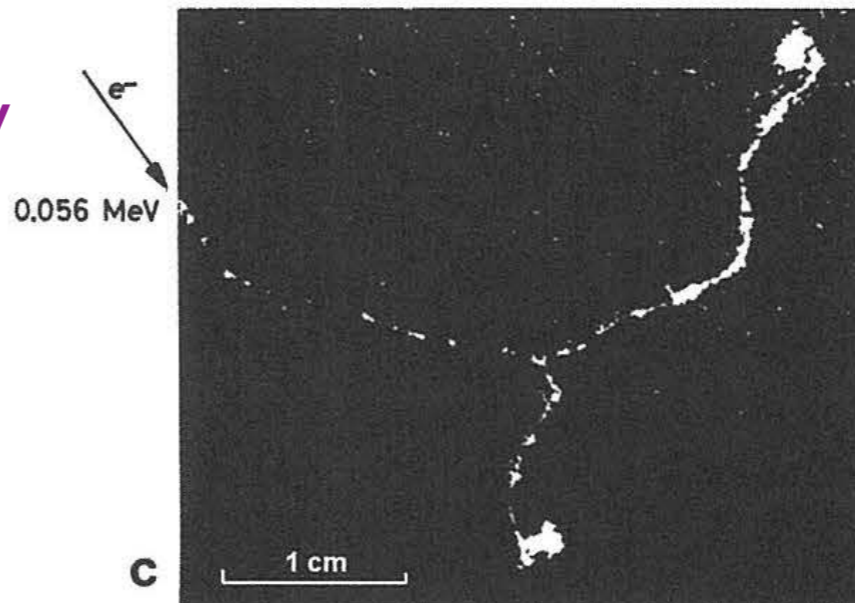
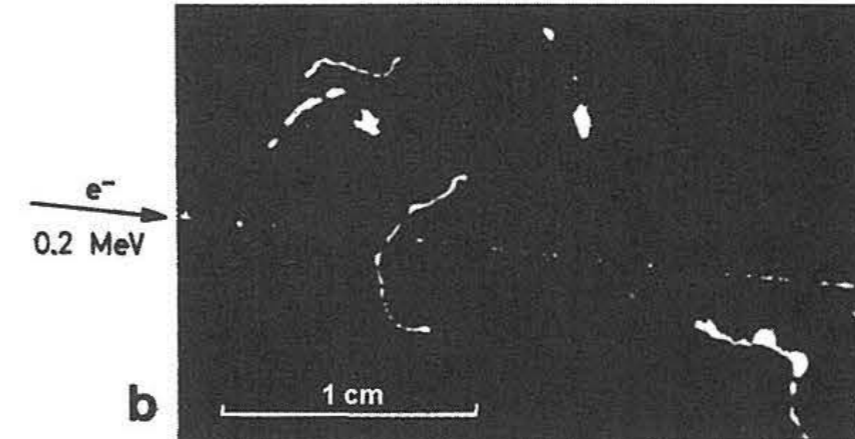
Tracks of Radiation

observed by cloud chambers

α -ray
7.7 MeV



0.2 MeV
 β^- -ray
0.056 MeV



γ -ray
0.047 MeV

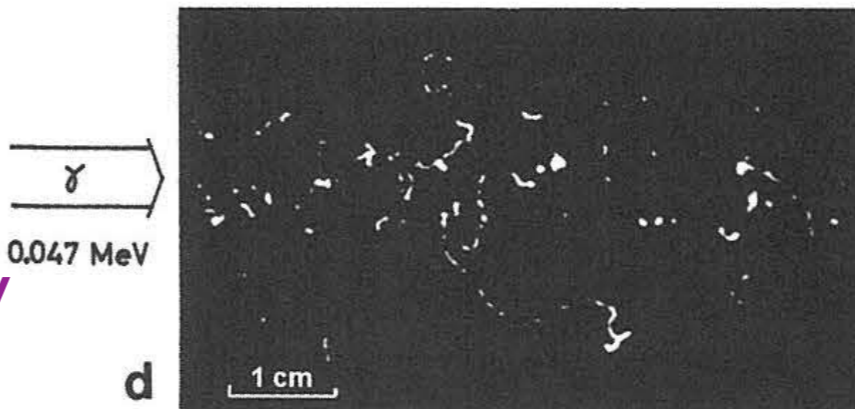


Figure 7.5 Cloud chamber tracks of α , β , (e^-), and γ -rays at 1 bar in air ((a), (b), and (c)) and in methane (d). (From W. Gentner, H. Maier-Leibnitz, and H. Bothe.)

Charged particle : Coulomb force

Kinetic energy of the particle is transferred to a number of electrons (**secondary electrons**) scattered via **ionization** or **excitation** of atoms and molecules in the matter.

The particle loses its energy and is slowed down (**electron collision stopping power**).

$$-\left\langle \frac{dE}{dx} \right\rangle$$

Stopping power

energy loss

Energies transferred to nuclei are relatively small, because they are heavy. (Nuclear collision stopping power is usually negligible.)

Among secondary particles (mostly **secondary electrons**), those with rather high energy and capable of ionizing atoms and molecules are sometimes called **δ -rays**.

Number of ionizations (electron-ion pairs) per unit length = **Specific ionization**

Stopping power / Specific ionization = W-value

W-value : Average energy required to produce 1 ion pair.

Does not depend on species or energy of charged particles.

Value larger than the ionization energy (due to loss by excitation).

W ~ 30 eV not depending on the material.

阻止能

Stopping power for charged particles

$$-\left\langle \frac{dE}{dx} \right\rangle$$

energy loss

Linear Energy Transfer : LET

(エネルギー損失、線エネルギー付与)

Bohr's calculation

Equation modified along with the SI units

$$-\left\langle \frac{dE}{dx} \right\rangle = \frac{z^2 e^4}{4\pi \epsilon_0^2 m_e v^2} n_e \ln \frac{b_{\max}}{b_{\min}}$$

on blackboard

$$n_e = Z n_a = \rho N_A Z / A$$

Bethe-Bloch equation

$$-\left\langle \frac{dE}{dx} \right\rangle = K z^2 \frac{Z}{A} \frac{1}{\beta^2} \left[\frac{1}{2} \ln \frac{2m_e c^2 \beta^2 \gamma^2 T_{\max}}{I^2} - \beta^2 - \frac{\delta(\beta\gamma)}{2} \right]$$

$$K = 4\pi N_A r_e^2 m_e c^2 \rho$$

$Z/A \approx 1/2$ except for hydrogen.

Does not depend very much on the material.

mass stopping power

MeV / (g / cm²)

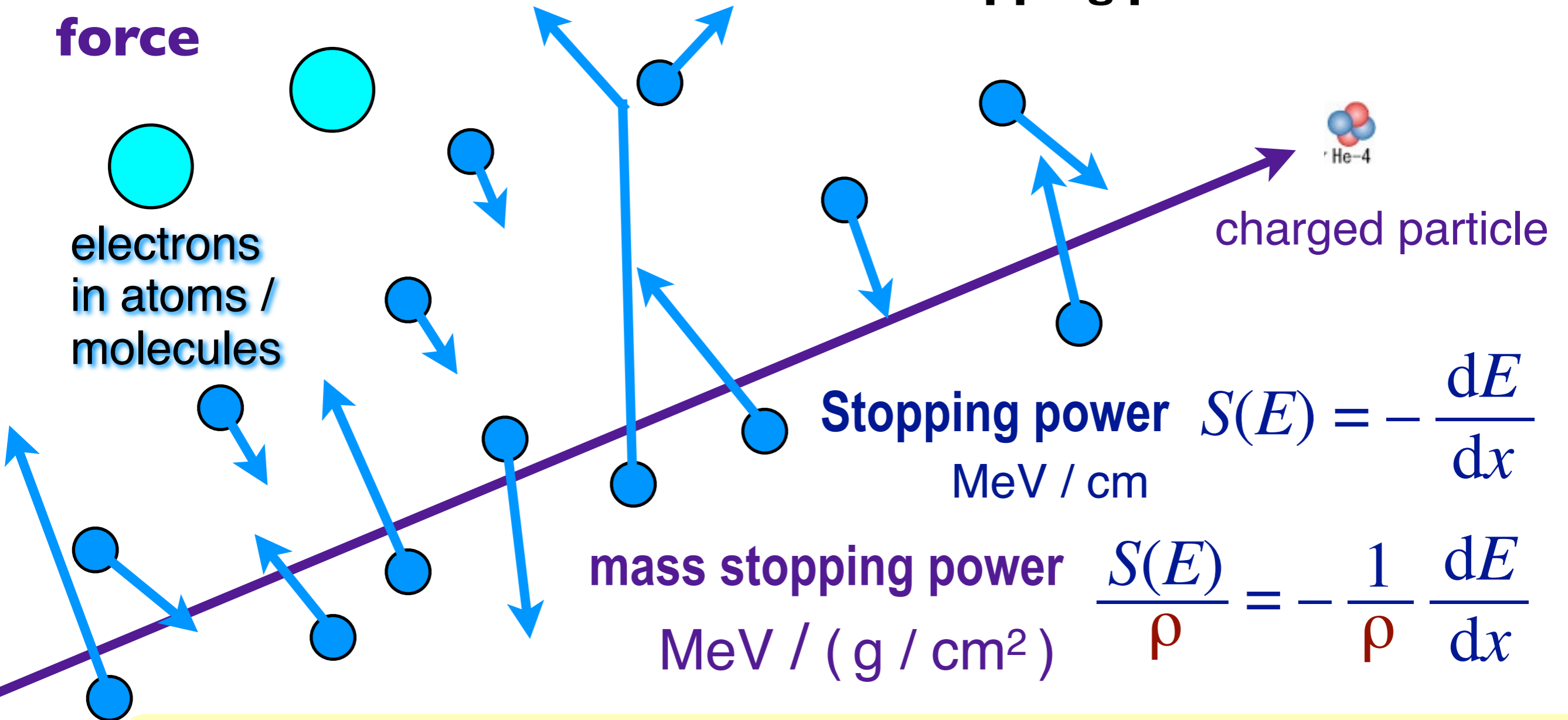
$$-\frac{1}{\rho} \left\langle \frac{dE}{dx} \right\rangle \propto \frac{z^2}{v^2} = \frac{z^2 M/2}{Mv^2/2} \propto \frac{z^2 M}{T}$$

Stopping power of materials for charged particles

Kinetic energy of the particle is transferred to **electrons**.
The ionizing particle loses its energy and is slowed down.

$$\text{Stopping power} = -dE / dx$$

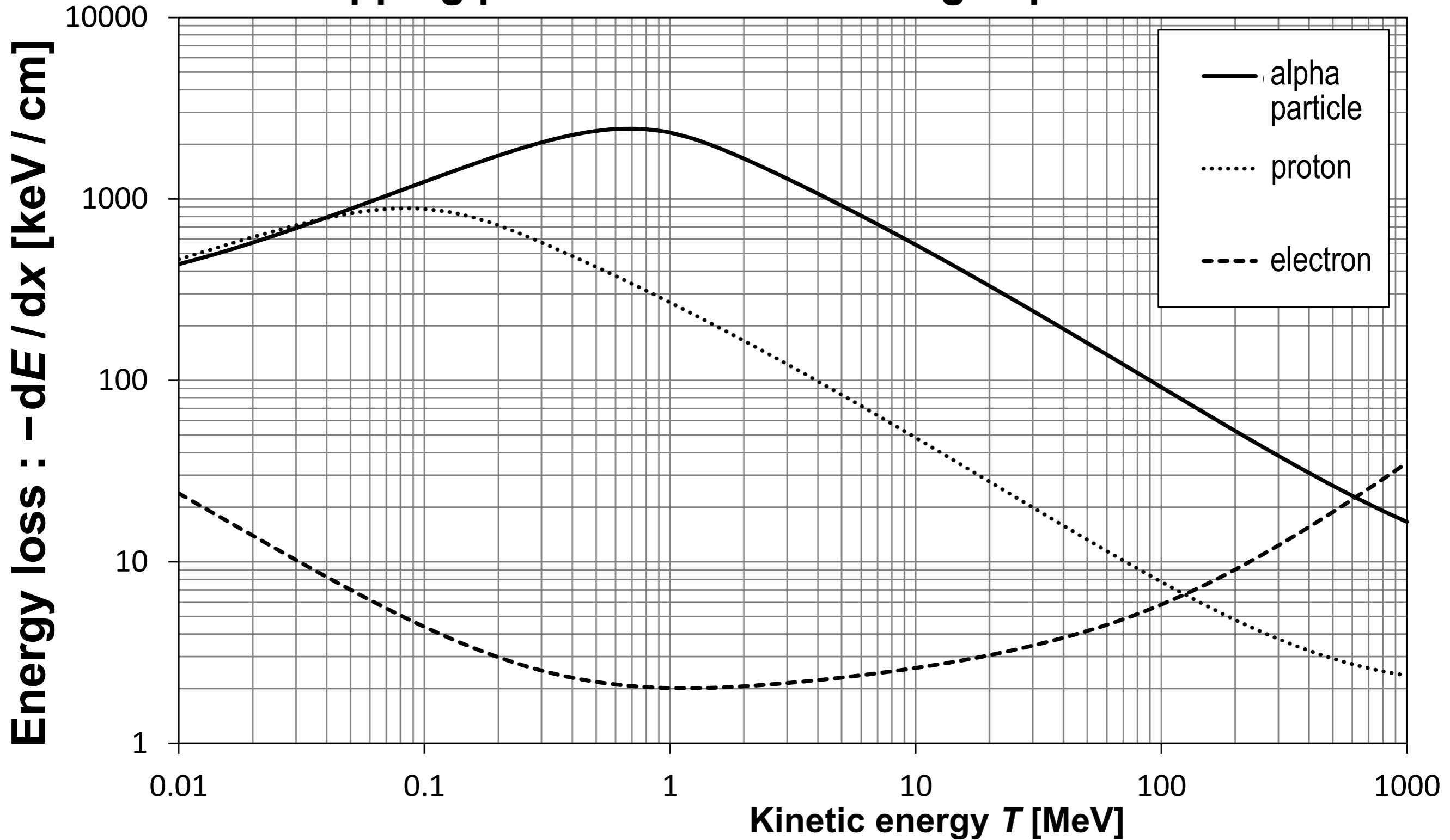
electric charge:
Coulomb force



Stopping power is proportional to the **density** of electrons scattered.

Mass stopping power does not depend very much on the material.

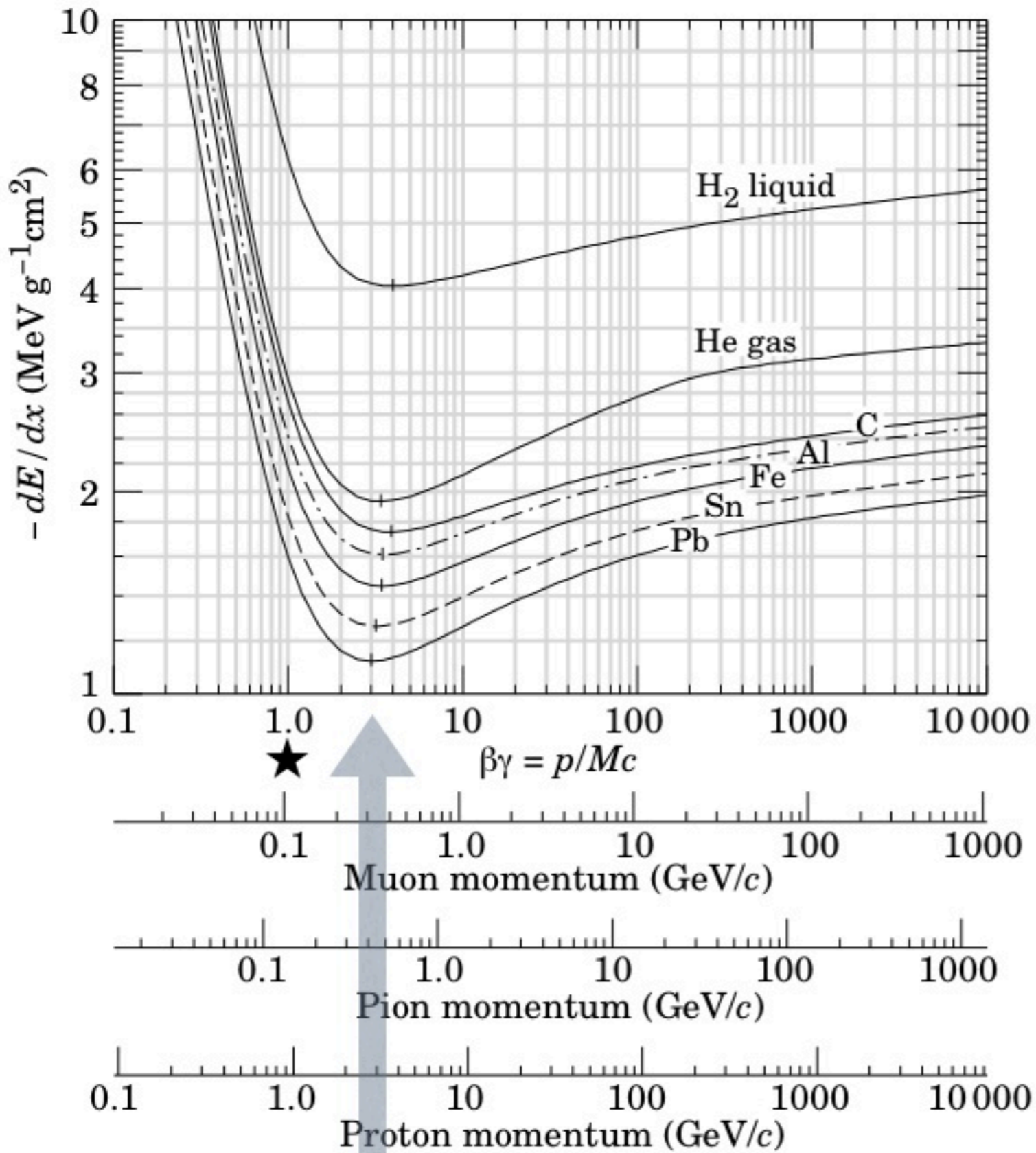
Stopping power for various charged particles in air



mass stopping power

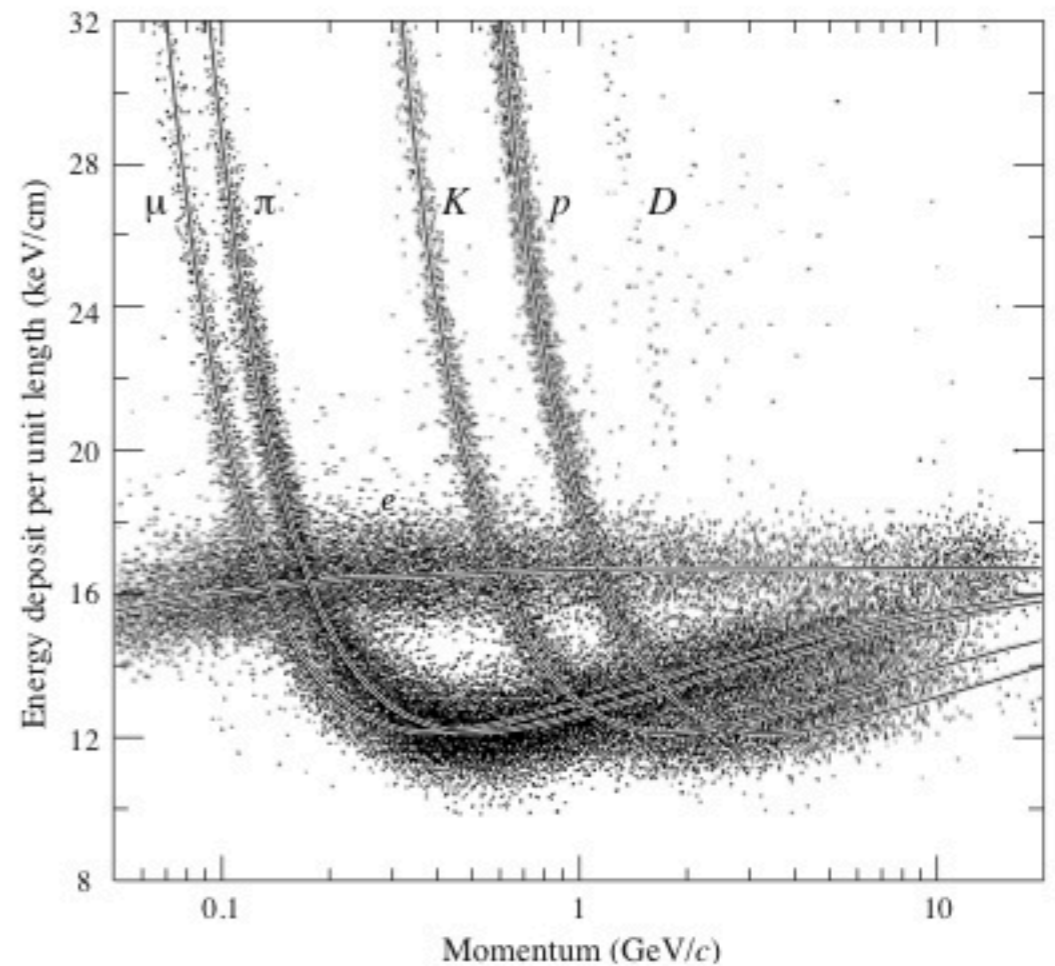
MeV / (g / cm²)

$$-\frac{1}{\rho} \left\langle \frac{dE}{dx} \right\rangle \propto \frac{z^2}{v^2} = \frac{z^2 M/2}{Mv^2/2} \propto \frac{z^2 M}{T}$$



minimum ionizing $\approx 2 \text{ MeV} / (\text{g}/\text{cm}^2)$

particle identification



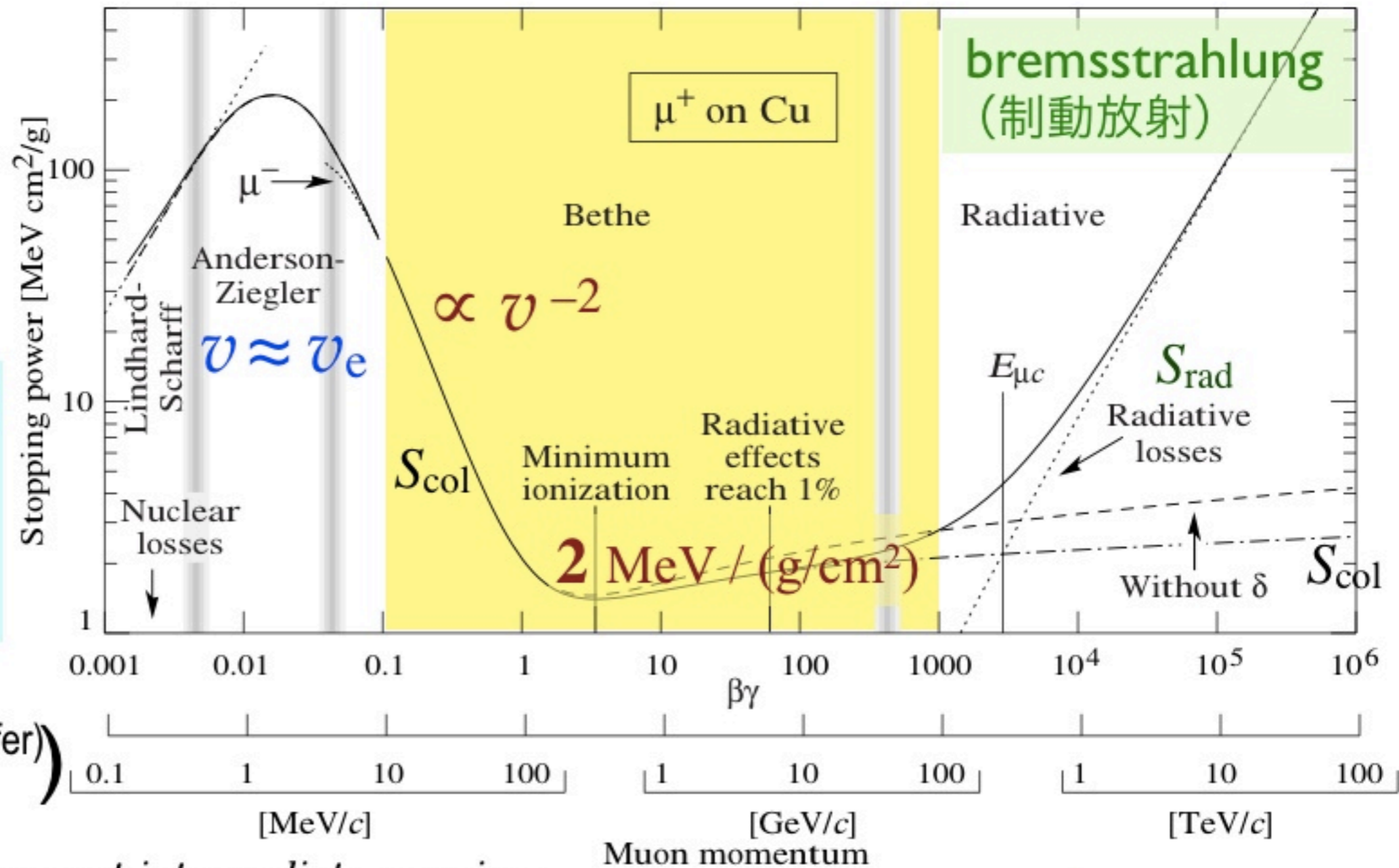
(8.5 atm Ar-CH₄ 80:20)

$$\star \beta\gamma = 1 \Leftrightarrow \beta = 1/\sqrt{2}$$

$$T = 1546 \text{ MeV for } \alpha$$

$$-\frac{1}{\rho} \left\langle \frac{dE}{dx} \right\rangle$$

- non-adiabatic
- Barkas effect
- ions capture electrons



27.2.2. Stopping power at intermediate energies :

The mean rate of energy loss by moderately relativistic charged heavy particles, $M_1/\delta x$, is well-described by the "Bethe" equation,

$$S_{\text{col}} = - \left\langle \frac{dE}{dx} \right\rangle_{\text{col}} = K z^2 \frac{Z}{A} \frac{1}{\beta^2} \left[\frac{1}{2} \ln \frac{2m_e c^2 \beta^2 \gamma^2 T_{\text{max}}}{I^2} - \beta^2 - \frac{\delta(\beta\gamma)}{2} \right]$$

$$\frac{S_{\text{rad}}}{S_{\text{col}}} = \frac{(E+mc^2) Z}{1600 mc^2}$$

mass stopping power

$$\text{MeV} / (\text{g} / \text{cm}^2) \quad - \frac{1}{\rho} \left\langle \frac{dE}{dx} \right\rangle \propto \frac{z^2}{v^2} = \frac{z^2 M/2}{Mv^2/2} \propto \frac{z^2 M}{T}$$

Stopping power (Energy loss, Linear Energy Transfer : LET)

阻止能 (エネルギー損失、線エネルギー付与)

proton beams, α -rays, heavy ions : high-LET radiation

neutron beams : give high LET by kicking out protons in media.

β -rays (electron beams) : low-LET radiation

photons (X-rays, γ -rays) : kick out electrons in media.

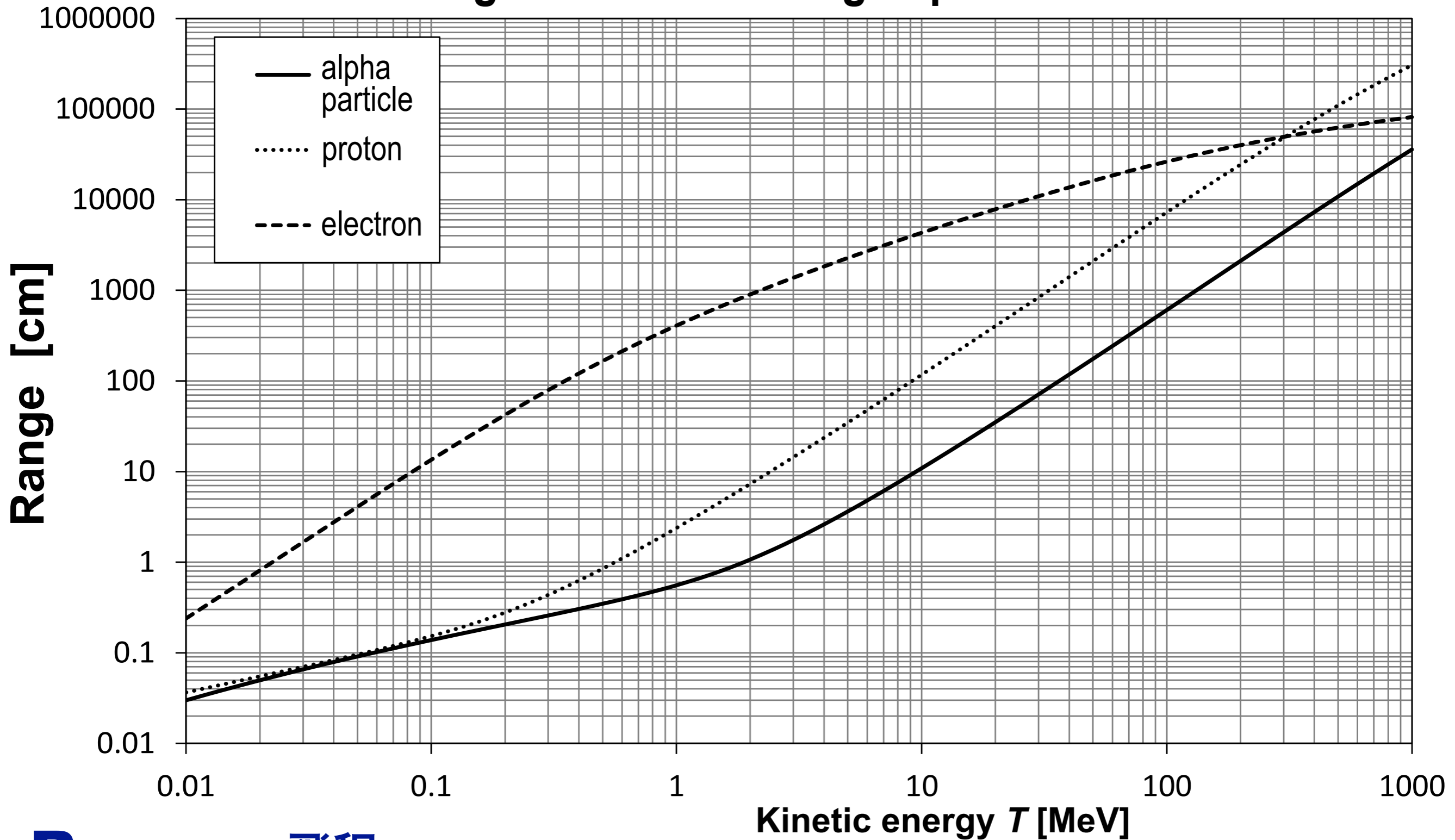
or create electron-positron pairs at high energies,
giving low LET.

Does not depend very much on the material.

$$\text{mass stopping power} \frac{1}{\rho} \left\langle \frac{dE}{dx} \right\rangle \propto \frac{z^2}{v^2} = \frac{z^2 M/2}{Mv^2/2} \propto \frac{z^2 M}{T}$$

MeV / (g / cm²)

Range of various charged particles in air



Range 飛程

Integral of the reciprocal of the stopping power.

$$R(E_0) = \int_{E_0}^0 \left\langle \frac{dE}{dx} \right\rangle^{-1} dE$$

Range Integral of the reciprocal of the stopping power.

proton beams, α -rays, heavy ions : short range

Shielding is easy against external exposure.

neutron beams : penetrate deep into matter.

do not interact with electrons.

drastic deceleration by collision with protons in media.

(but the cross section / reaction probability is small.)

Long range. Shielding by materials including H atoms.

β -rays (electron beams) : longer range than p, α , ions.

easily scattered by electrons in media.

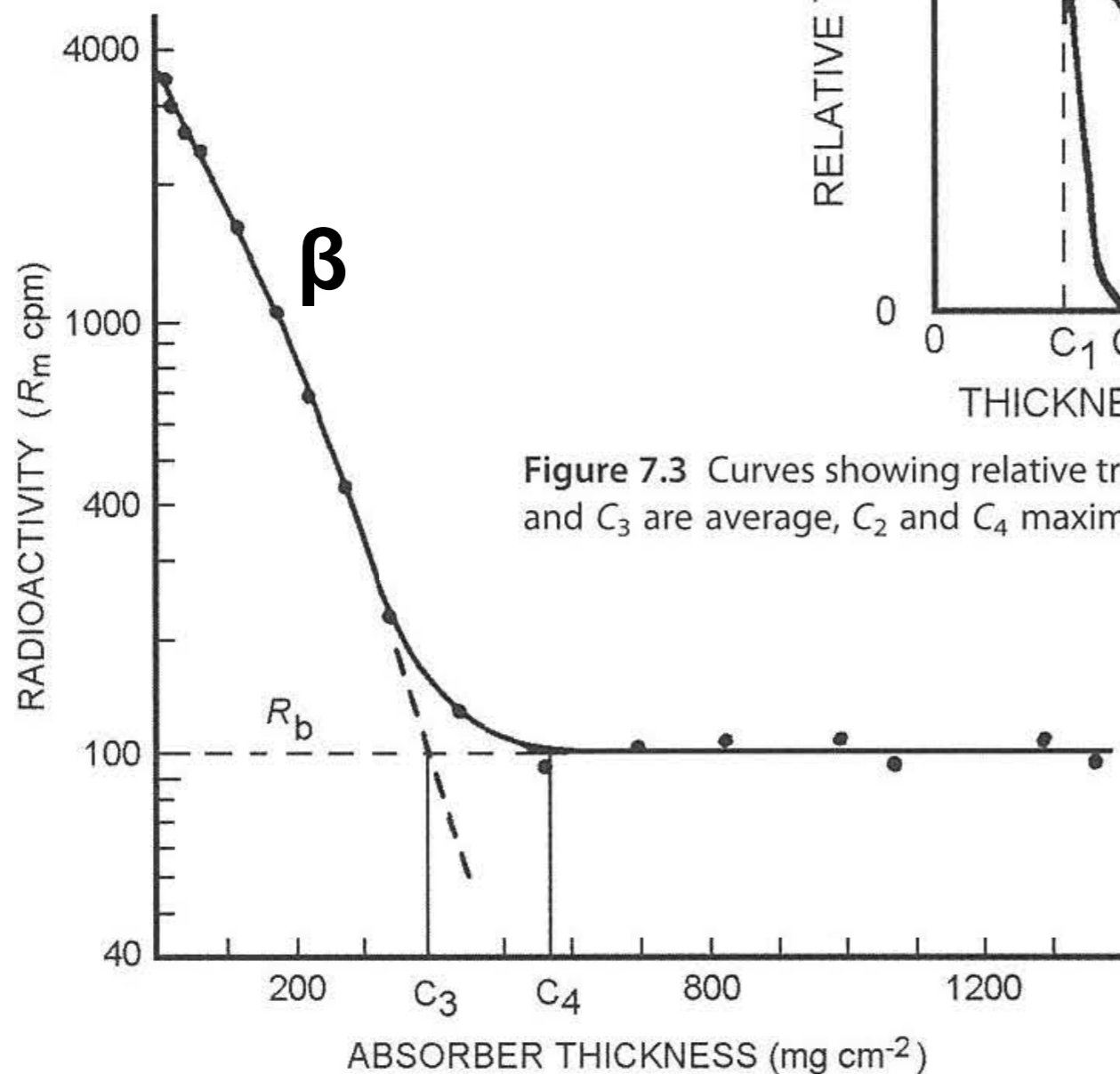
Does not depend very much on the material.

$$\text{mass stopping power} \frac{1}{\rho} \left\langle \frac{dE}{dx} \right\rangle \propto \frac{z^2}{v^2} = \frac{z^2 M/2}{Mv^2/2} \propto \frac{z^2 M}{T}$$

MeV / (g / cm²)

Transmission (number) vs. thickness

log.



lin.

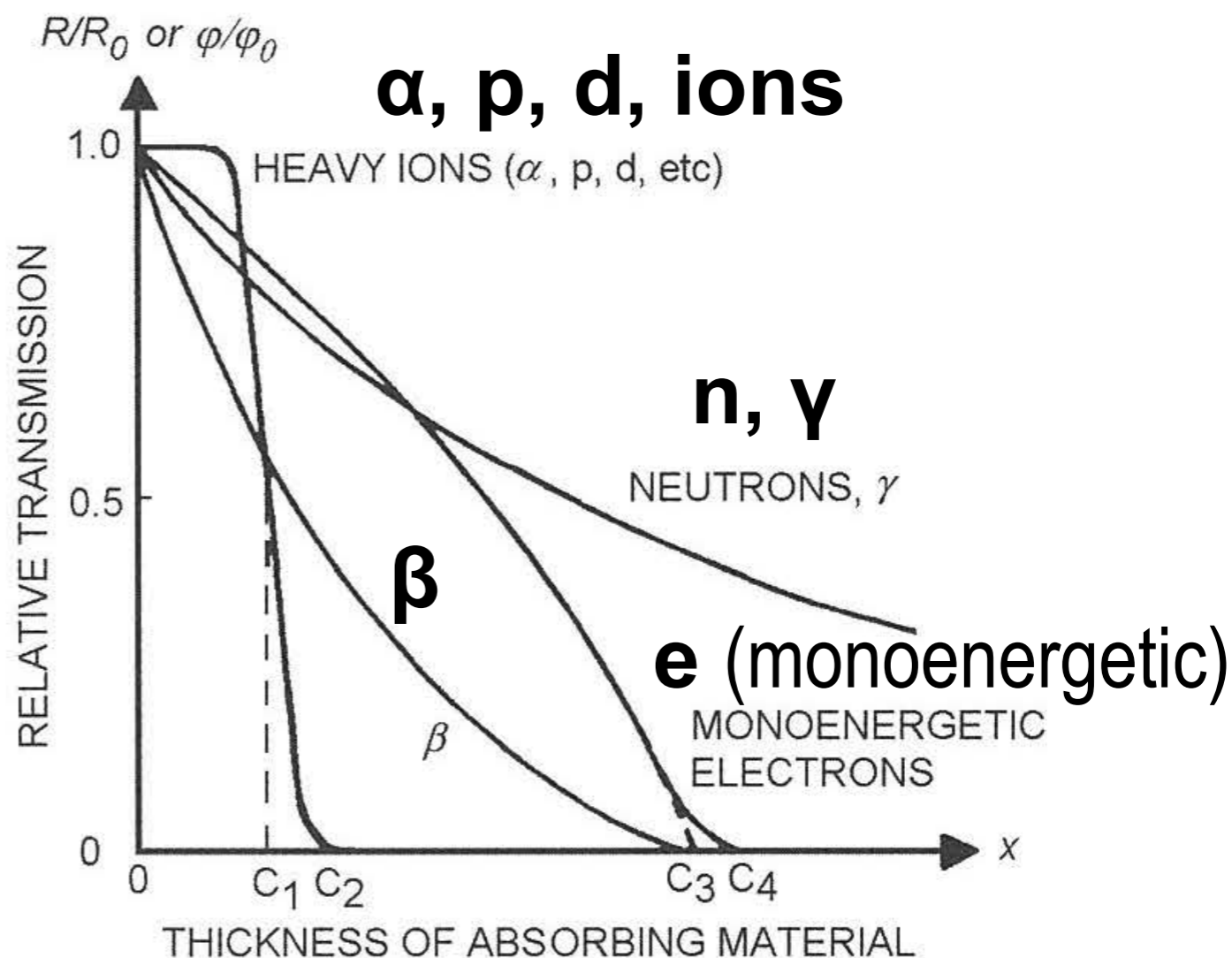


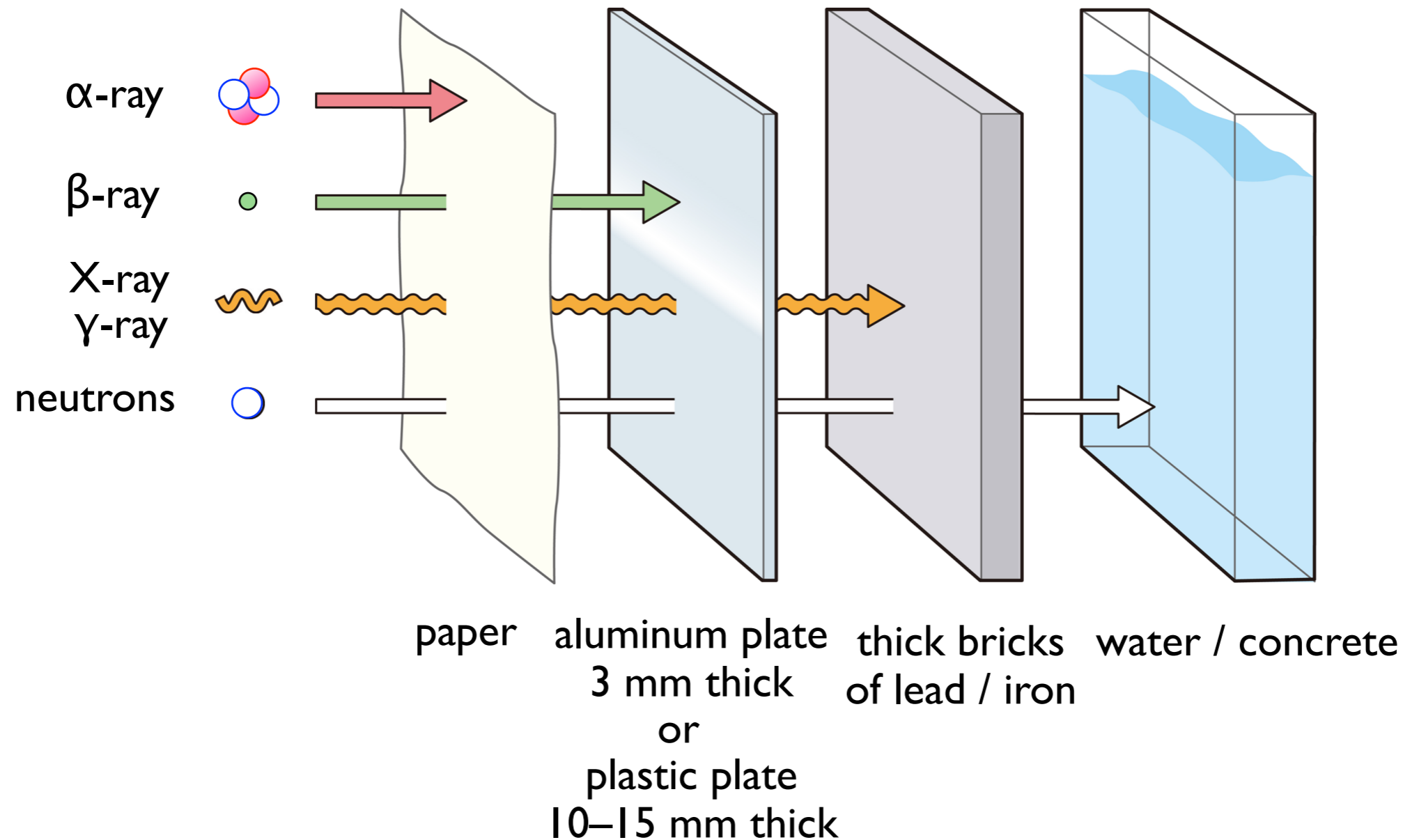
Figure 7.3 Curves showing relative transmission ϕ/ϕ_0 (or R/R_0) as function of absorber thickness x . C_1 and C_3 are average, C_2 and C_4 maximum range.

$$\begin{aligned}
 R_\beta &= C_4 \\
 &= 0.407 (E / \text{MeV})^{1.38} \text{ g/cm}^2 \\
 &\quad (0.15 \text{ MeV} < E_{\text{max}} < 0.8 \text{ MeV}) \\
 &= 0.542 (E / \text{MeV}) - 0.133 \text{ g/cm}^2 \\
 &\quad (0.8 \text{ MeV} < E_{\text{max}} < 3 \text{ MeV}) \\
 &\approx 0.5 (E / \text{MeV}) \text{ g/cm}^2
 \end{aligned}$$

Figure 7.4 Absorption curve for ^{32}P β -radiation showing extrapolated (C_4) and average (C_3) ranges. The dashed curve is obtained after subtraction of background.

Range Integral of the reciprocal of the stopping power.

Shielding is easier for radiation with smaller interaction.



mass stopping power
 MeV / (g / cm²)

$$\frac{1}{\rho} \left\langle \frac{dE}{dx} \right\rangle \propto \frac{z^2}{v^2} = \frac{z^2 M/2}{Mv^2/2} \propto \frac{z^2 M}{T}$$

Exposure to different radiations

- **α -ray** : a few cm of range in the air.
Stops at surface cells of organism.
Internal exposure needs attention :
all the energies are given to cells within
a short range.
- **β -ray** : **external exposure** to the **skin**
& **internal exposure** need attention.
- **γ -ray** : **penetrates through the body**,
some without any interaction while the
others with some interaction
(photoelectric effect / Compton scattering)
and get **absorbed inside the body**.
The interior of the body are equally exposed
to radiation even in the case of external exposure.
- **X-ray** : **analogous to γ -ray**.
Part of the energies are absorbed.

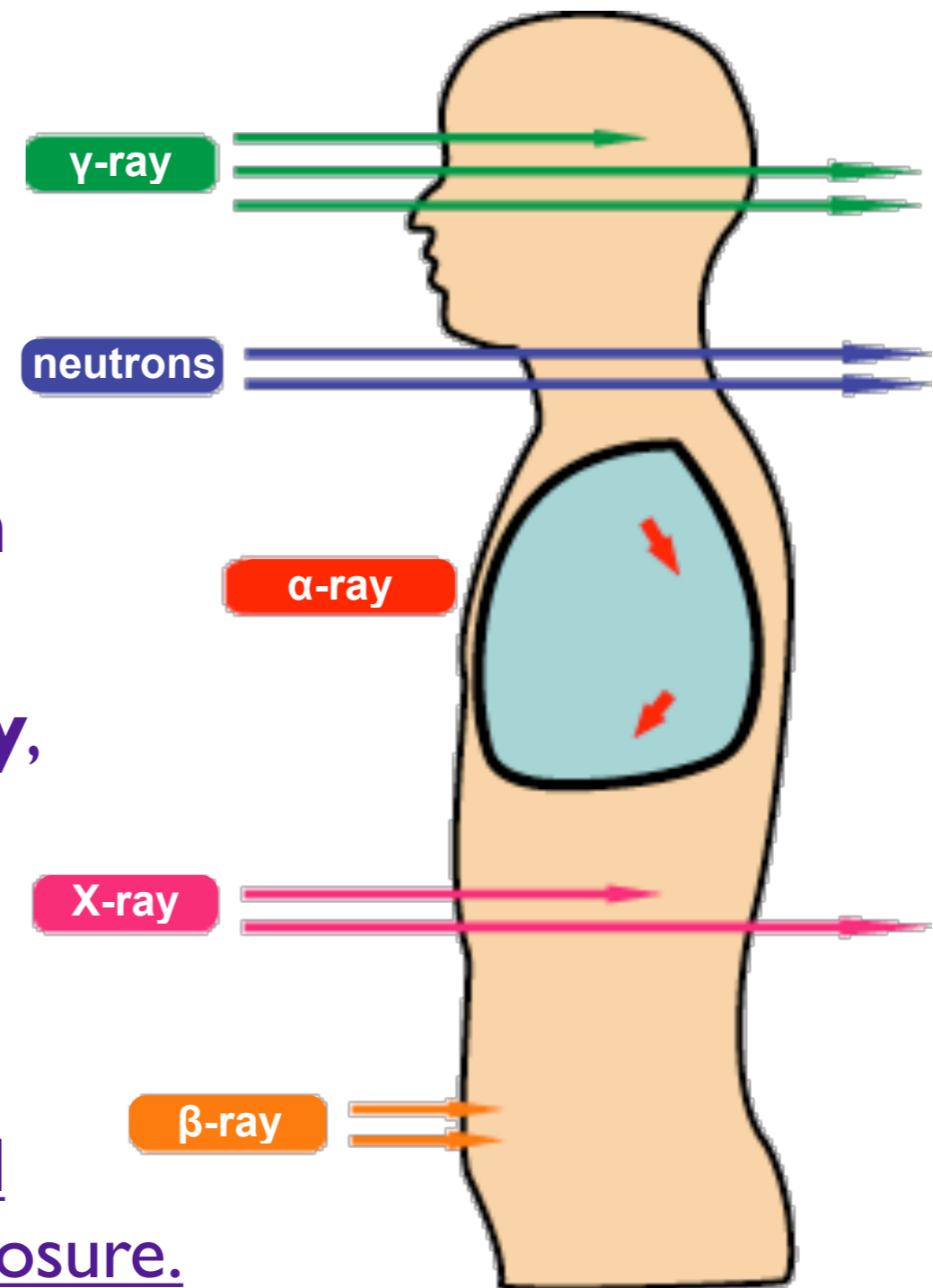


図3 人体を透過する放射線

Radioactive contamination map



What does
protective clothing
放射線防護服
protect ?



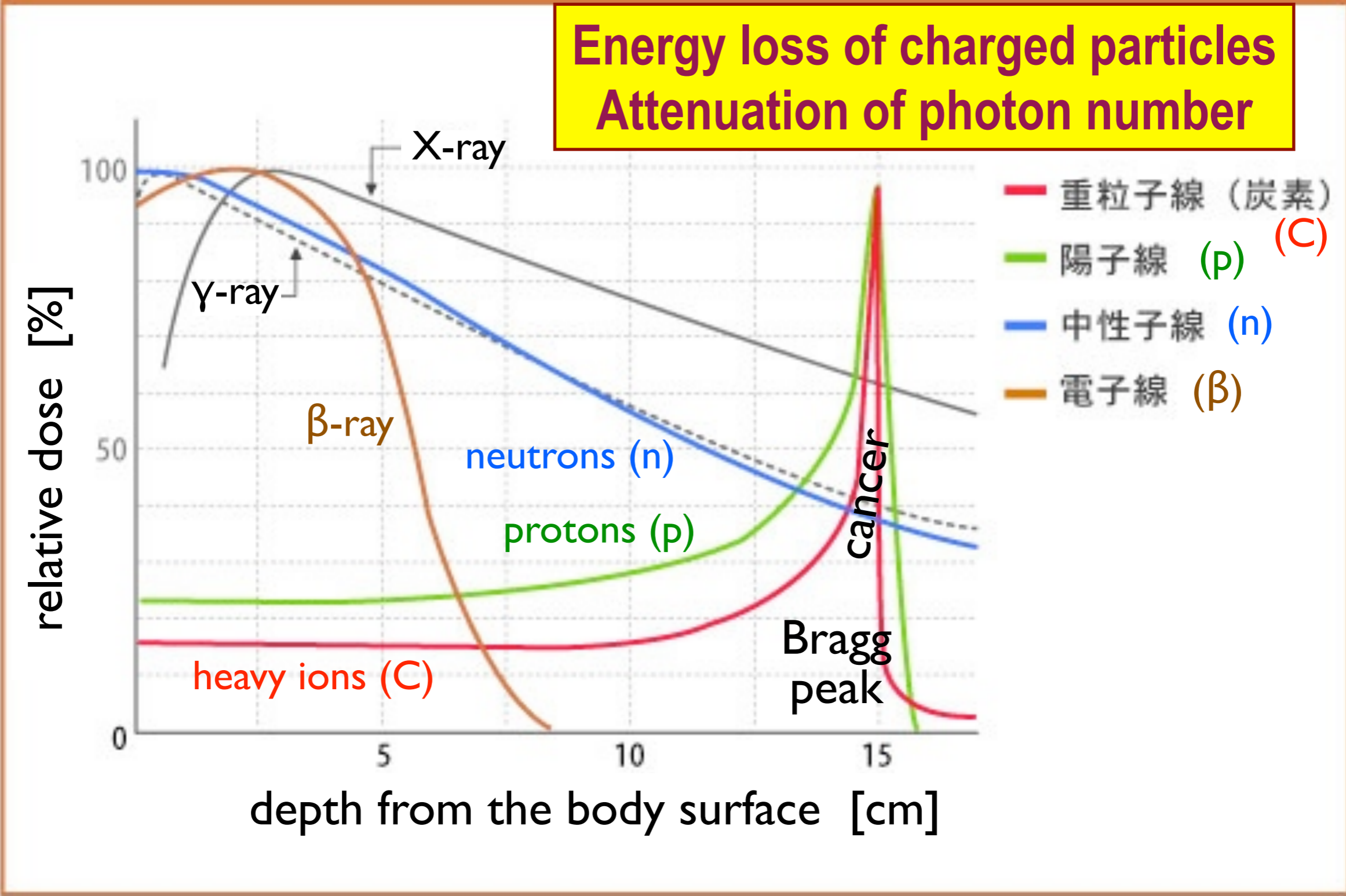
早川由紀夫教授(群馬大学)作成、7月26日版



三訂版7月26日(初版4月21日)
等値線作成: 早川由紀夫(群馬大学) (kipuka.blog70.fc2.com/)
@nnistarさんの地図 (www.nnistar.com/gmap/fukushima.html)
Contour lines drawn by Yukio Hayakawa (Gunma Univ.),
Source: @nnistar
地図製図: 萩原佐知子
背景地図には電子国土ポータル(portal.cyberjapan.jp)の地図を使用しました。

Protons, alpha-particles and ions have their uniform ranges as a function of their energy. Electrons (beta-particles) are subject to scattering. The range measured as the rectilinear distance (or the material thickness) has a large dispersion. Neutrons and photons attenuate exponentially with depth, as the reaction occurs stochastically.

**Energy loss of charged particles
Attenuation of photon number**

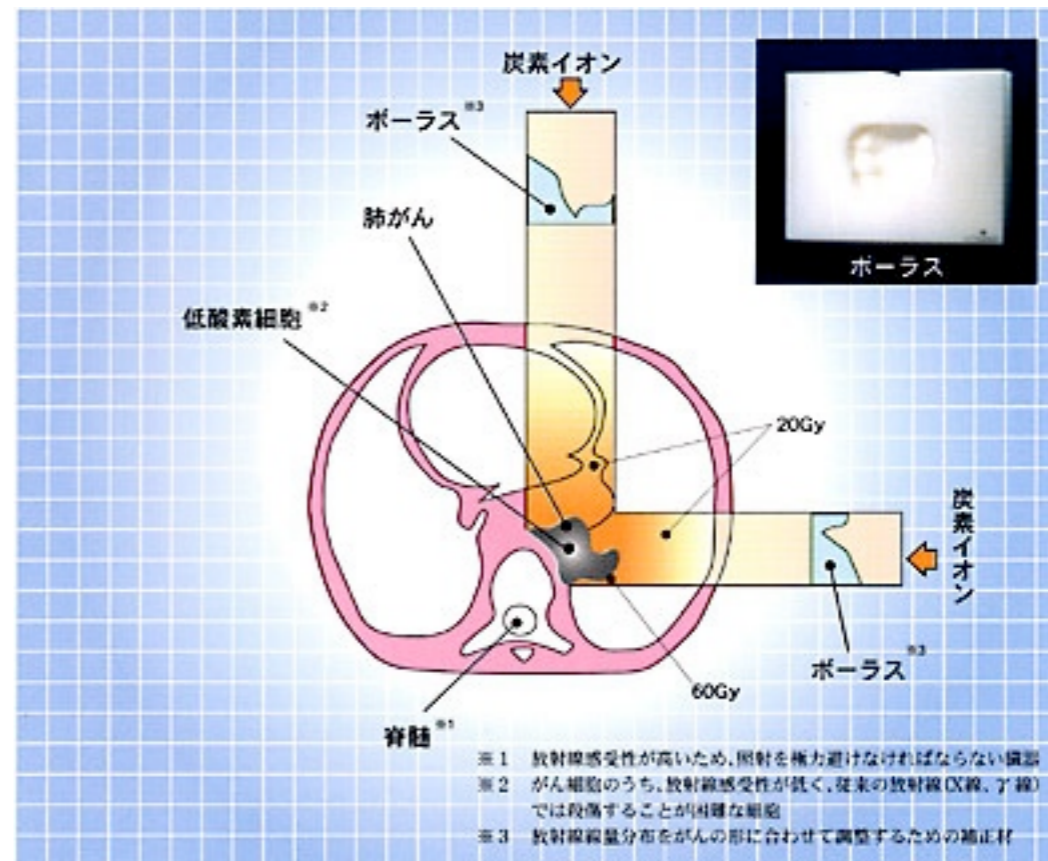
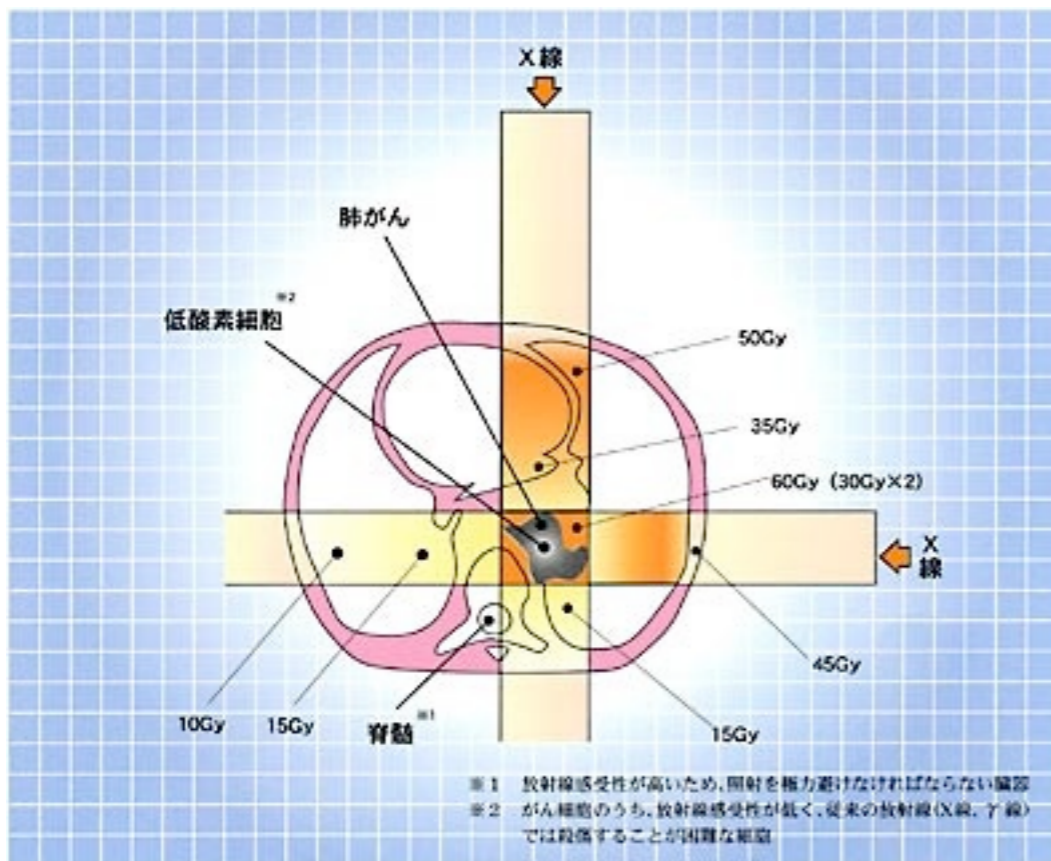


Radiation therapy for cancer

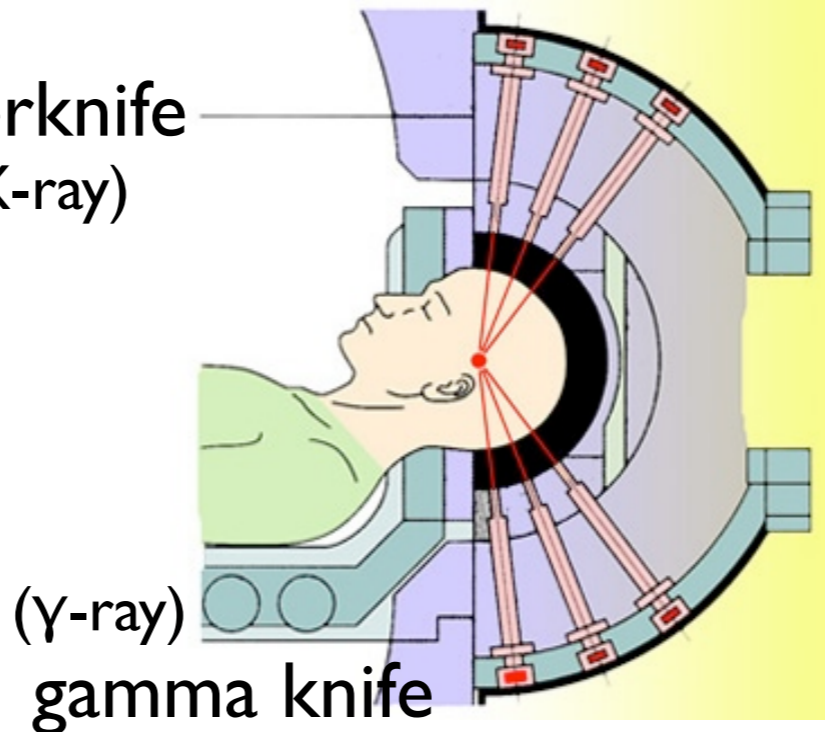
Multiple irradiation of a few Gy each.

X-ray

heavy ion beam (Carbon ions)



cyberknife
(X-ray)

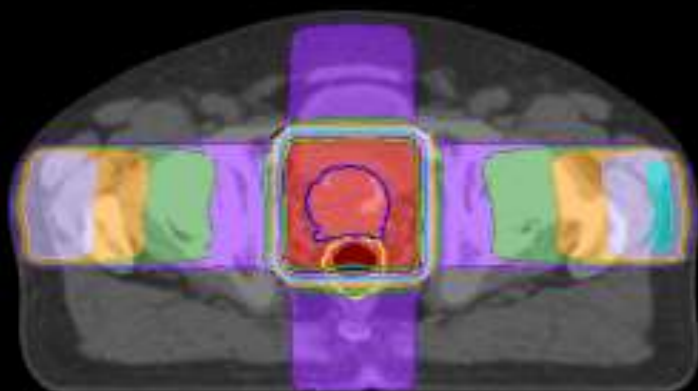


proton beam
pion beam
(antiproton beam)

e.g. prostate cancer (前立腺がんの例)

4-port irradiation

前後左右4門照射

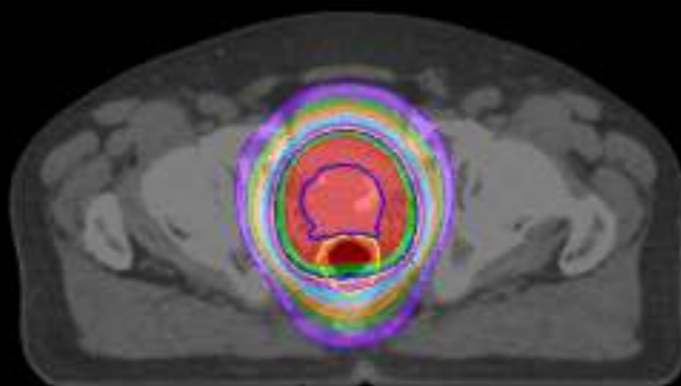


- 前立腺の他に、膀胱や直腸が高線量域に含まれる
- 70Gyが限界(難治性の晩期粘膜障害の発現を許容範囲に抑えるためには、実際には60~66Gy程度が限界となる)

3D-CRT

(three-dimensional conformal radiotherapy)

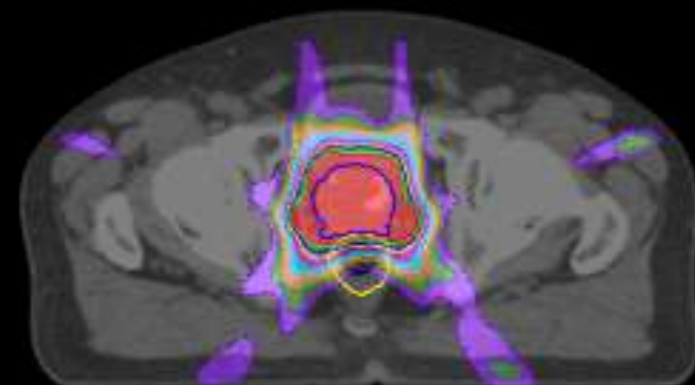
3次元原体照射



- 前立腺に線量が集中し、膀胱や直腸への線量が低く抑えられる
- 70Gy以上の投与が可能であるが、線量の集中に限界があり、線量増加に伴う副作用の増加が懸念される

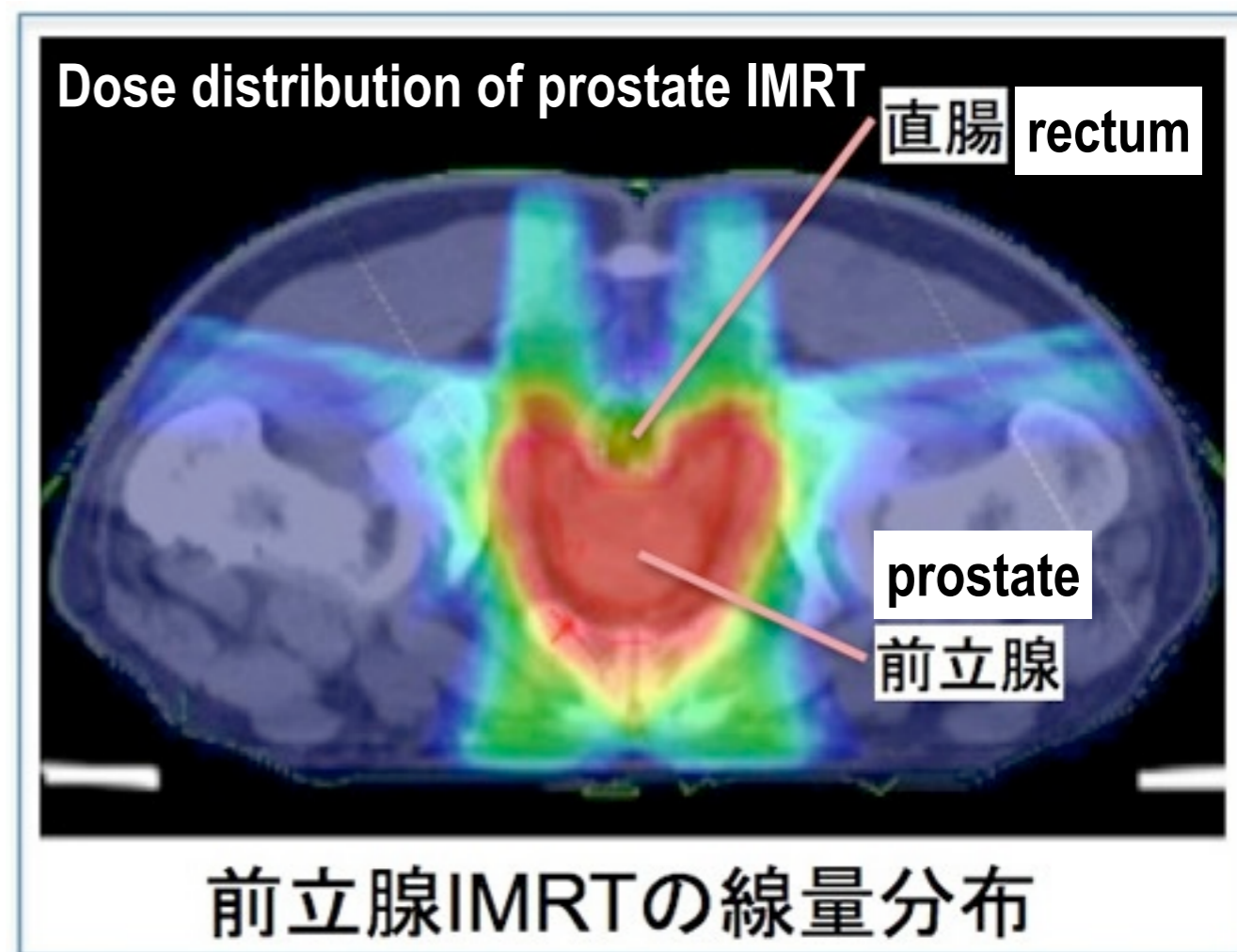
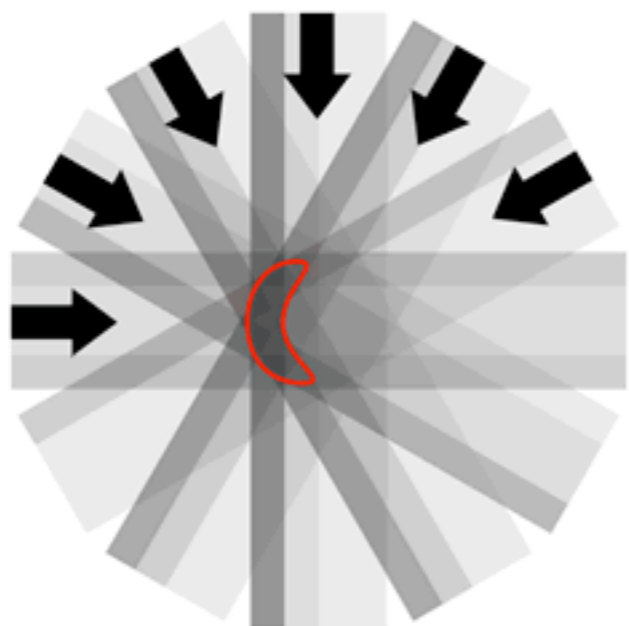
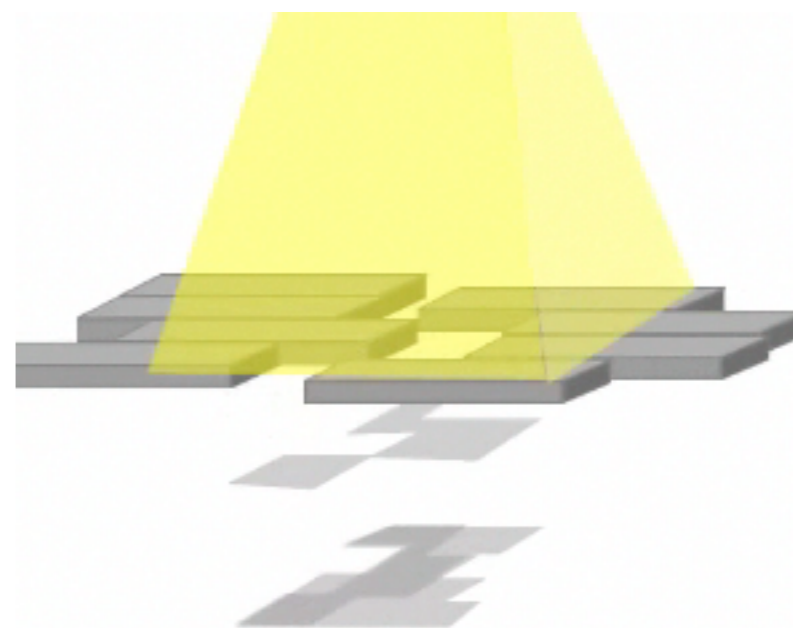
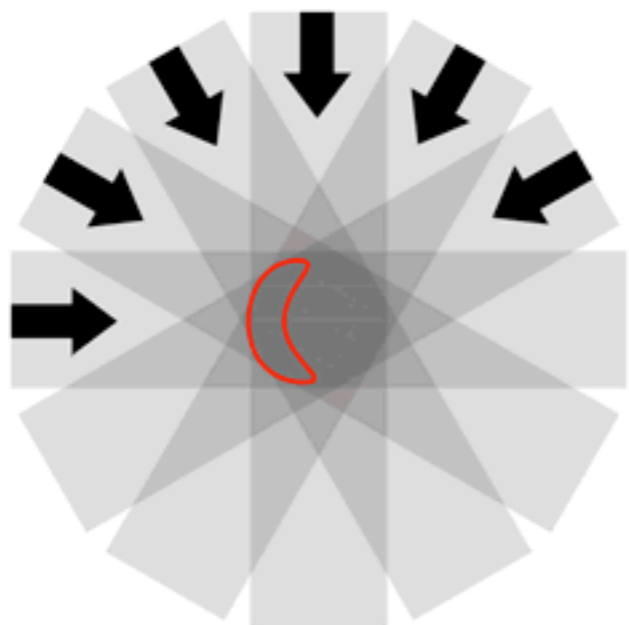
IMRT : Intensity-Modulated Radiation Therapy

強度変調放射線治療



- 前立腺への集中性がさらに強化
- IGRTを併用することで、3次元原体照射を超える高線量を安全に投与することが可能

外照射法の進歩を背景に、前立腺癌に対する線量増加効果が積極的に検討されている。



Interaction between radiation and matter

Attenuation of photons

放射線と物質との相互作用 光子の減衰



紫外光 、外殻電子遷移エネルギー

紫外線洗浄
半導体基板や金属、セラミックス、プラスチック表面の洗浄、真鍮に紫外線を使う。

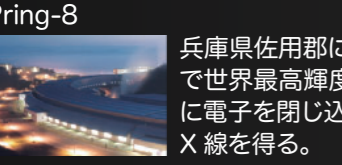
紫外線殺菌
を与えずに、水、食品、薬品などを殺菌する。



地球上の生物に害のある紫外線を遮ってくれる。

触媒は、紫外光を吸収して、窓ガラスや壁の汚れを分解する。

酸化チタン



真空紫外
200 nm~10 nm の紫外線は大気の中を伝わらない。太陽からの真空紫外線は、地表まで到達しない。微細加工などの応用が期待されている光だが、真空環境が必要。

eV (エレクトロンボルト)
光のエネルギーを表す単位に eV がある。波長 1 μm の光は 1.24eV に相当する。光の波長とエネルギーは反比例し、波長 100nm の光は 12.4eV、波長 1nm では 1.24 keV(1240 eV) と、波長が短いほど高いエネルギーを持つ。

アト秒レーザー
アト秒 (atto) は 0.000000000000000001 秒 (0 が 18 個)。そんな一瞬しか光らないパルスレーザー。このレーザーを使えば、電子が止まって見える。100アト秒では光はたった 30 nm しか進めない。真空紫外線や軟 X 線の光でつくられる。

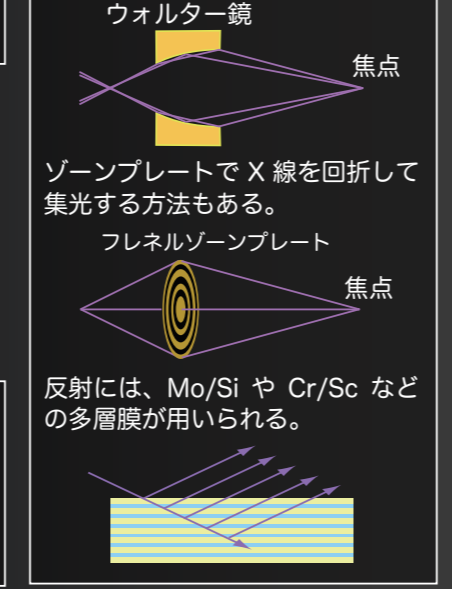
兵庫県佐用郡にある大型の放射光施設。X 線から赤外線まで広い波長範囲で世界最高輝度の光をつくる。周長 1.4 km の蓄積リングと呼ばれる軌道に電子を閉じ込め、光速近くまで加速した電子からのシンクロトロン放射で X 線を得る。

軟 X 線 (極短紫外を含む) 内殻電子遷移エネルギー、水に吸収されない

レーザープラズマ光源
高出力のレーザー光をターゲットに当てて発生するプラズマから軟 X 線を出す。未来の半導体製造光源。

軟 X 線顕微鏡
「水の窓」を使えば、高い空間分解能で生物試料を生きのまま観察できる。軟 X 線は大気をほとんど伝わらないので、装置を真空中に置く。

X 線のレンズ
軟 X 線や X 線の領域では、ガラスも金属も屈折率がほぼ 1.0 で、反射も屈折もしない。浅い角度の反射で X 線の進行方向を変えて集光する。



静電気除去
空気中の分子を分解してイオンを発生し、基板の帯電を除去する。

X 線 内殻電子遷移エネルギー

レントゲン写真
からだが見えて見える。X 線が透過しにくい骨が影となって映る。胃を見るときはバリウム (造影剤) を飲む。空港の手荷物検査も X 線。

X 線 CT (コンピュータ断層撮影)
様々な方向で X 線を照射して測定した透過強度から、コンピュータ解析によって断層像を取得する。

X 線天文衛星すざく
X 線は大気層で吸収されるため、望遠鏡を搭載した衛星を宇宙まで飛ばして観測する。

XPS (X 線光電子分光)
X 線を試料に当てて出る光電子から、半導体の構成元素や電子状態を分析する。

γ 線 原子核・素粒子の遷移エネルギー

PET (ポジトロン断層法)
放射性分子をマーカーにした新しいがん検診技術。

γ 線バースト
太陽系外からやってくる原因不明の突発的なガンマ線。

強い放射線
強力な X 線や γ 線は人体に致命的な障害をもたらす。

放射線治療
弱い放射線を使えばがん細胞を退治できる。

γ 線滅菌
弱い γ 線なら医療器具などの滅菌にも使える。じゃがいもの発芽防止にも γ 線を照射する。

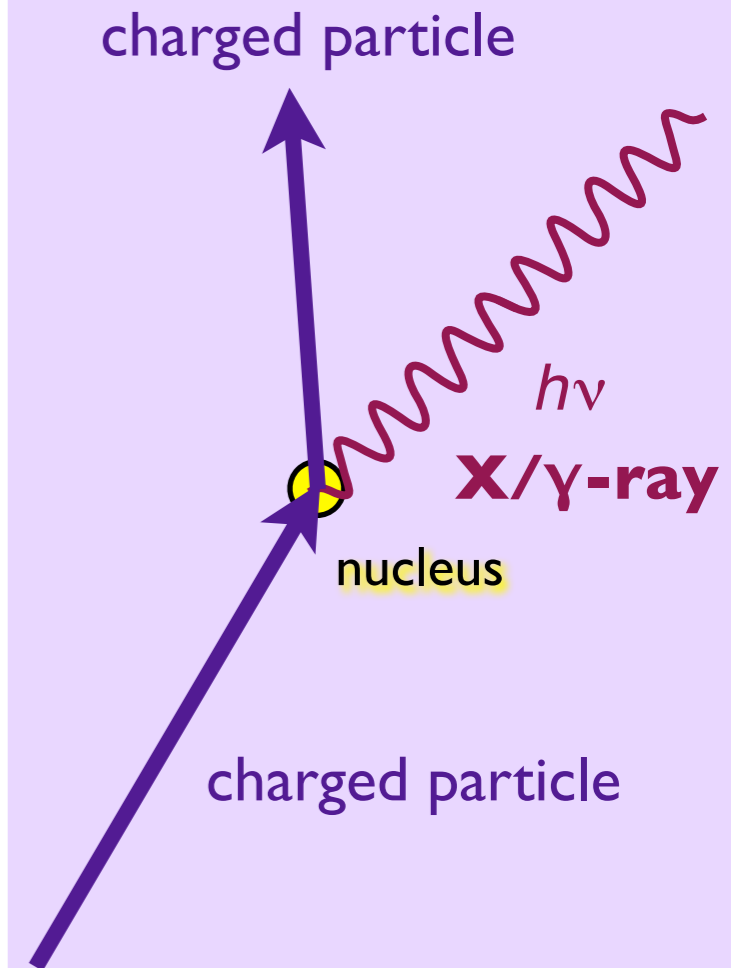
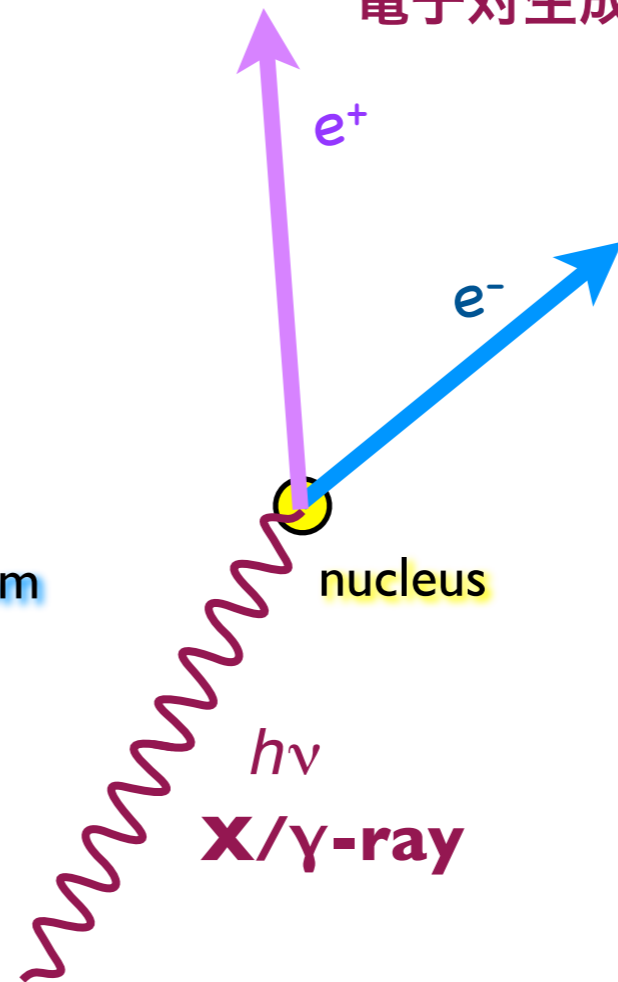
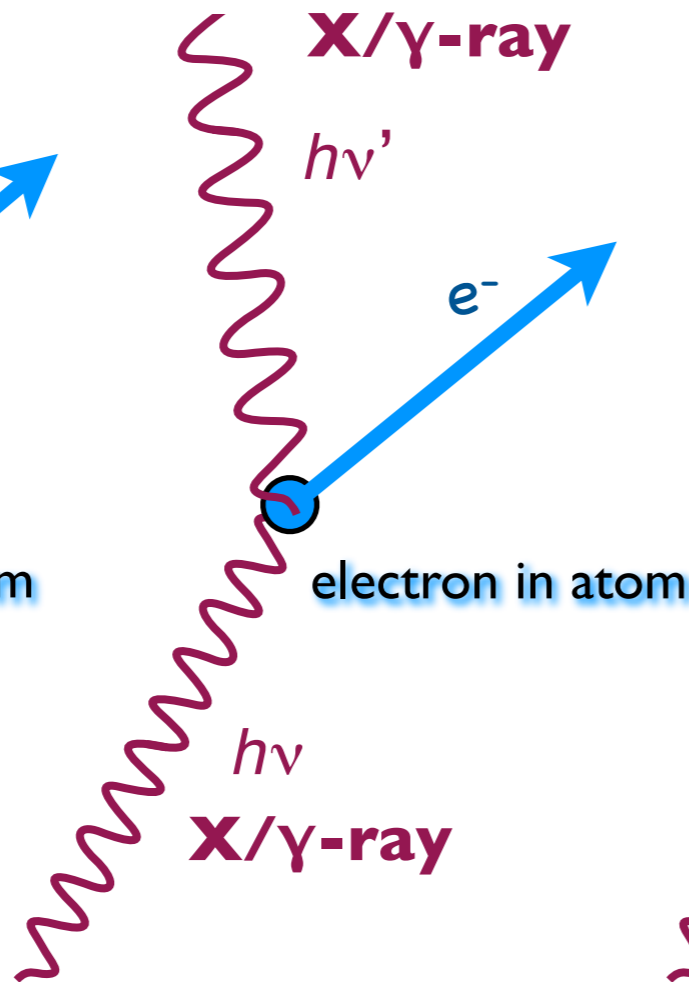
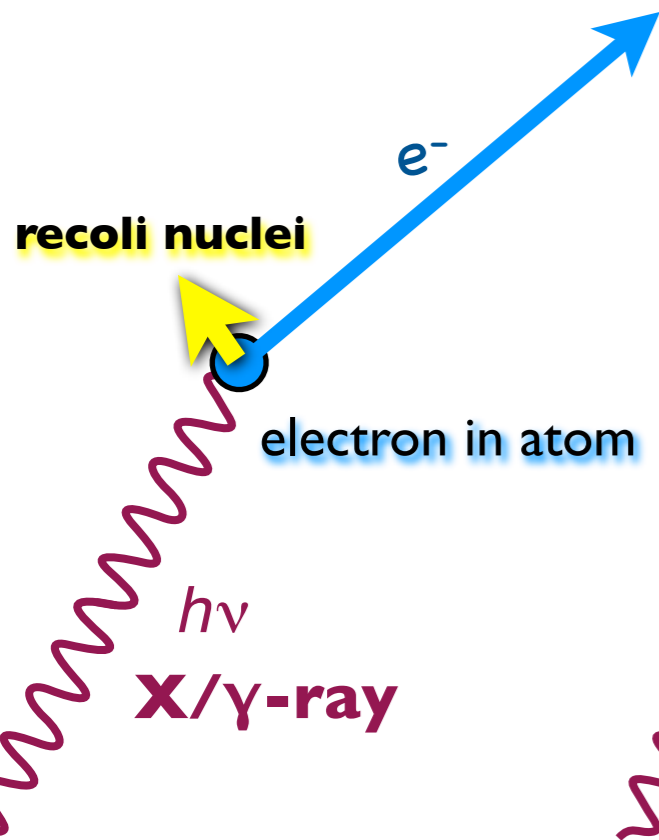
Interaction relating to photons (X-ray, γ -ray)

photoelectric effect 光電効果

Compton scattering コンプトン散乱

pair production 電子対生成

bremsstrahlung 制動放射



A photon kicks **one electron** out of an atom. The photon is absorbed.

A photon is **scattered by one electron**. The photon loses a large fraction of its energy.

A photon with more than a MeV energy produces electron-positron pair.

A charged particle emits a photon when they are abruptly decelerated or when their trajectory is curved.

Generation of high-energy electrons
(same particles as β -ray)

photoelectric effect

U
V

X - r a y

γ - r a y

reaction cross section

1 Mb
= $(0.1 \text{ \AA})^2$

1 barn
= 10^{-28} m^2
= $(10 \text{ fm})^2$

recoil nucleus

e^-

electron in atom

$h\nu$

X/γ-ray

Cross section (barns/atom)

1 Mb

1 kb

1 b

10 mb

10 eV

1 keV

1 MeV

1 GeV

100 GeV

Photon Energy

K-edge

(a) Carbon ($Z = 6$)

○ - experimental σ_{tot}

photoelectric effect

$T_e = h\nu - I$

K-edge, L-edge, ...

$\sigma \propto Z^{4\sim 5} (h\nu)^{-7/2}$

(σ : reaction cross section per atom)

X rays are effectively shielded with lead.

pair production

Compton scattering

σ_{Rayleigh}

photoelectric effect

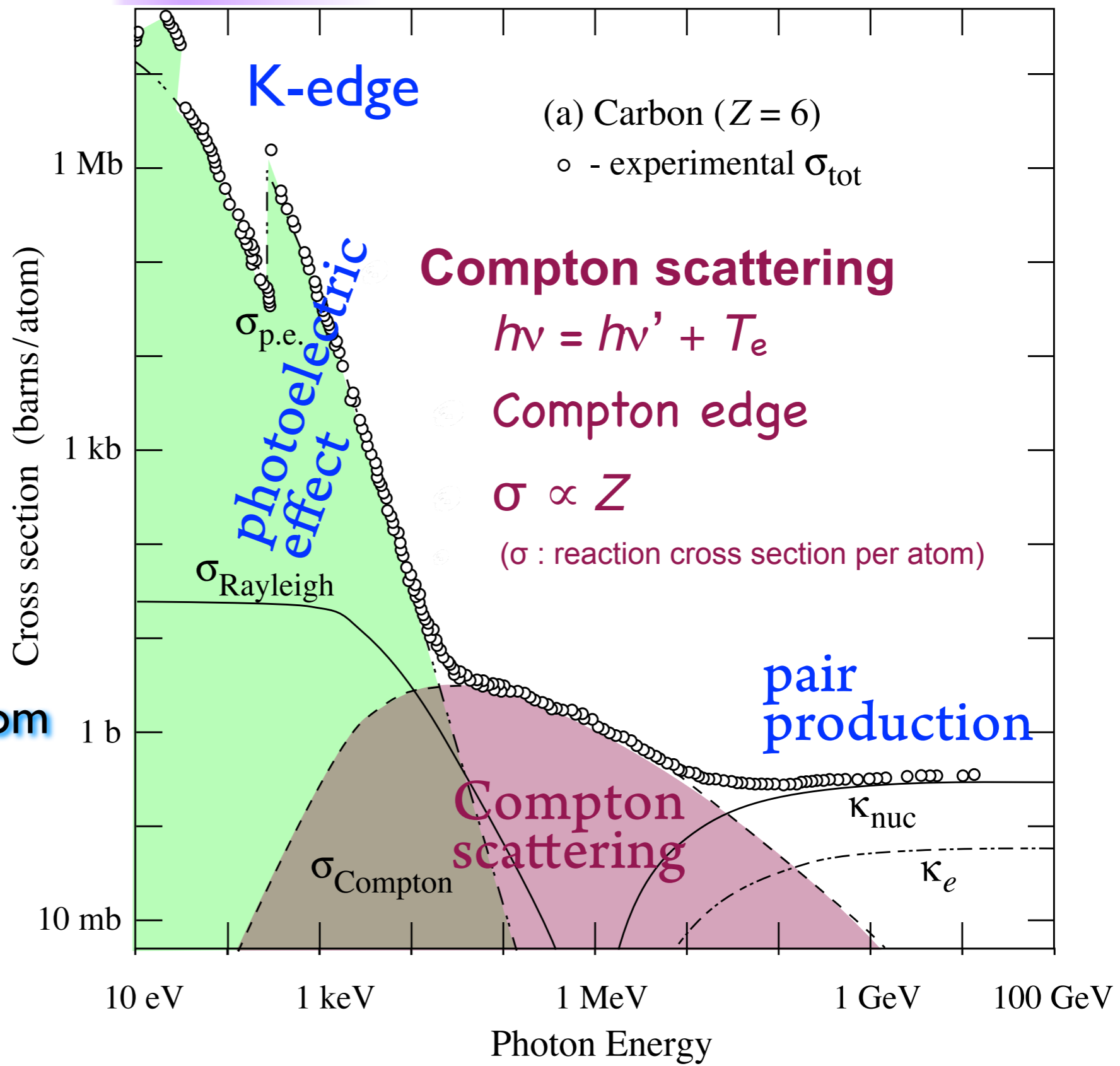
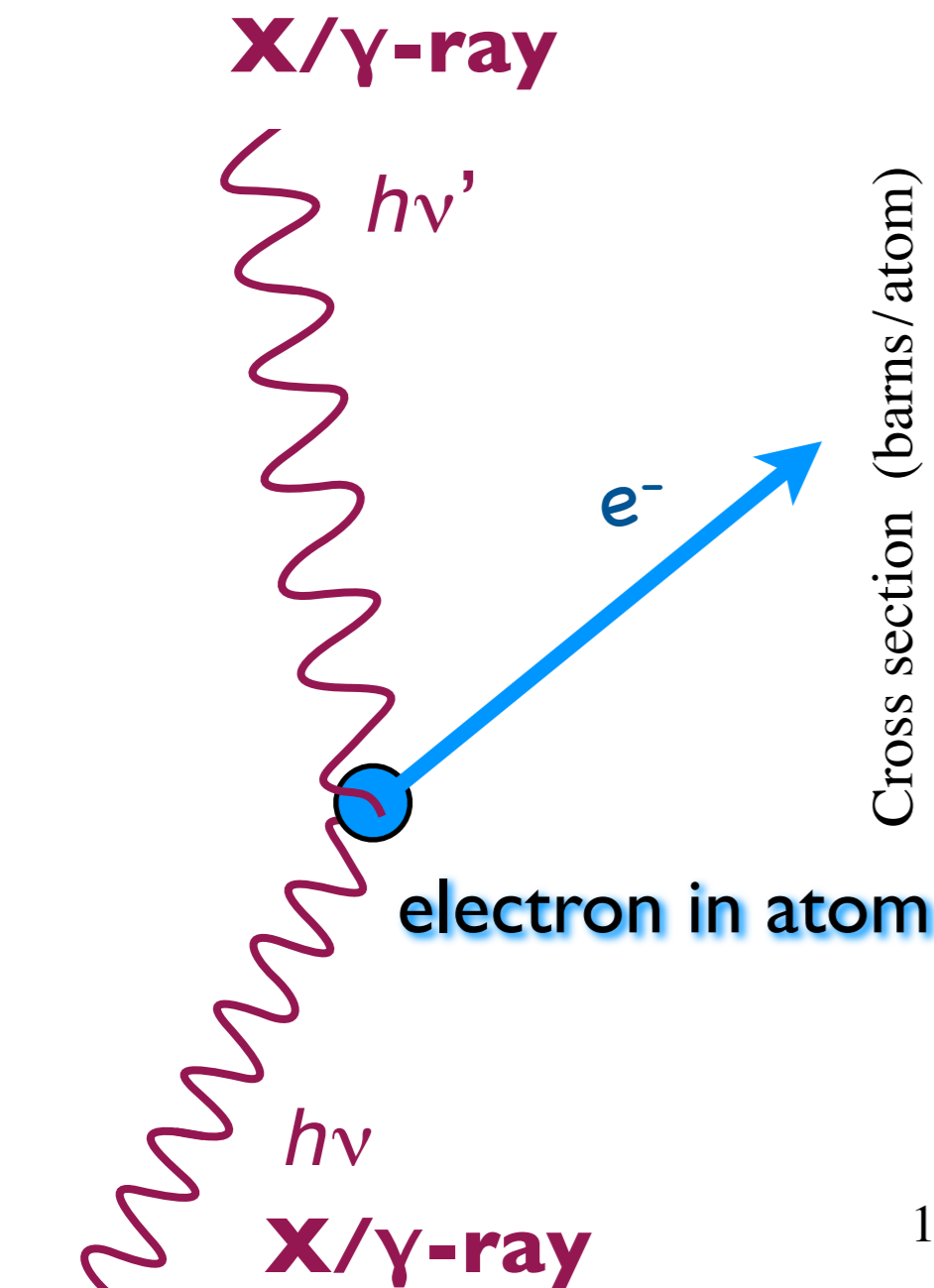
$\sigma_{\text{p.e.}}$

σ_{Compton}

κ_{nuc}

κ_e

Compton scattering

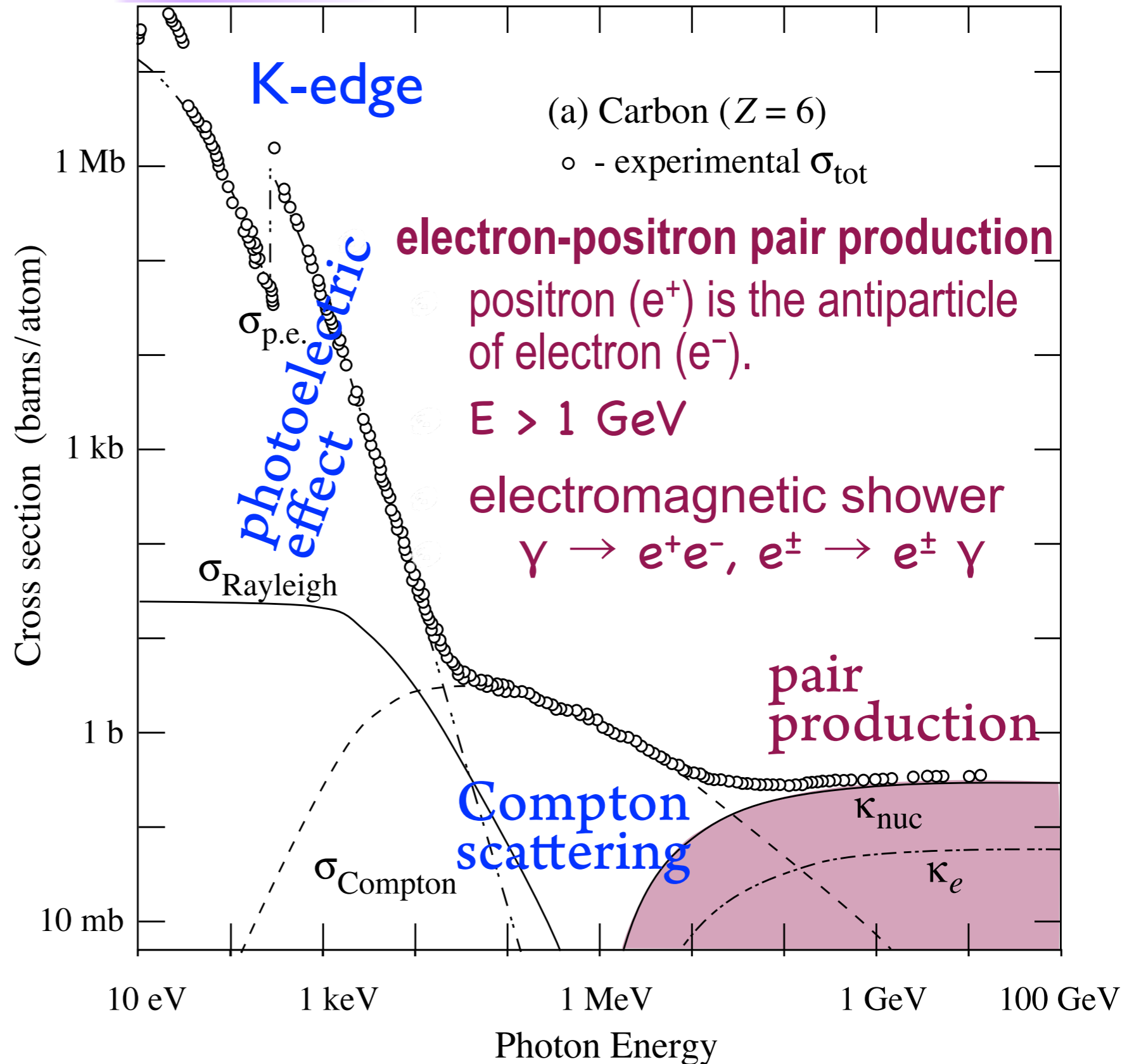
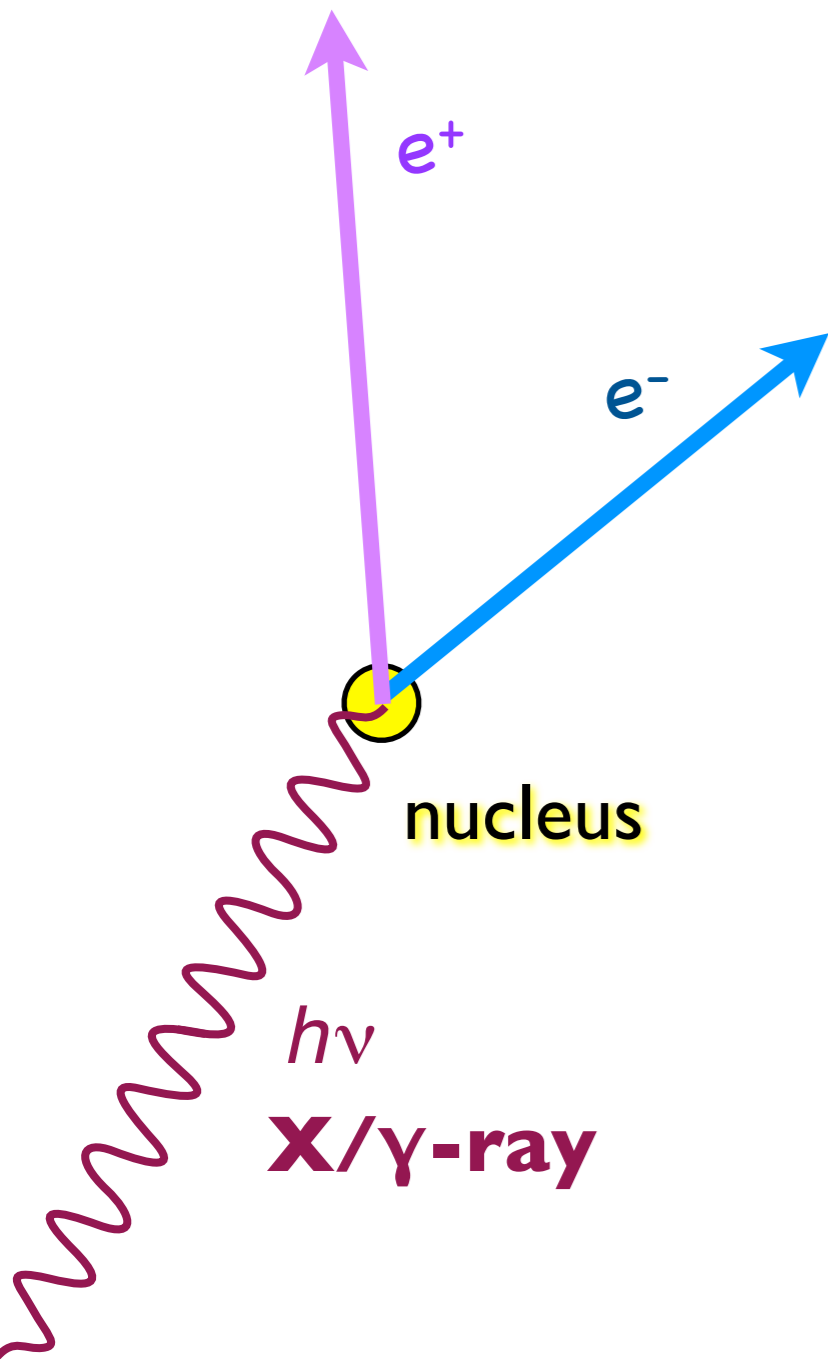


pair production

U
V

X - r a y

γ - r a y



Bremsstrahlung

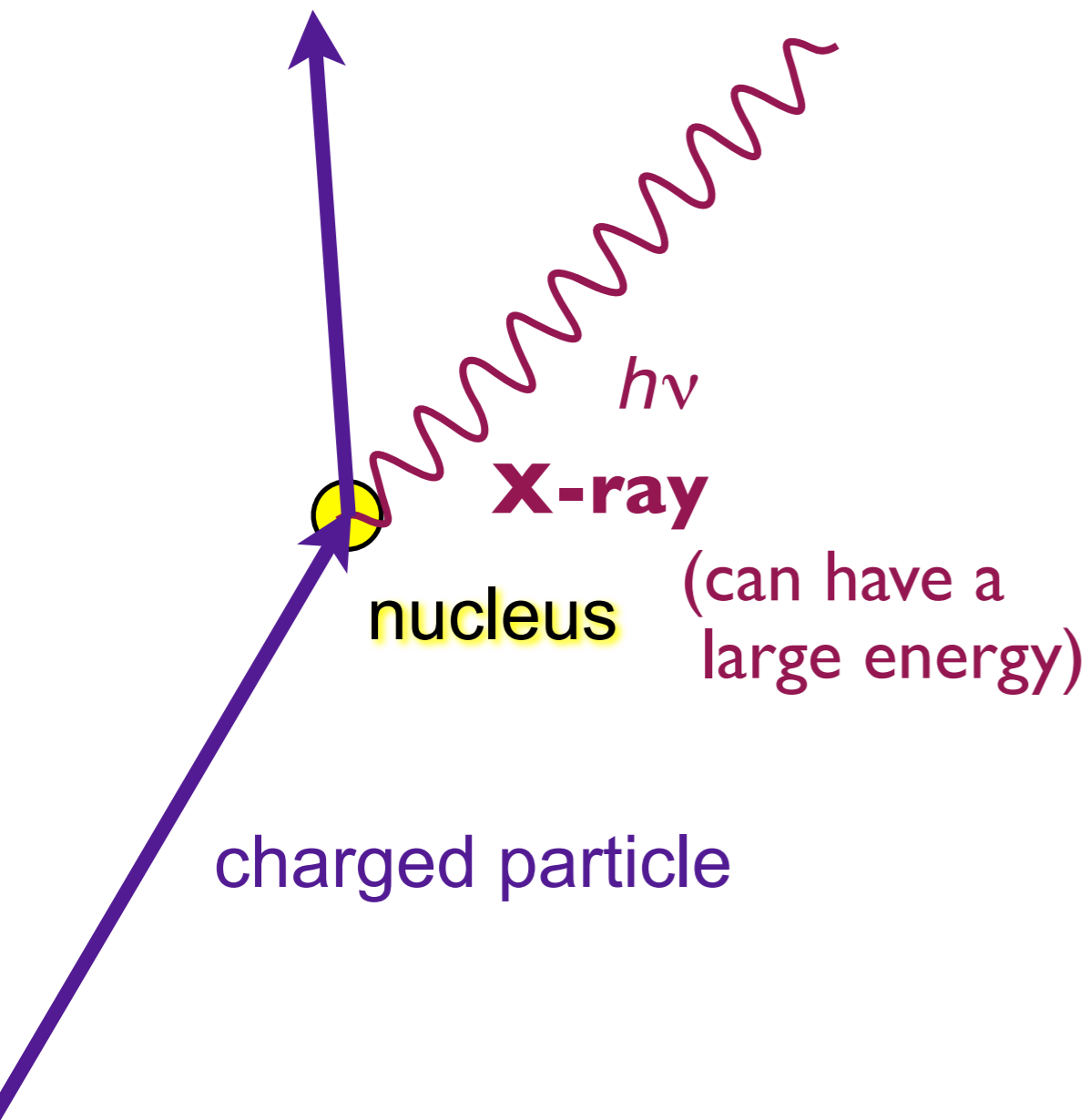
制動放射

Charged particles emit photons (X-ray) when their velocity is abruptly changed (i.e. decelerated or their orbits are curved).

$$\Delta E \propto Z^2$$

β -rays should not be stopped with lead.

charged particle



bremsstrahlung : energy loss S_{rad}

$$\frac{S_{\text{rad}}}{S_{\text{col}}} = \frac{(E+mc^2) Z}{1600 mc^2}$$

electrons (β -ray)

Pb (lead; $Z = 82$)

$$\frac{S_{\text{rad}}}{S_{\text{col}}} \approx \frac{E Z}{800 \text{ MeV}} \approx \frac{E / \text{MeV}}{10}$$

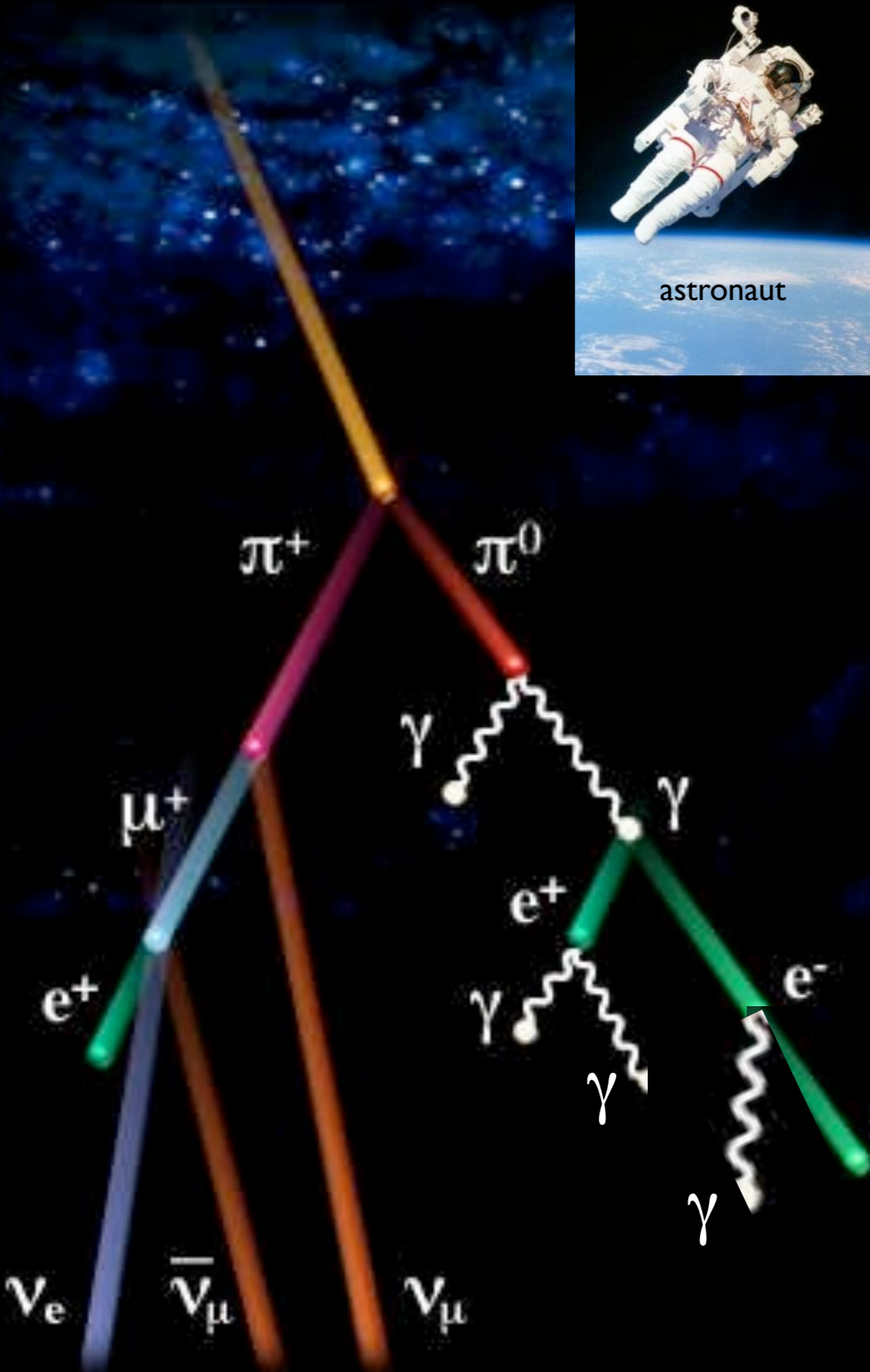
β -rays should not be stopped with lead.

protons or α -ray

Bremsstrahlung is negligible compared with stopping power by electron collision, unless the energy is more than the order of a GeV.



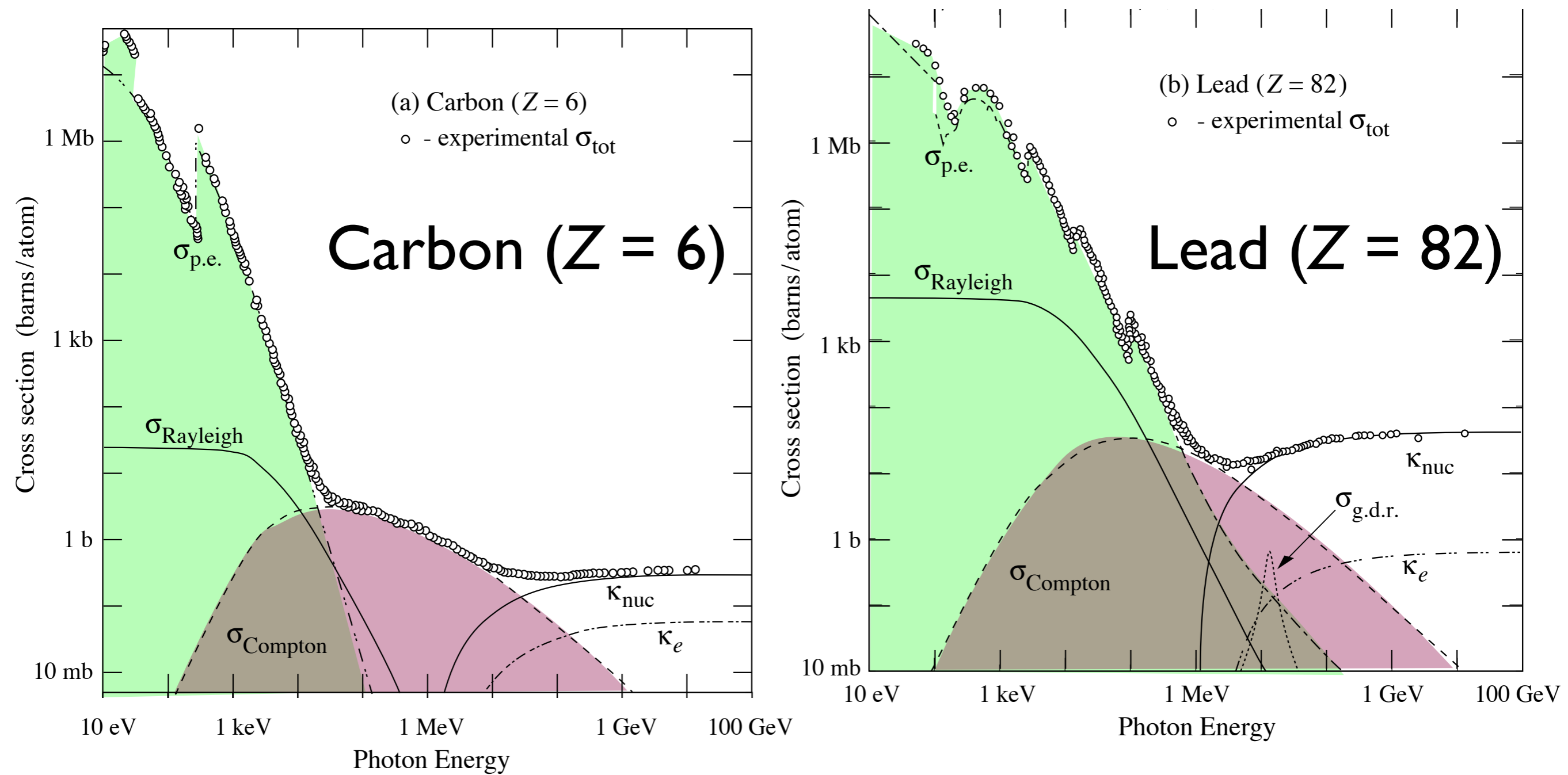
astronaut



cosmic ray

electromagnetic shower

Material dependence of photon cross sections



photoelectric effect $\propto Z^{4\sim 5}$

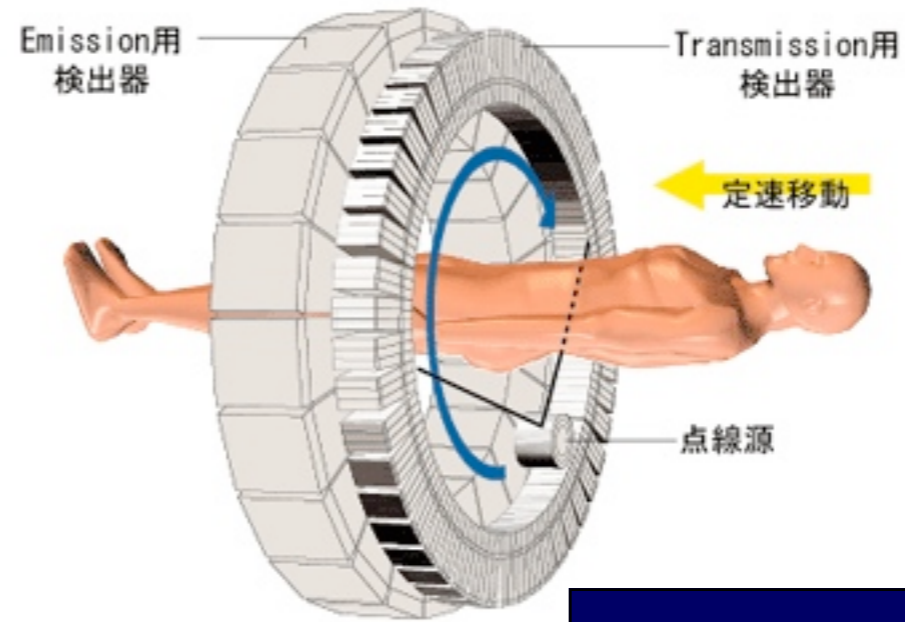
Compton scattering $\propto Z$

bremsstrahlung $\propto Z^2$

胸部単純X線撮影

胸部正面像

- ・立位
- ・吸気呼吸停止
- ・管電圧120kVp程度
- ・撮影時間～50ミリ秒
- ・X線投影：背→腹

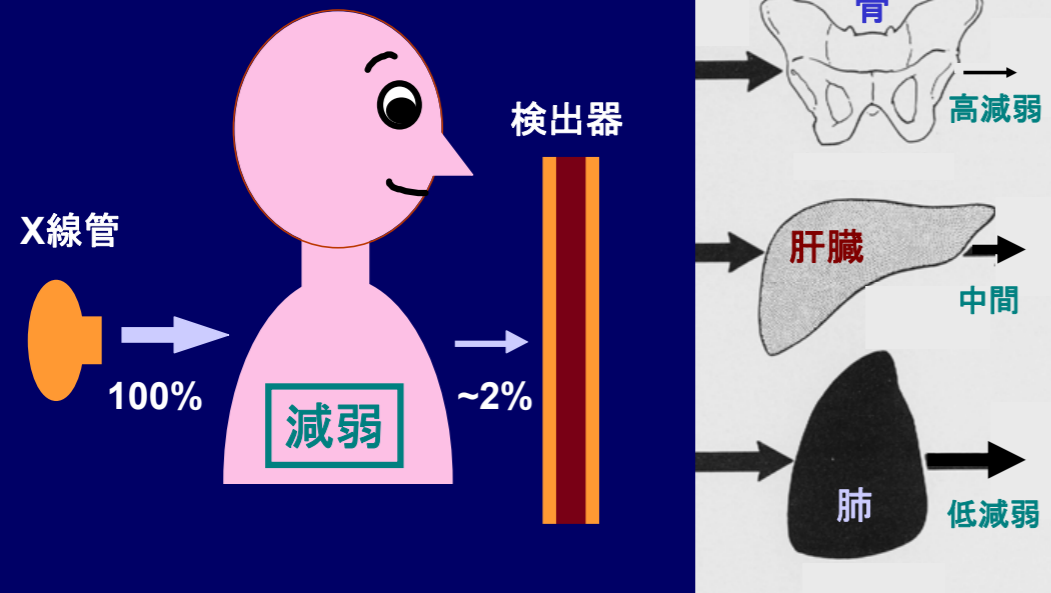
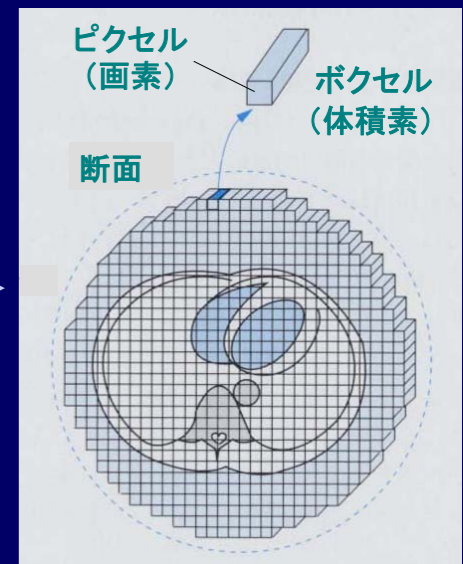
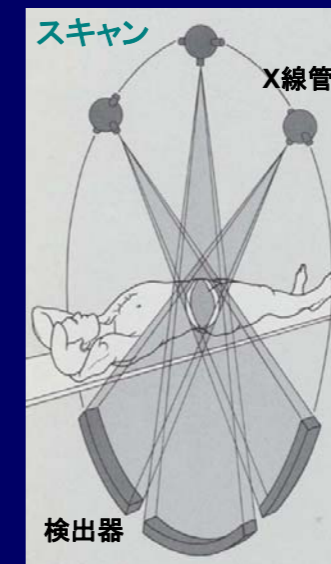


X-ray CT

Röntgen radiography

国立循環器病センター 内藤博昭先生のスライドより借用

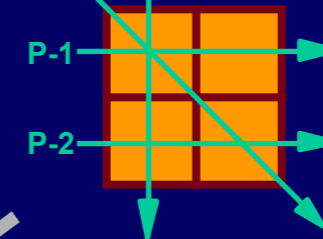
X線コンピュータ断層撮影法：CT



未知の線減弱係数

| | |
|---------|---------|
| μ_1 | μ_2 |
| μ_3 | μ_4 |

X線投影



連立方程式

- P-1; $\mu_1 + \mu_2 = 8$
- P-2; $\mu_3 + \mu_4 = 9$
- P-3; $\mu_1 + \mu_3 = 6$
- P-4; $\mu_1 + \mu_4 = 5$

解答

| | |
|---|---|
| 1 | 7 |
| 5 | 4 |

X線検査用造影剤

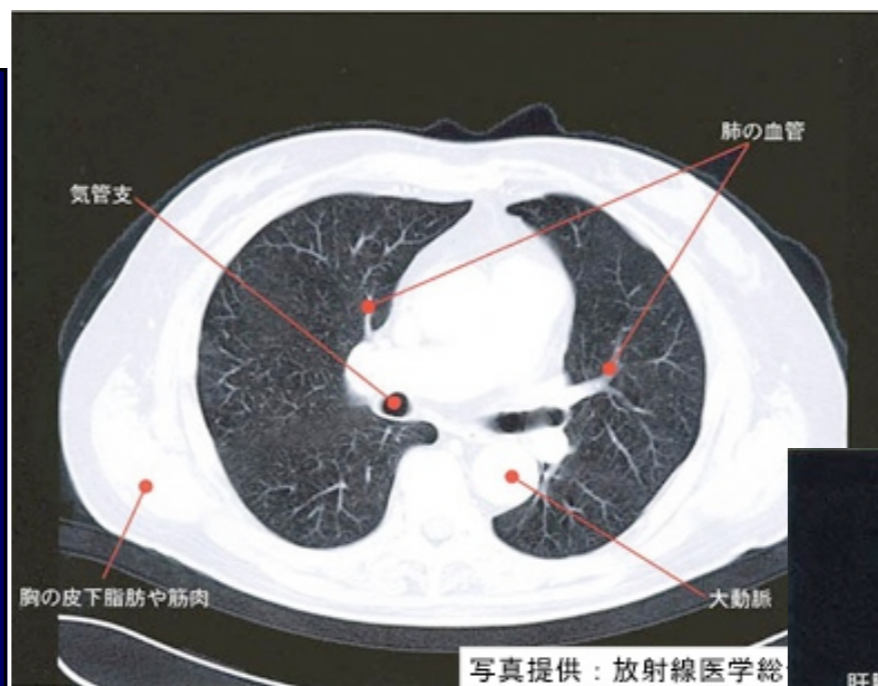
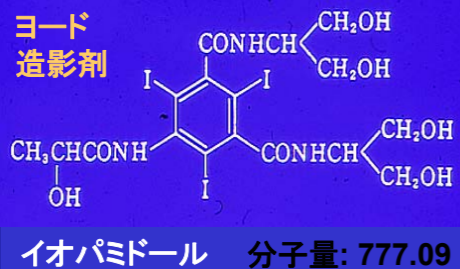
* 陽性造影剤

- ・ヨード造影剤: 血管造影用
- ・硫酸バリウム: 消化管造影用
- ・キセノンガス(脳血流CT)

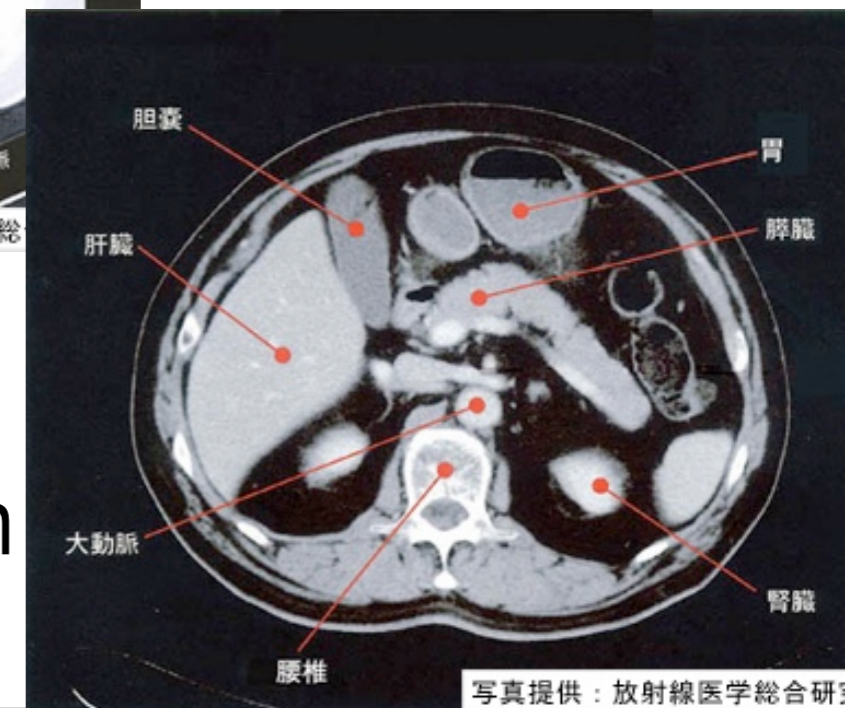
| 元素 | 原子番号 | K吸収端 |
|----|------|-----------|
| I | 53 | 33.16 keV |
| Ba | 56 | 37.41 keV |
| Xe | 54 | 34.56 keV |

* 陰性造影剤

- ・気体: 空気, 酸素, 炭酸ガス...
- ・オリーブ油(膀胱CT)



写真提供: 放射線医学総研

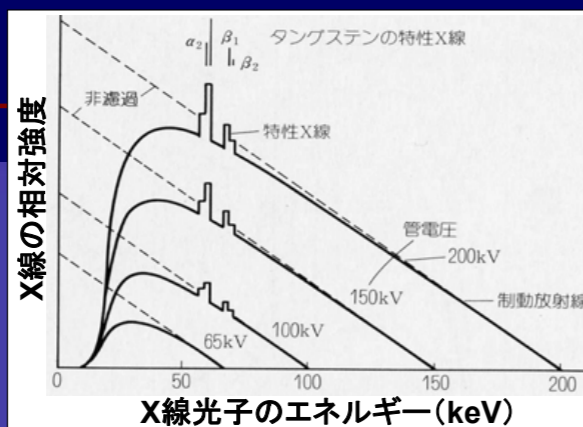
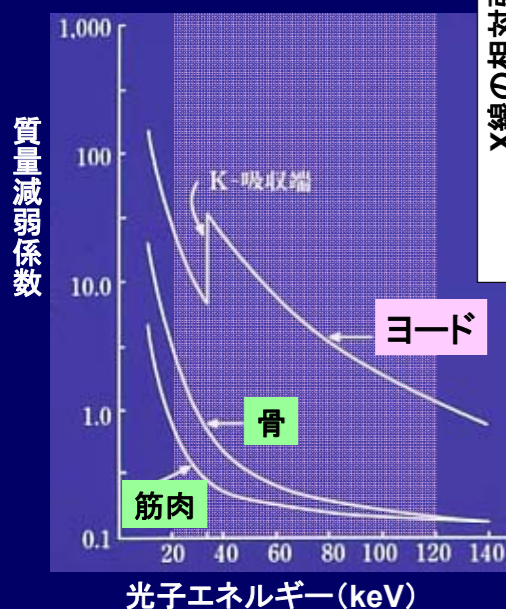


写真提供: 放射線医学総合研究所

contrast media (I, Ba, Xe) : large Z = large attenuation
 造影剤 (radiopaque substances) 減衰(減弱)係数大

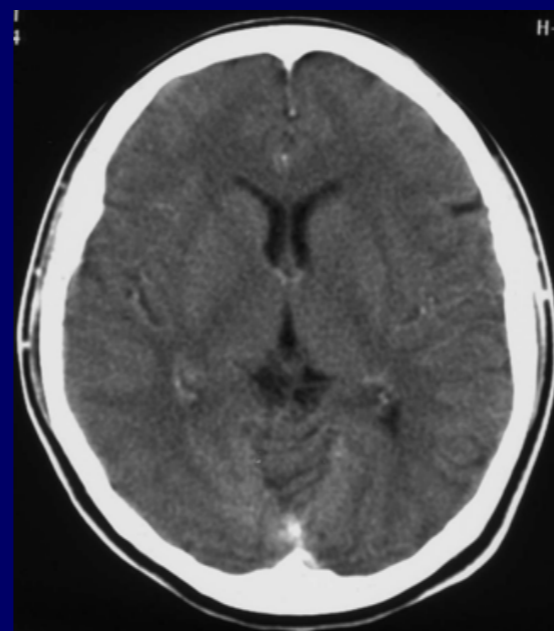
国立循環器病センター 内藤博昭先生のスライドより借用

X線の発生と減弱

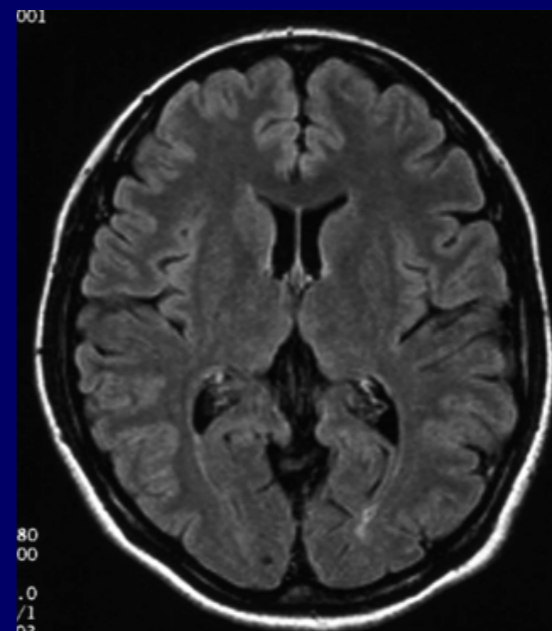


- * 光電効果: 光電吸収
- ・元素のK吸収端 (keV):
H 0.0136, C 0.283, O 0.531
- * コンプトン散乱: 非弾性散乱

X線コンピュータ断層撮影法
 X-Ray CT:
 Computed Tomography



磁気共鳴画像診断法
 MRI: Magnetic
 Resonance Imaging



Attenuation and absorption of photons (γ -ray) in material.

Exponential decrease of photon number

Photoelectric effect, Compton scattering &c. are stochastic processes.

$$\frac{d\dot{\Phi}(x)}{dx} = -\mu \dot{\Phi}(x)$$

$$\dot{\Phi}(x) = \dot{\Phi}(0) e^{-\mu x}$$

$$\dot{\Phi}(L) = \dot{\Phi}(0) / 2$$

$$L = \ln 2 / \mu$$

$\ln x$: natural logarithm.
 $\equiv \log_e x$

$\dot{\Phi}$: particle fluence rate

for γ ($h\nu = 0.66$ MeV) from ^{137}Cs

x : distance, L : half-value thickness

$$L^{\text{air}} = 69.2 \text{ m}$$

μ : linear attenuation coefficient

$$\mu^{\text{air}} = 0.0100 \text{ m}^{-1}$$

μ/ρ : mass attenuation coefficient

$$(\mu/\rho)^{\text{air}} = 0.077 \text{ (g/cm}^2\text{)}^{-1}$$

μ_{en}/ρ : mass energy-absorption coefficient

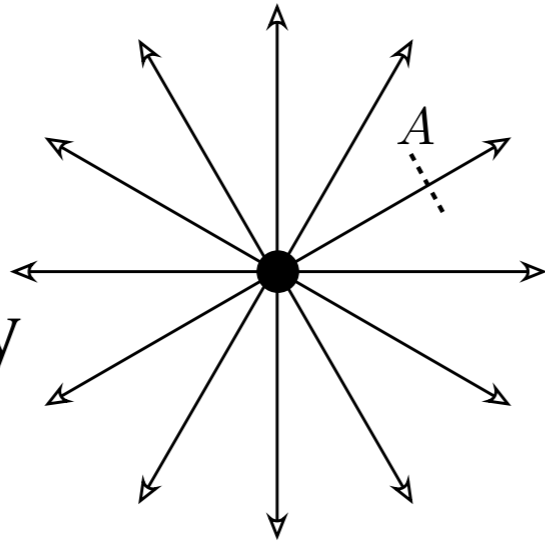
$$\mu_{\text{en}}/\rho < \mu/\rho$$

$$(\mu_{\text{en}}/\rho)^{\text{water}} = 0.033 \text{ (g/cm}^2\text{)}^{-1}$$

\dot{H} : equivalent dose rate (= absorption dose rate for γ -ray)

$$\dot{H} = h\nu (\mu_{\text{en}}/\rho) \dot{\Phi}, \quad h\nu (\mu_{\text{en}}/\rho)^{\text{water}} = 3.5 \times 10^{-16} \text{ Sv m}^2$$

P : radioactivity [Bq]



\dot{H} : equivalent dose rate [Sv/s]

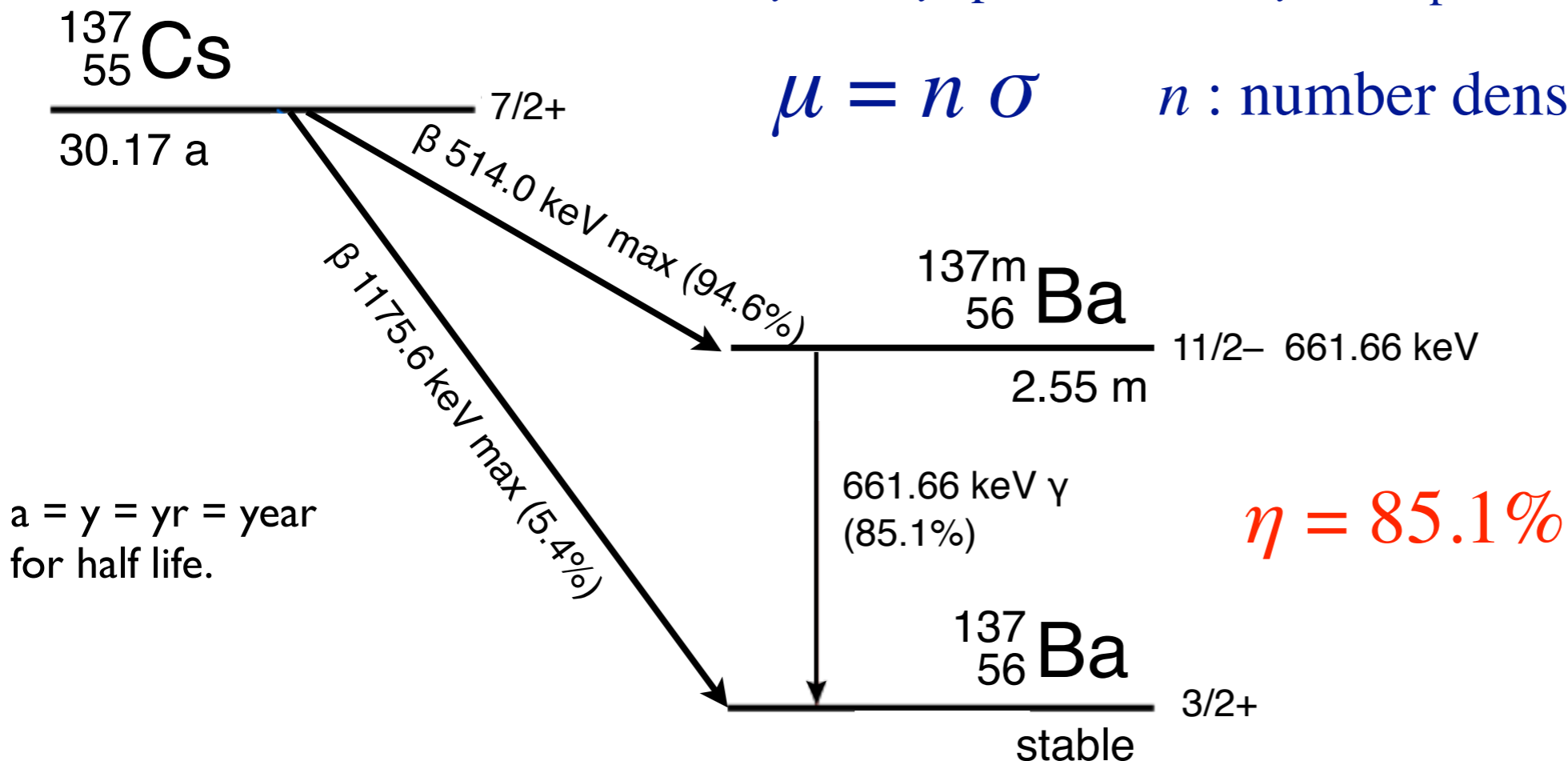
$$\dot{H} = h\nu (\mu_{\text{en}}/\rho) \dot{\Phi}$$

$$\dot{\Phi} = \frac{e^{-\mu_{\text{air}} r} \eta P}{4\pi r^2}$$

μ : linear attenuation coefficient

$$\mu = \mu_{\text{photoelec.}} + \mu_{\text{Compton}} + \mu_{\text{pair prod.}} + \dots$$

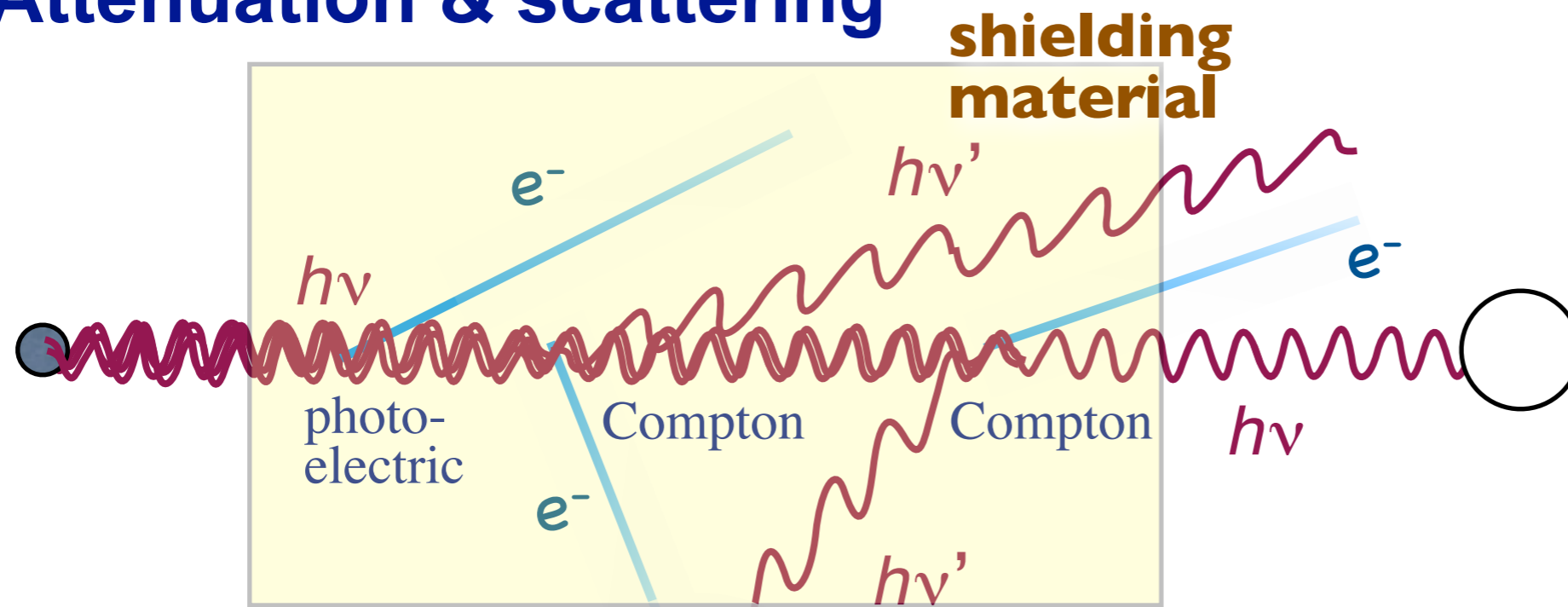
$$\mu = n \sigma \quad n : \text{number density} \quad \sigma : \text{cross section}$$



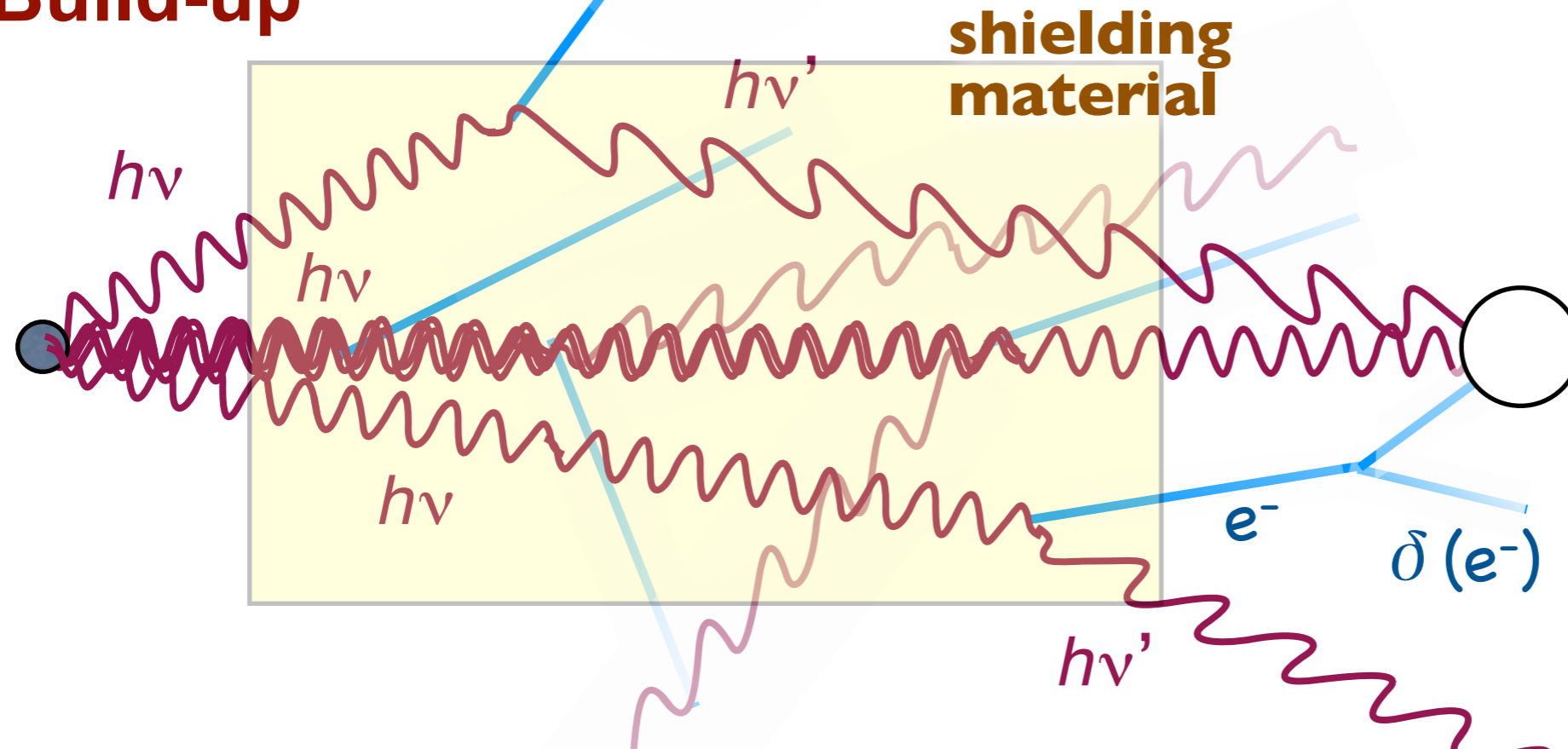
a = y = yr = year for half life.

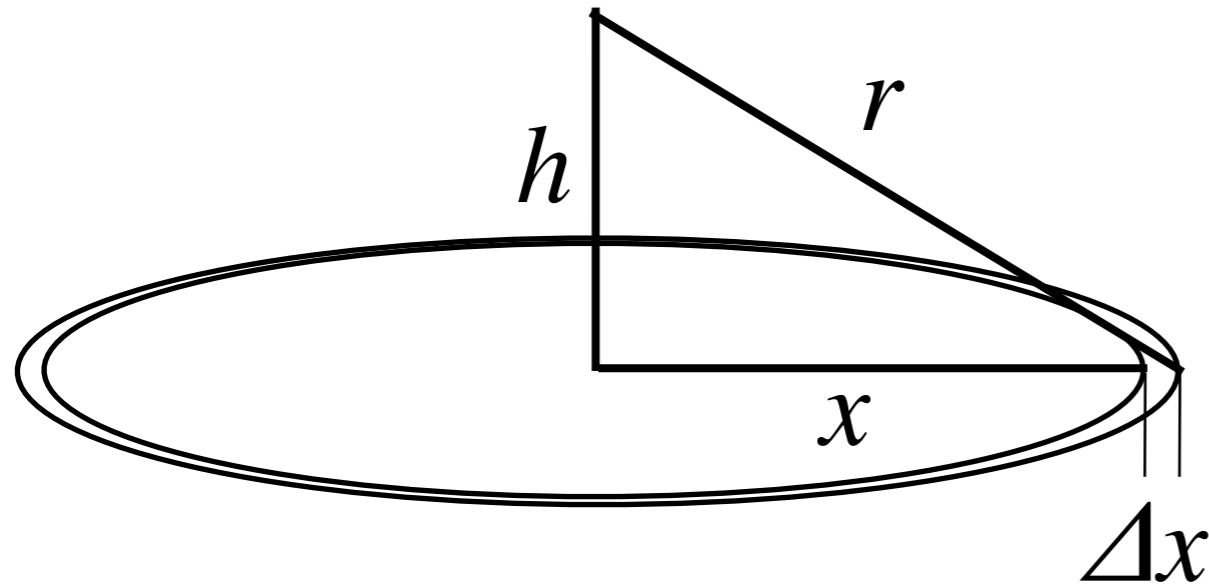
$\eta = 85.1\%$

Attenuation & scattering



Build-up





p : surface density of radioactivity
[Bq/m²]

$$\dot{\Phi} = \int_0^{\infty} \frac{e^{-\mu^{\text{air}} r} \eta p}{4\pi r^2} 2\pi x \, dx$$

$$= \frac{\eta p}{2} \int_h^{\infty} \frac{e^{-\mu^{\text{air}} r}}{r} \, dr \quad \eta = 0.851$$

$$\dot{\Phi} \approx \frac{\eta p}{2} \int_0^{L^{\text{air}}} \frac{x}{x^2 + h^2} \, dx$$

\dot{H} : equivalent dose rate [Sv/s] $\dot{H}/\dot{\Phi} = h\nu (\mu_{\text{en}}/\rho) = 3.5 \times 10^{-16} \text{ Sv m}^2$

$$\int_0^{L^{\text{air}}} \frac{x}{x^2 + h^2} \, dx = \frac{1}{2} \ln(x^2 + h^2) \Big|_{x=0}^{L^{\text{air}}} = \frac{1}{2} \ln \left[(L^{\text{air}}/h)^2 + 1 \right]$$

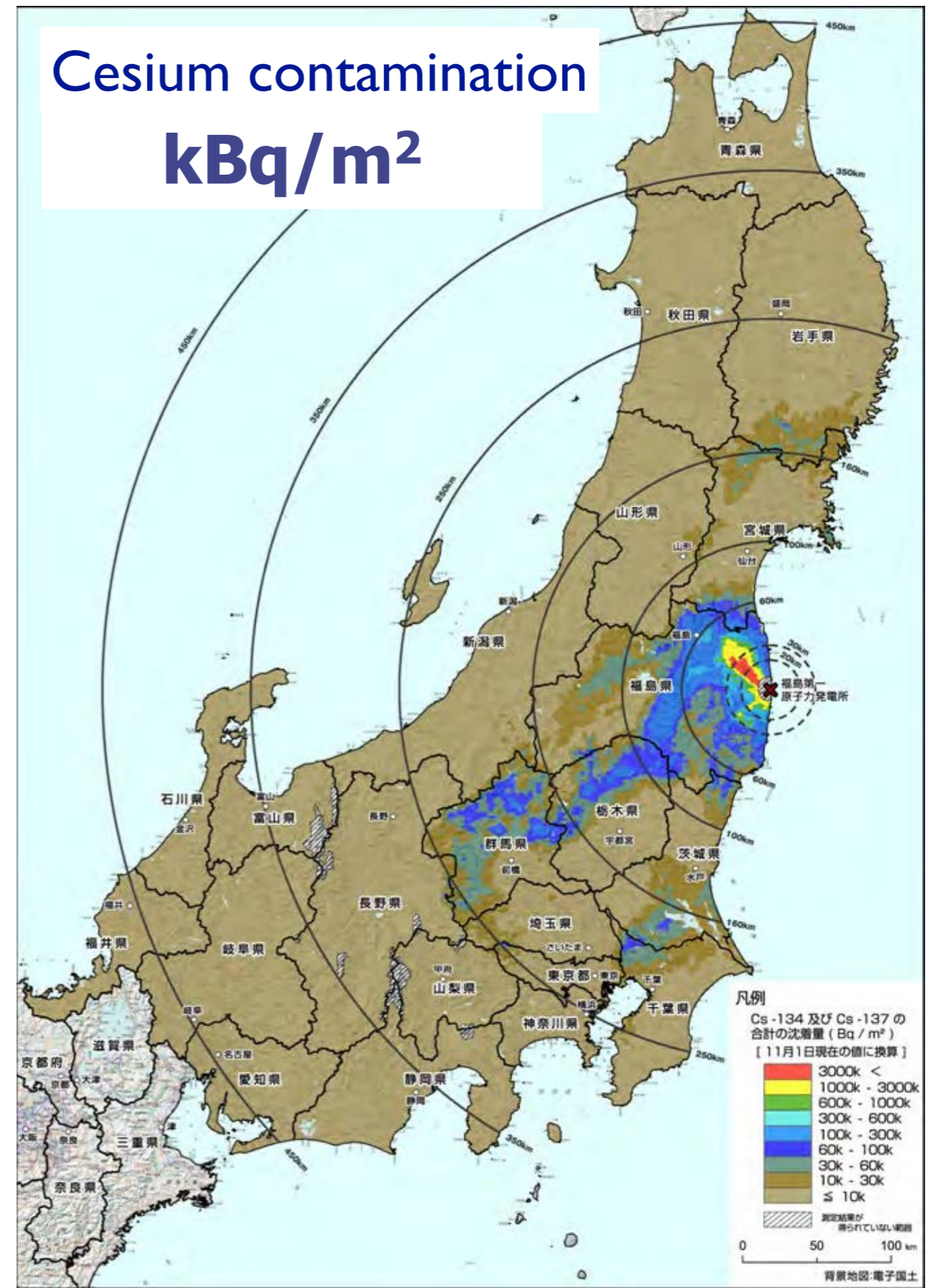
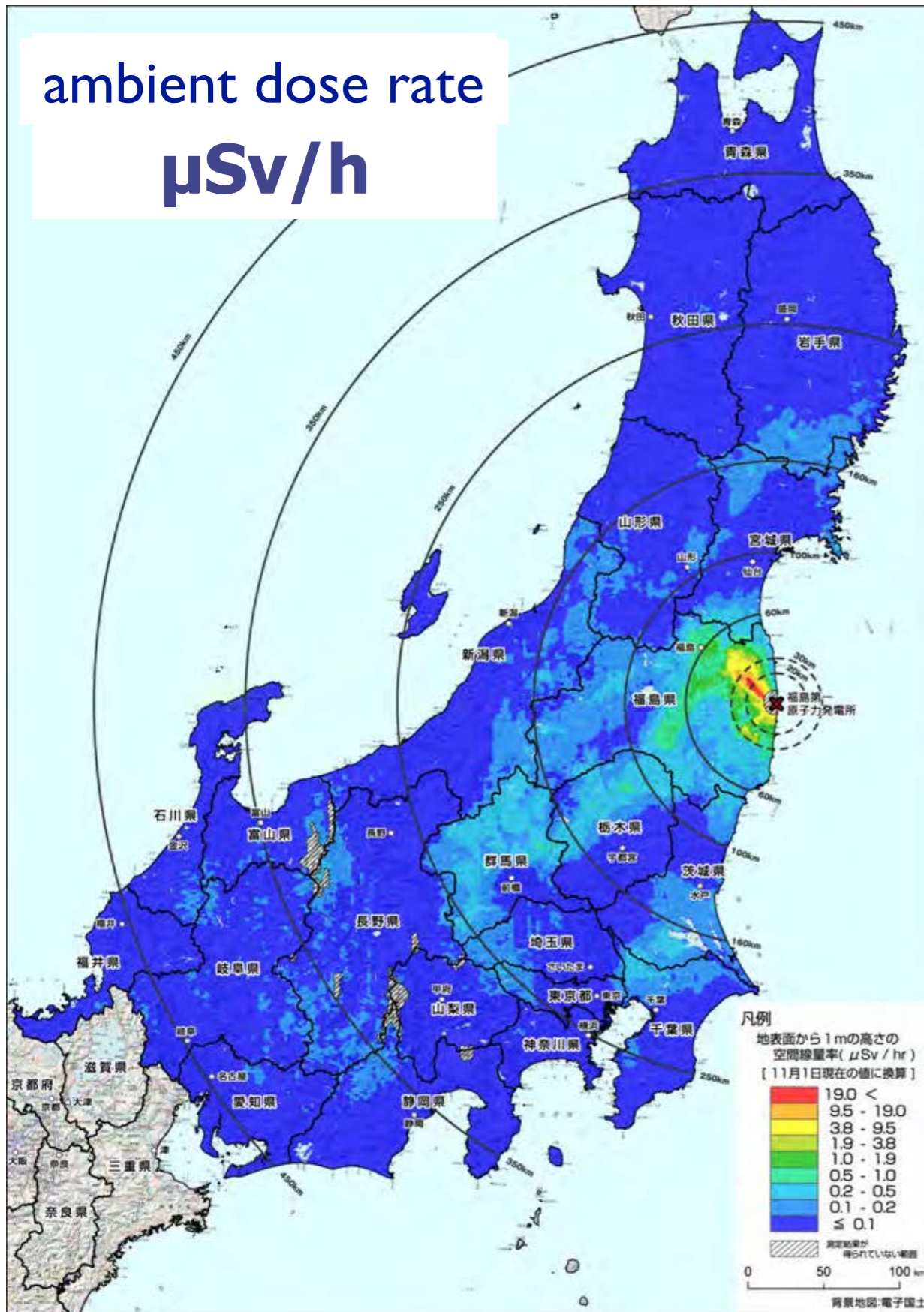
$$L^{\text{air}} = 69.2 \text{ m} \quad h = 1 \text{ m}$$

+ Build-up effect due to Compton scattering (ca. + 50%)

¹³⁷Cs : 2.1 (μSv/h) / (MBq/m²) calculation by IAEA

Problem with decontamination : half of the dose due to soil contamination of distance 10–100 m.

Radioactive contamination map : aerial monitoring by MEXT



http://radioactivity.mext.go.jp/ja/1910/2011/11/1910_1125_2.pdf

^{137}Cs : $2.1 (\mu\text{Sv/h}) / (\text{MBq/m}^2)$ calculation by IAEA

neutron reaction and activation

Elastic scattering of neutrons

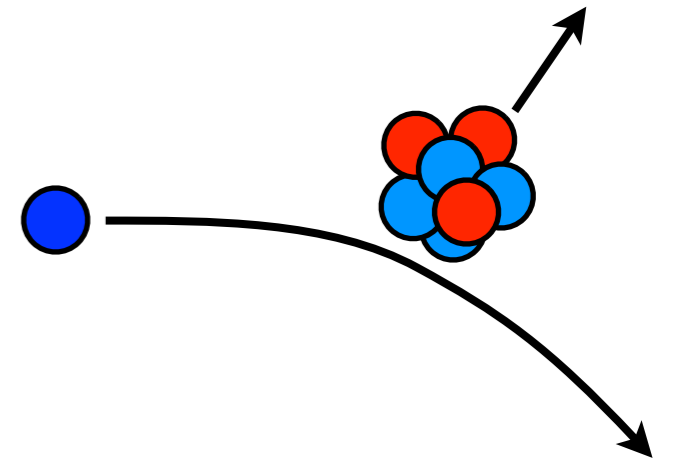
Fast neutrons slow down by repeated **collision with nuclei**.

Each collision decreases the energy exponentially.

Neutrons are most **effectively decelerated** by collision **with protons** having the same mass.

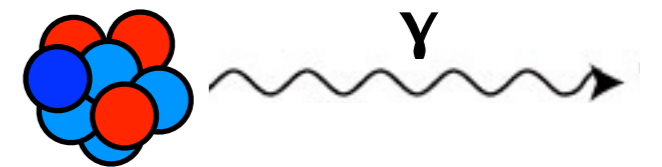
Neutrons are effectively shielded by water or concrete containing hydrogen atoms.

Scattered nuclei such as protons (**charged high-LET particles**) **ionize** atoms & molecules.



Absorption of neutron and nuclear reaction

After having formed a nucleus with a mass number larger by unity, the formed unstable nucleus often emits e.g. a γ -ray, leaving radioactive nuclide, thus resulting in **activation**.



Activation 放射化

For non-radioactive materials to **obtain radioactivity by irradiation of radiation**.

Radioactive nuclides can be created via nuclear reactions by **neutrons**, or by **γ -rays with energies over 10 MeV**.

β -rays or γ -rays from radioisotopes nor X-rays from atoms can cause activation.

Be careful with activation in radiation control areas such as accelerator facilities and nuclear reactors.

Radiation chemistry

放射線化学

Number of ionizations (electron-ion pairs) per unit length = **Specific ionization**

Stopping power / Specific ionization = W -value

W -value : Average energy required to produce 1 ion pair.

Does not depend on species or energy of charged particles.

Value larger than the ionization energy (due to loss by excitation).

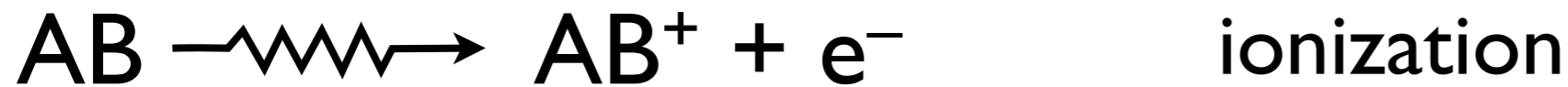
$W \sim 30$ eV not depending on the material.

G -value : radiation chemical yield :

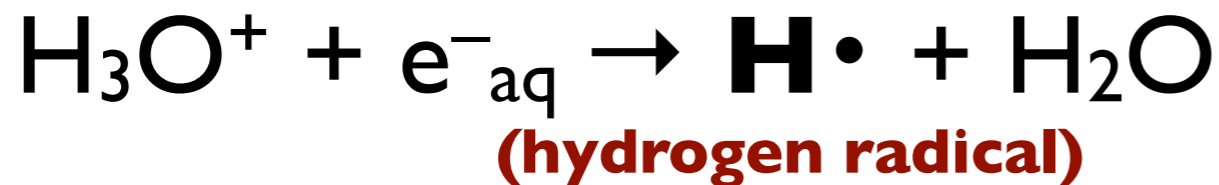
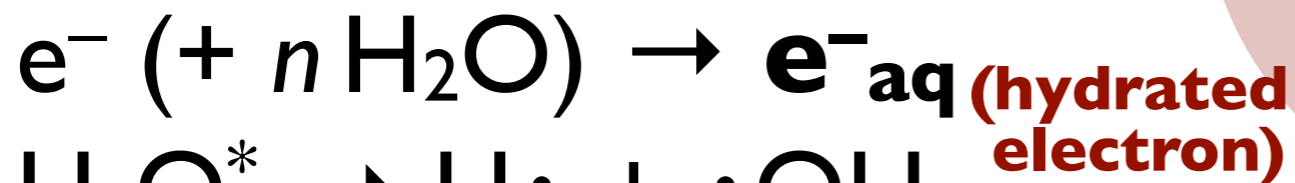
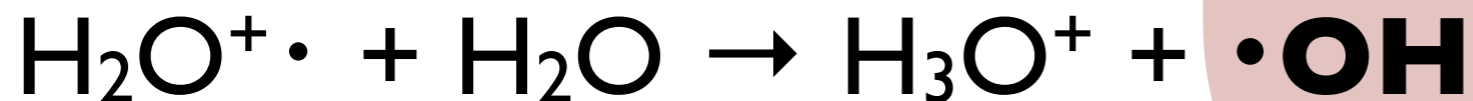
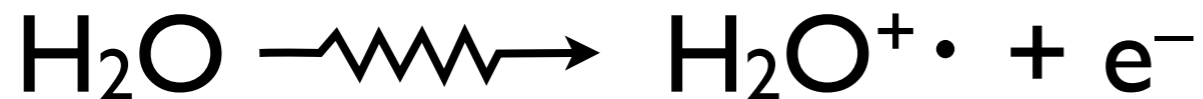
The G value refers to the number of molecules of reactant consumed or product formed per 100 eV of energy absorbed.

Normally the number is up to 10, but it can sometimes be huge in the case of a chain reaction.

Elementary reactions induced by radiation (selected)



Reactions in water



oxygen effect



(hydroperoxyl radical)



(superoxide anion)

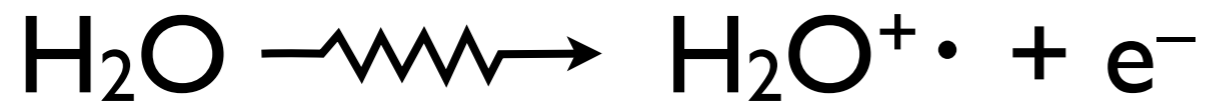


(hydrogen peroxide)

(active oxygen)

Reactions in water

radiation chemical yield
(G-value) by γ -ray.



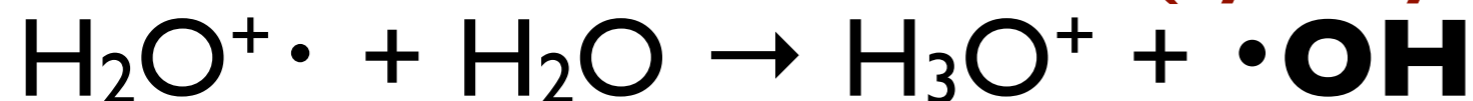
ionization



excitation

$$G(\cdot\text{OH}) = 2.7$$

(hydroxyl radical)



ion-molecule reaction

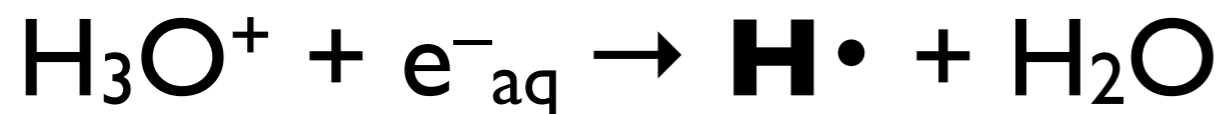


production of
hydrated electron

$$G(\text{e}^-_{\text{aq}}) = 2.65$$



dissociation
(production of radicals)



electron capture

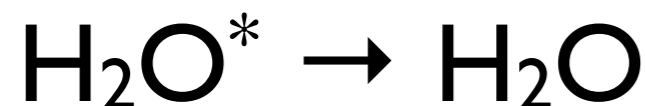
(hydrogen radical) $G(\text{H}\cdot) = 0.55$



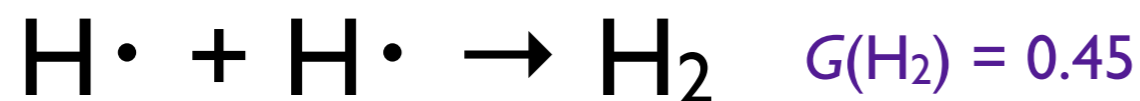
recombination



electron capture



deexcitation



production of molecule



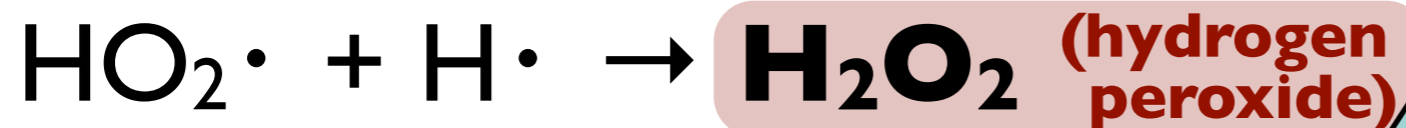
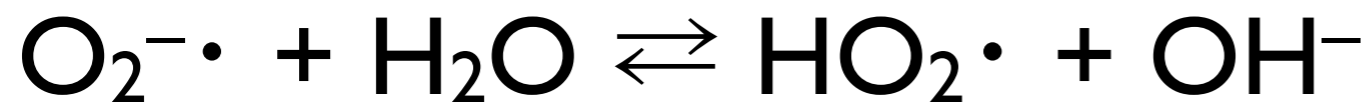
production of molecule



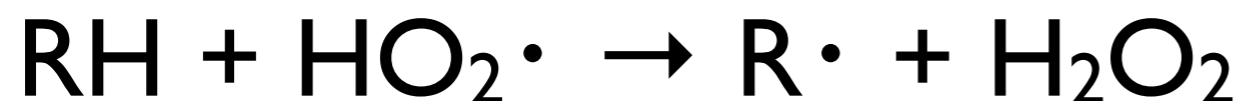
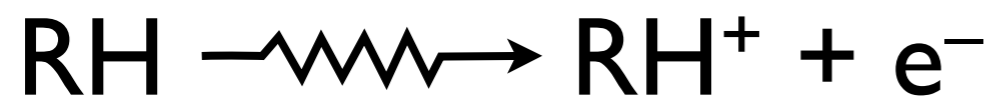
production of molecule

oxygen effect

(active oxygen)



radiation chemical reactions of organic compounds

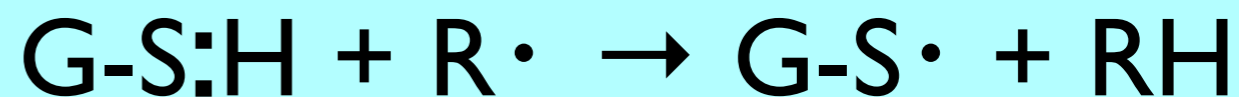
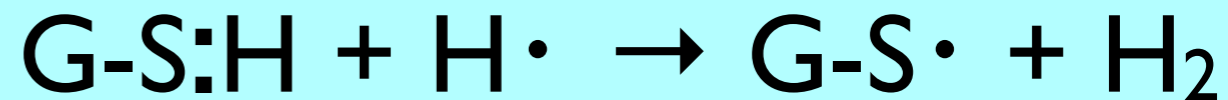


radioprotector
(radical scavenger)

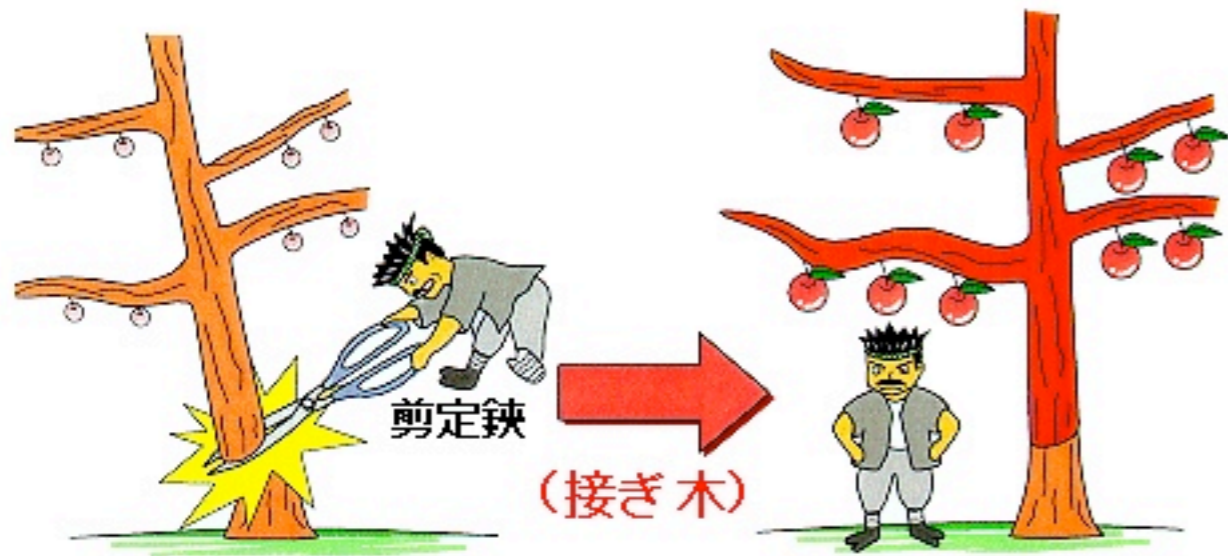
SH group, S-S bond

e.g. cysteine, cysteamine

(glutathione)

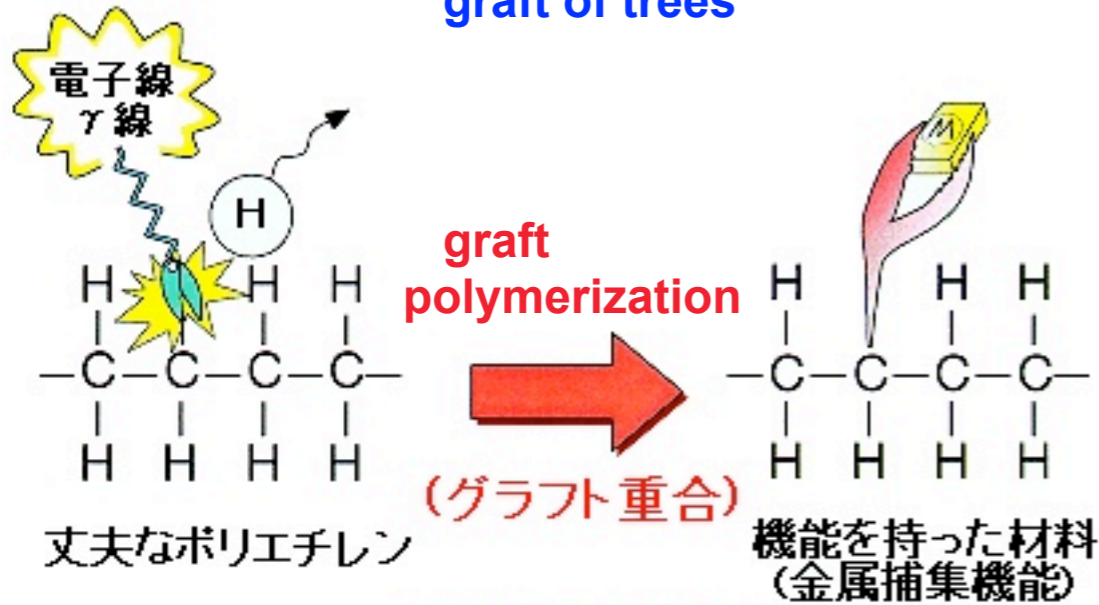


Graft polymerization by irradiation of e⁻ beam or γ-ray.



植木屋さんの接ぎ木(グラフト)

graft of trees



化学の接ぎ木 chemical graft

図1 接ぎ木の技術とグラフト重合

A braid adsorbent having the functional group of amidoxime is a promising material for the recovery of uranium.

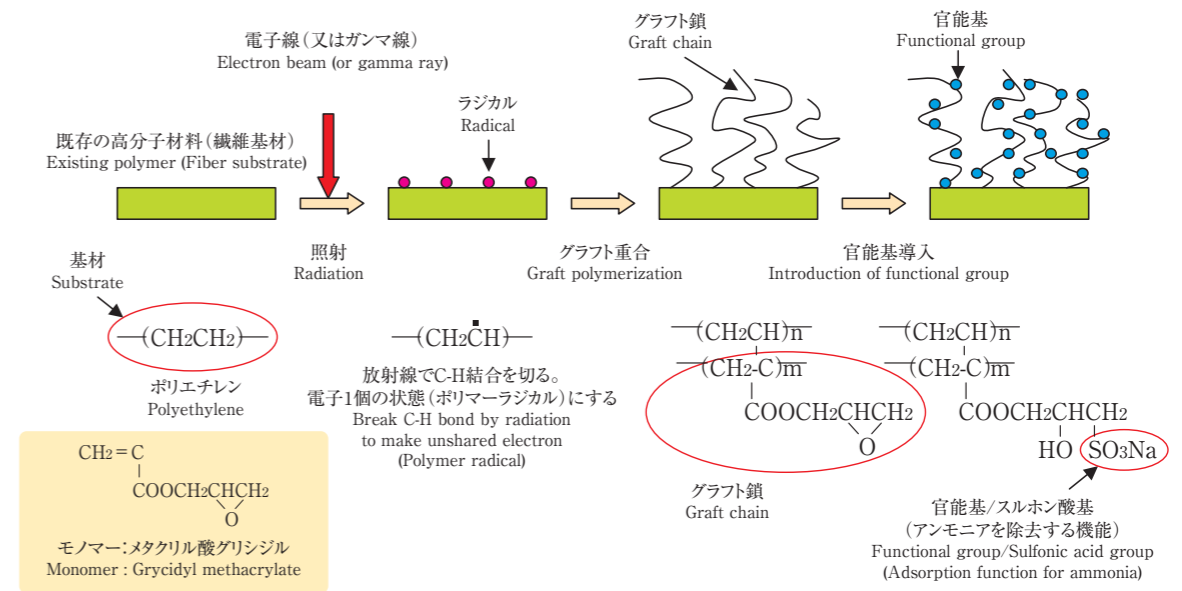


図1 放射線グラフト重合法によるイオン交換体の合成方法
Fig. 1 Reaction scheme of ion exchange material by radiation induced graft polymerization

エバラ時報 No. 216 (2007-7) 藤原邦夫氏論文より引用

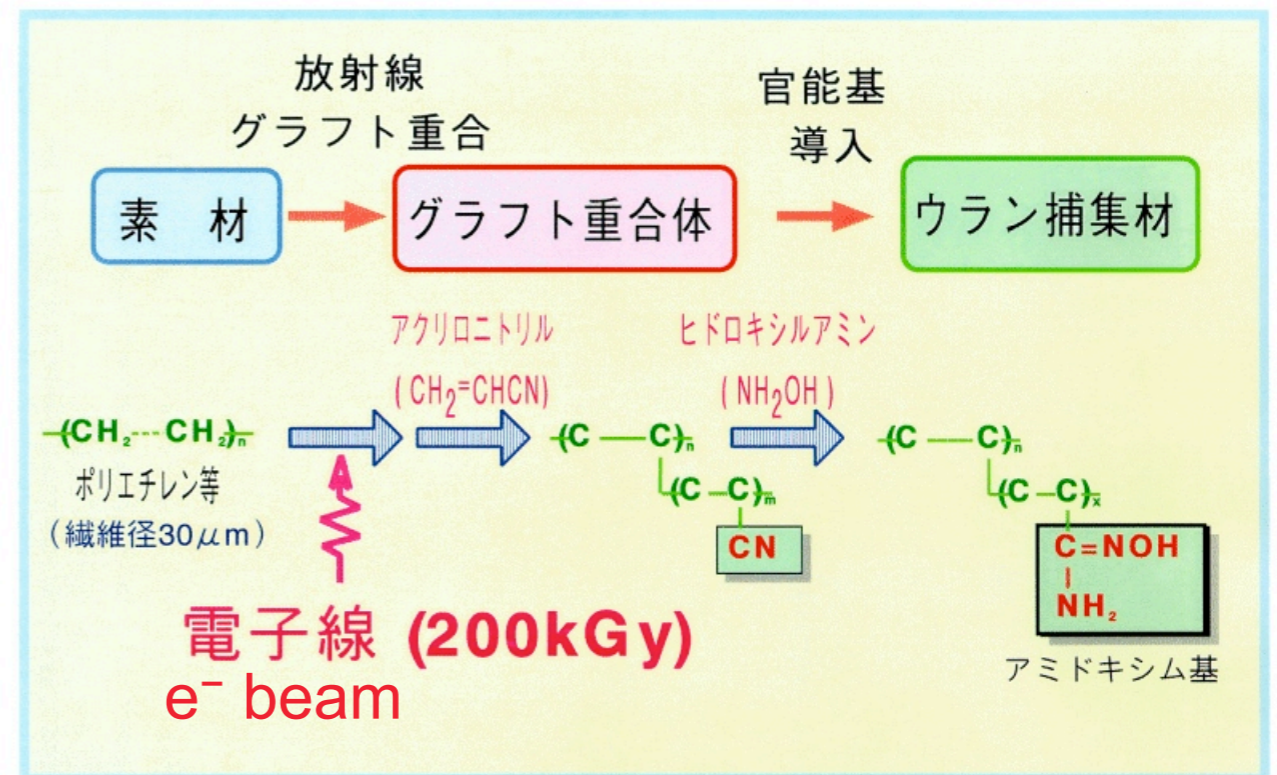
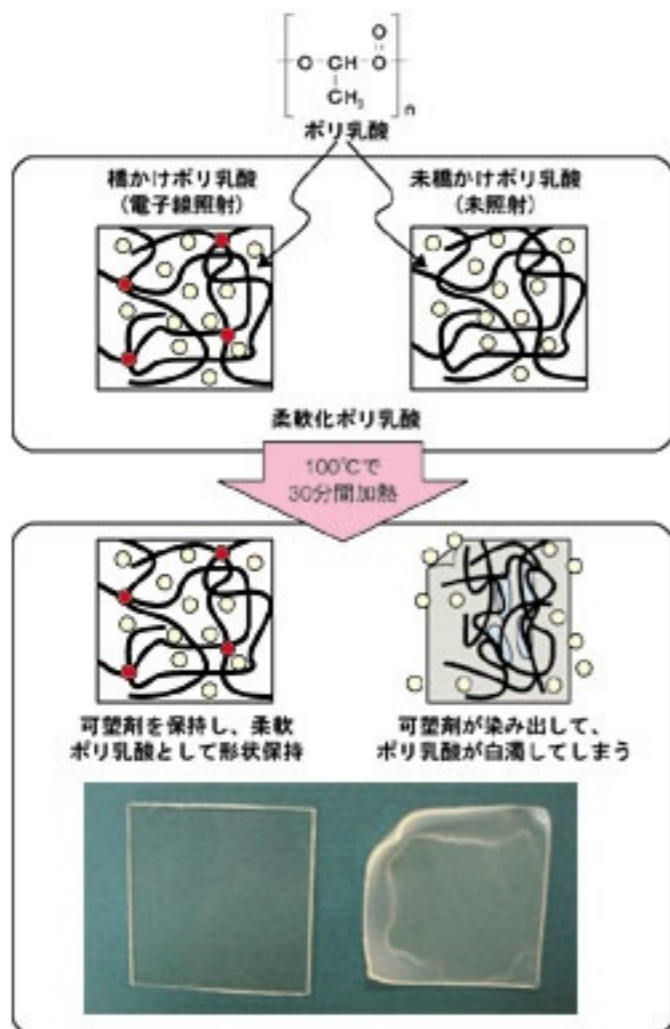


図2 放射線グラフト重合によるウラン捕集材の合成法

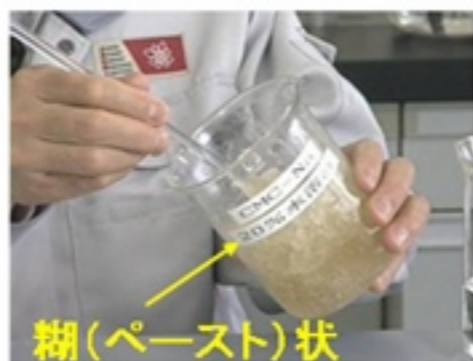
[出典]片貝 秋雄、瀬古 典明、川上 尚志、斉藤 恭一、須郷 高信、原子力学会誌 40(11)、879(1998)
Synthesis of uranium-adsorbent by means of graft polymerization by irradiation of radiation.

Radiation-induced cross-linking reaction

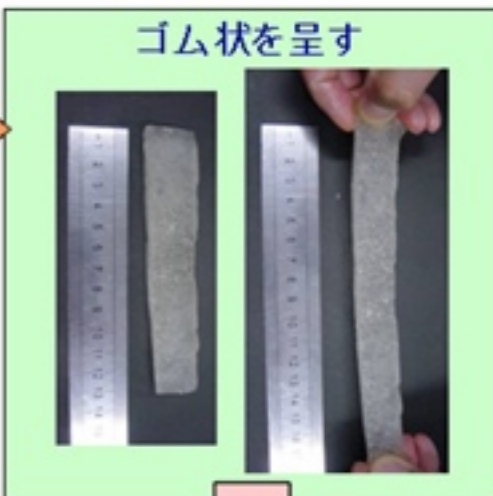
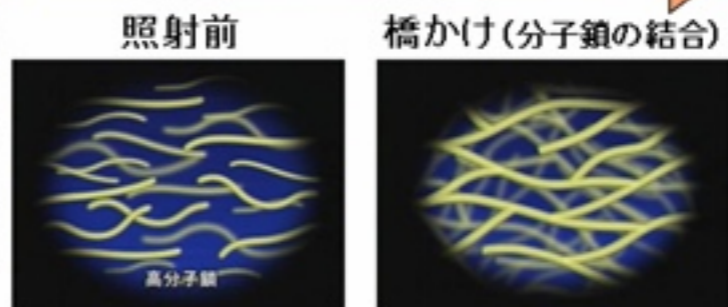
セルロースゲルの製法と性質 production and properties of cellulose gel



▲放射線橋かけ軟質ポリ乳酸の耐熱性



電子線、γ線照射 (e⁻/γ)



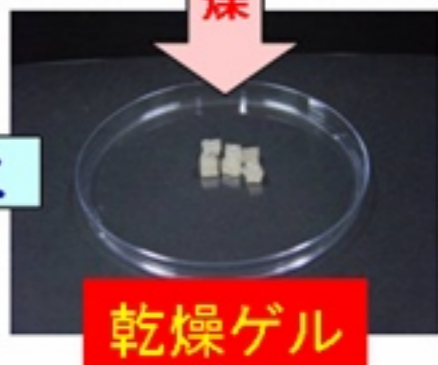
乾燥

ゲルの特長

- 資源循環型
 - ・ 天然由来の材料
 - ・ 土壤中で分解
- 乾燥ゲル1gの吸水量(g)
 - ・ 純水 : 360
 - ・ 人工尿 : 94
 - ・ 模擬牛糞尿 : 79



吸水



模擬牛糞尿 (1%KCl+1.5%Na₂HPO₄)

7日間形状保持

カルボキシメチルセルロース (CMC) の特徴



- CMCは天然セルロースを原料として得られる水溶性高分子です。
- CMSは人体に無害で、緩やかな生分解性を有す、環境にやさしい素材です。
- CMCは食品、医薬品、化粧品から、繊維産業、窯業、建設業などの分野まで幅広く利用されています。

Application in industry

○ラジアルタイヤ、耐熱電線 radial tires

ラジアルタイヤは、有機繊維で補強されたゴムで高圧に耐えられる構造になっています。成形器で熱と圧力を加えてタイヤの形にしますが、この時、繊維補強ゴムは大きな変形を受け、補強繊維のずれやはみ出しがおきやすくなります。これを防ぐため、繊維補強ゴムに電子線を照射して強度を上げます。(市場規模:平成15年度1兆円)

また、電線の被覆に使われているゴムやプラスチックはそのまま熱を加えると溶けて流れ落ちます。電子線を照射すると熱を加えても溶けにくくなります。

heat-resistant electric wires

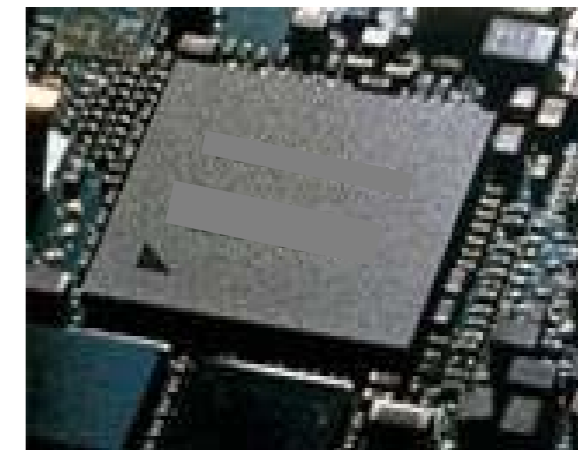


ラジアルタイヤ、耐熱電線

○半導体 semiconductors

IC(集積回路)の回路のパターンの線は髪の毛の太さの50~100分の1であり、その細工をするためにリソグラフィといった技術が使われる。リソグラフィは版画の技術のようなもので、半導体表面に光や放射線を当てると化学変化する感光剤を塗り、加工したい形状に切り抜いた板(マスク)をのせて放射線を当てて、マスクの型どおりに加工するもの。イオンビームや中性子ビームを利用した不純物導入等も行っています。

(市場規模:平成15年度6.3兆円)

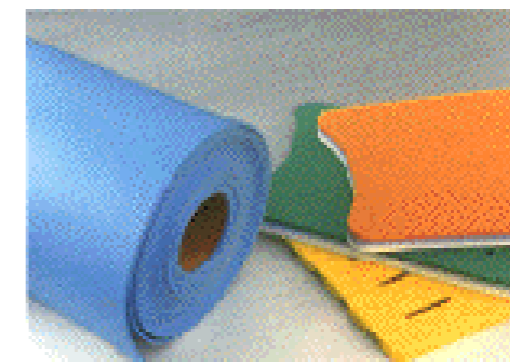


半導体

○発泡材料(緩衝材料、断熱材料)

お風呂場で使うバスマット、あるいはプールで使うビート板に使用されている発泡ポリエチレンをご存じですか。あの防水性、浮力が高く、ほどよく硬い素材は、ポリエチレンに放射線を照射し、加熱することで内部に細かい気泡をつくりだしたもので、これもいまから20年以上も前に開発された素材です。

foamed materials



発泡ポリエチレン

Lecture slides

<http://radphys4.c.u-tokyo.ac.jp/~torii/lecture/>

東大 鳥居 放射線 講義



検索

Contact address

torii-radio@radphys4.c.u-tokyo.ac.jp

担当教員：鳥居 寛之

Lecturer : Hiroyuki A. TORII

Fine. Per oggi è tutto.

Finì pour aujourd'hui

That's all for today.

Всё за сегодня.

오늘은 이만 마치겠습니다.

今天就学到这儿了。

Ci vediamo la prossima settimana.

On se voit la semaine prochaine.

See you next week.

Увидимся на следующей неделе.

다음 주에 또 만납시다.

下周见。